

ACTUALIZACION Y MEJORA DEL ARCHIVO DE  
ROCAS INDUSTRIALES GALICIA

TOMO II DOCUMENTACION COMPLEMENTARIA



GEOTEHIC, S.A.  
INGENIEROS CONSULTORES

10.615

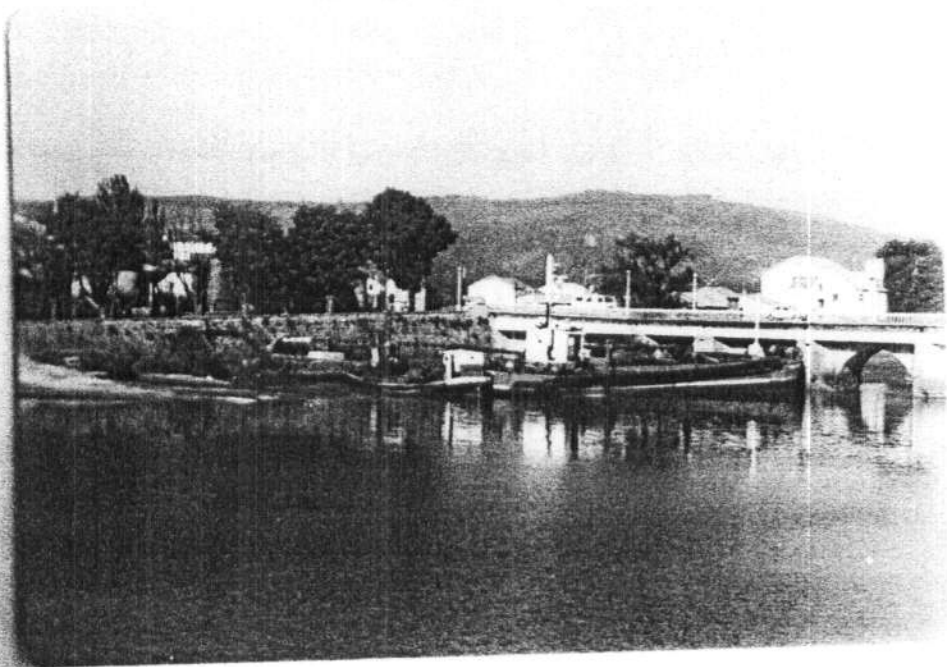
**6**

DOCUMENTACION FOTOGRAFICA

10615

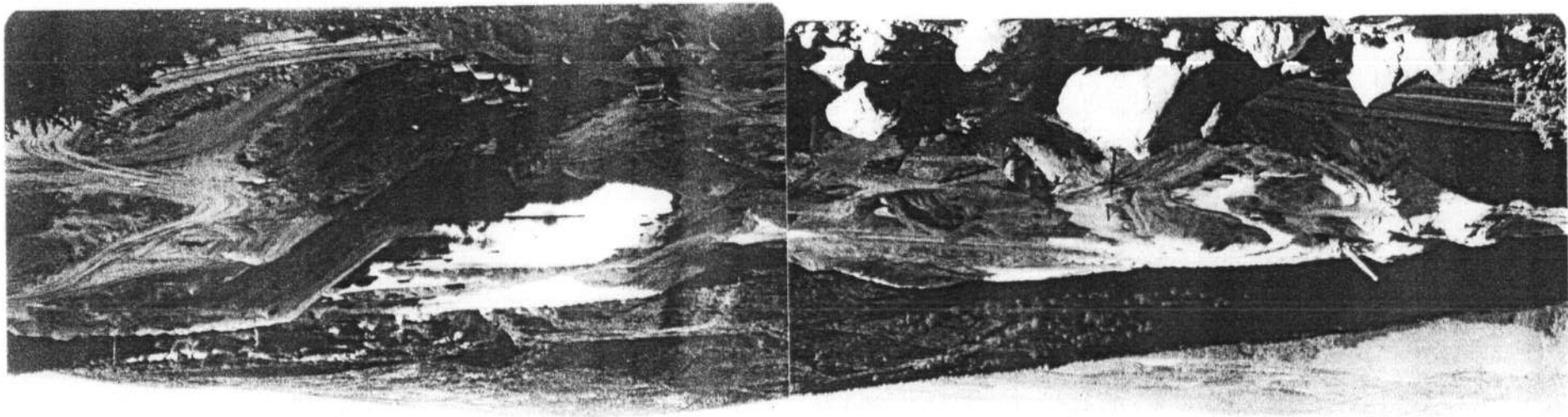


Explotación de áridos naturales del río Ulla en la margen izquierda. Pontevedra (Pontevedra). Estación 1-2/AH-302.



Explotación de áridos naturales del río Ulla en la margen derecha. Pontevedra (La Coruña). Estación 1-2/AH-311.

Panorámicas de las esculturas de braxos en las Montañas de Moisés. Se ve en el fondo el valle de Orán. Escultura 12. AH.334

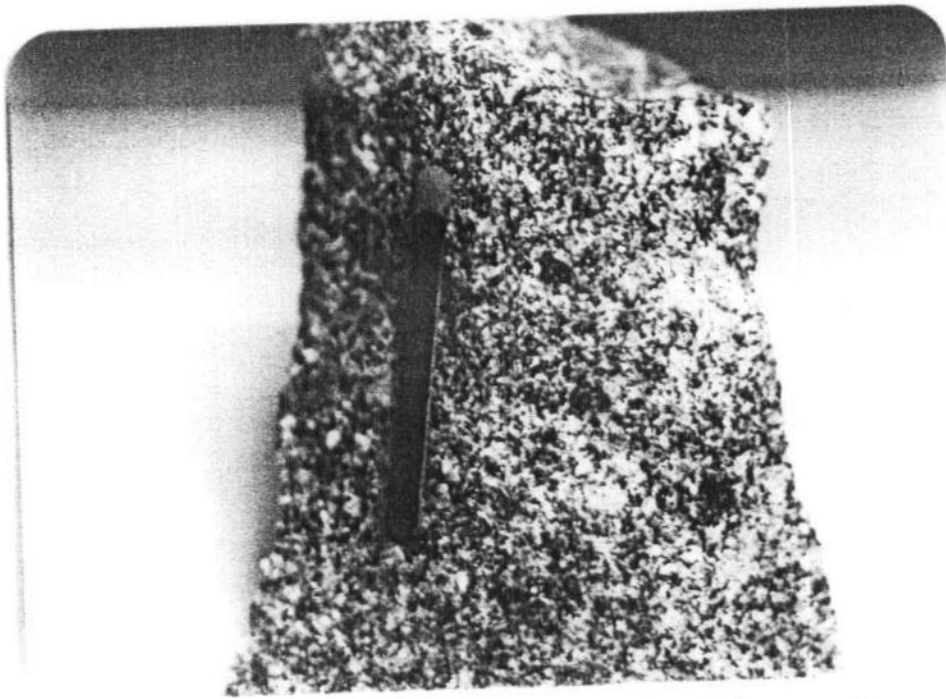




Vista panorámica de una explotación abandonada de caolín en Santa Comba.  
Estación 1-2 AH-69



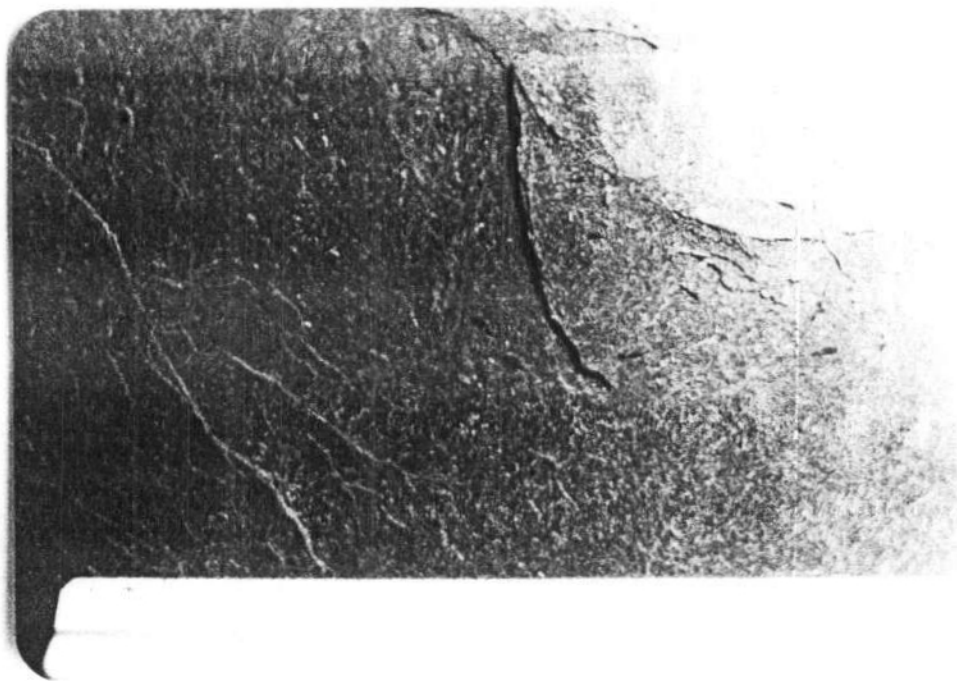
Cantera en actividad de caolín en Santa Comba. Estación 1-2 AH-318.



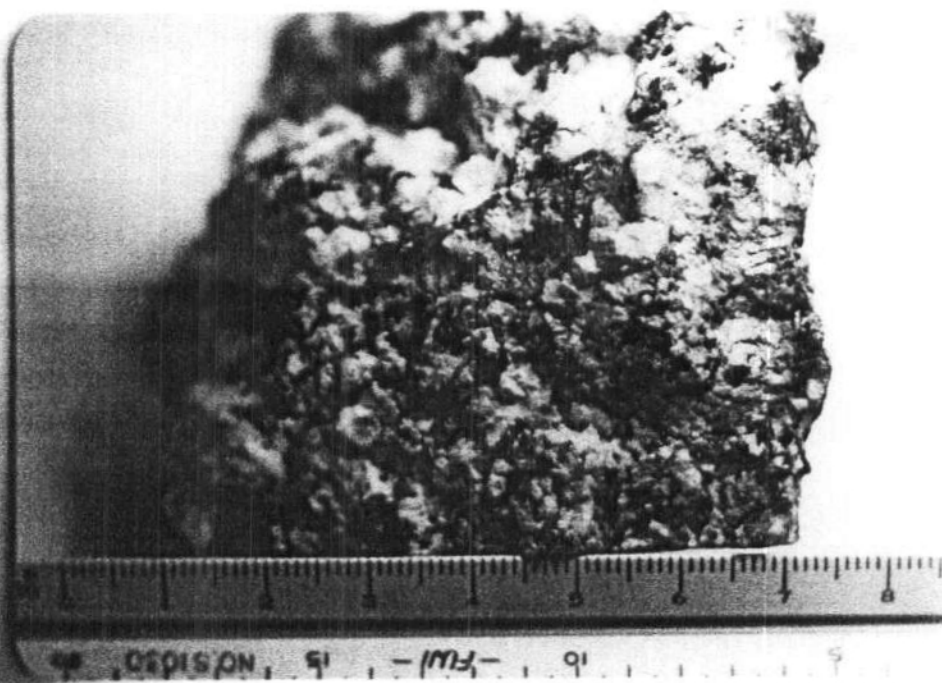
Aspecto textural de las rocas cuarzo dioríticas que aparecen en aislados recintos dentro del granito envolvente el de Porriña. Estación 1-3 AH-2.



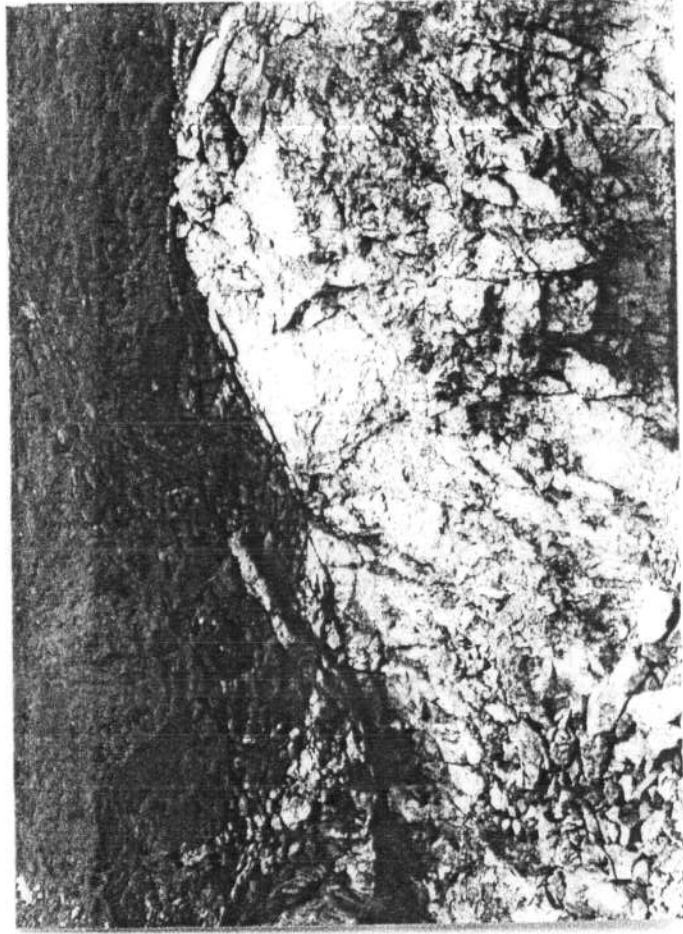
Feldspato rojizo o rosado, de una potente dique situado en la hoja 1:50.000 de Tuy (Sierra de Gabreiro). Estación 1-3/AH-1.



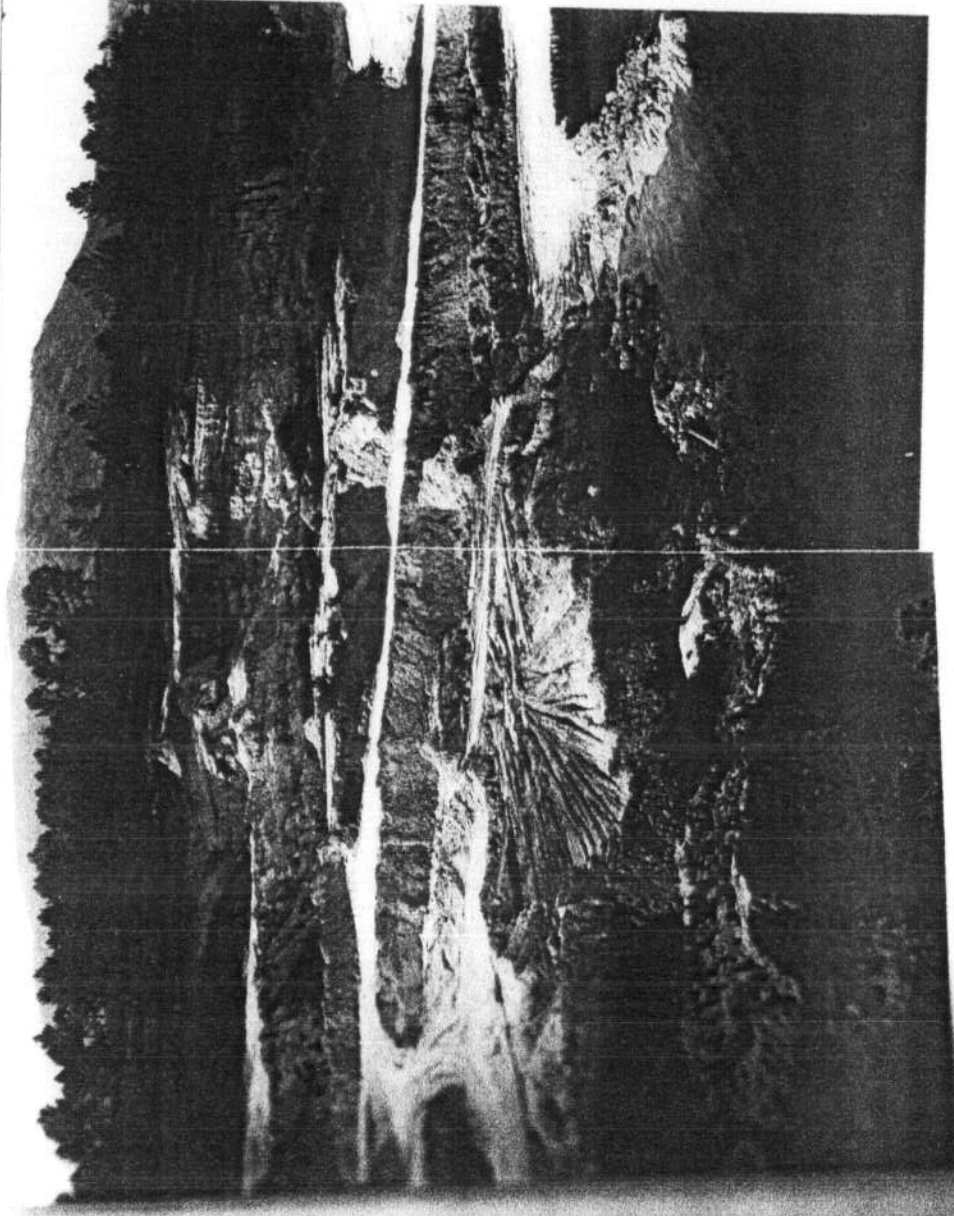
Detalle de la disyunción en los esquistos del PC indiferenciado del Alto de Puzas-Hora de Tuy. Estación 1-3 AH-4.



Textura granuda del granito porfídico-biotítico-moscovítico de Tuy. Color virado a sepia. Estación 1-2 AH-3.

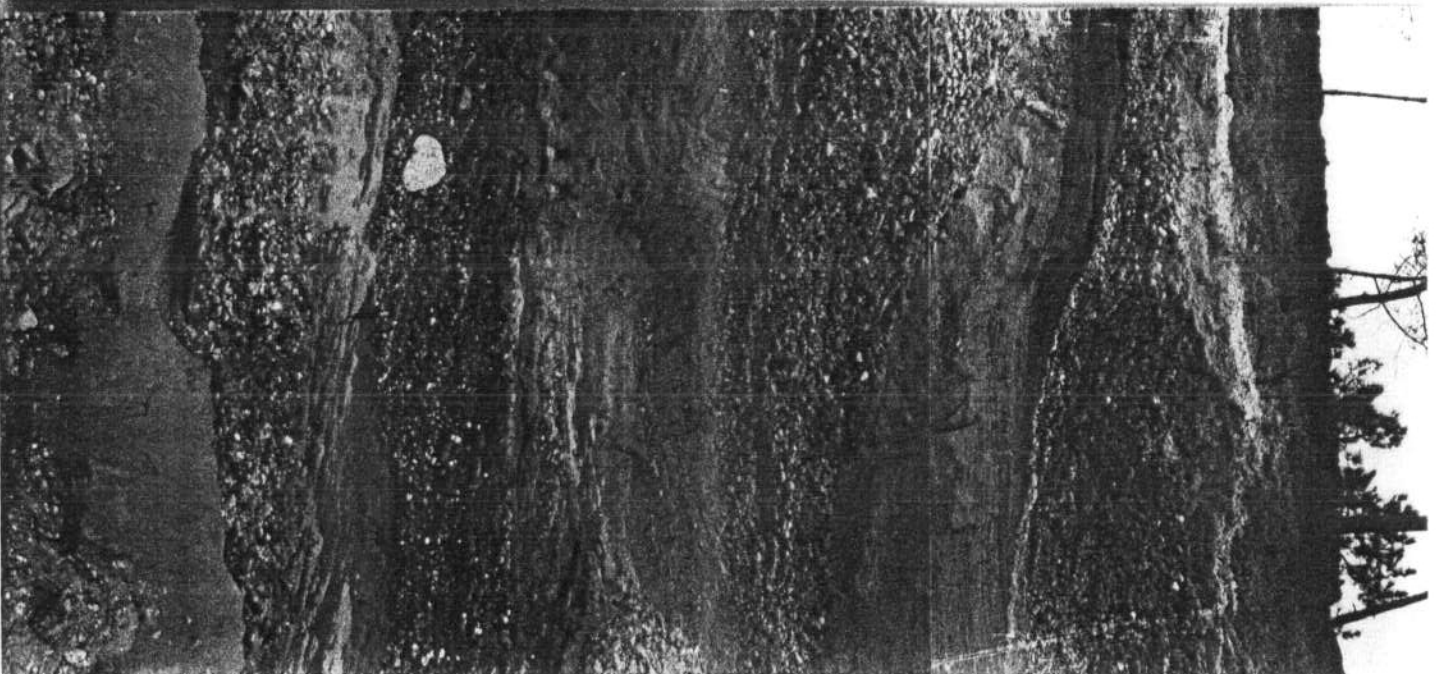


Aspecto del dique feldespático de la Peña Galtráero que ha sido en el pasado objeto de intensa explotación. En la actualidad se halla abandonada su extracción, debido al pobre recubrimiento que presenta y la mala accesibilidad del yacimiento. Provincia de Pontevedra. Estación I-3. AH-93.

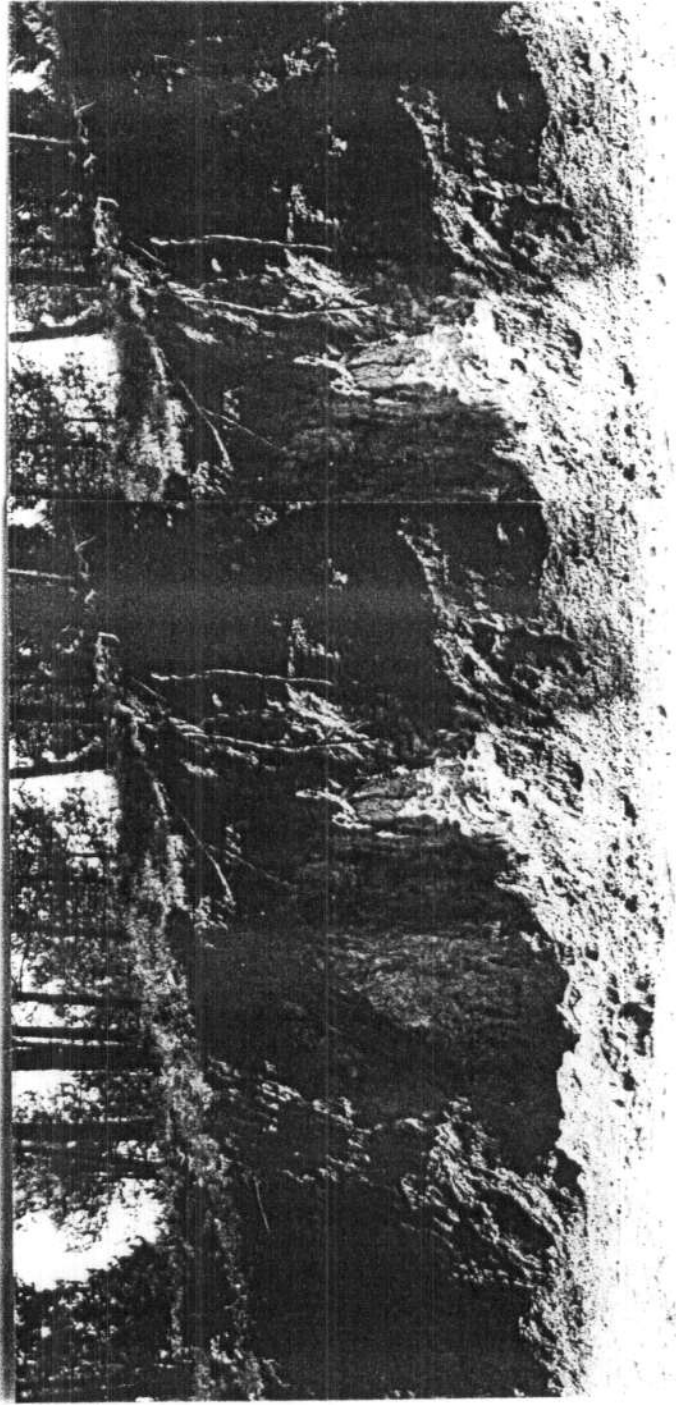


Amplio frente de explotación en las terrazas del Louro, al norte de Tuy. Estación I-3. AH-6.

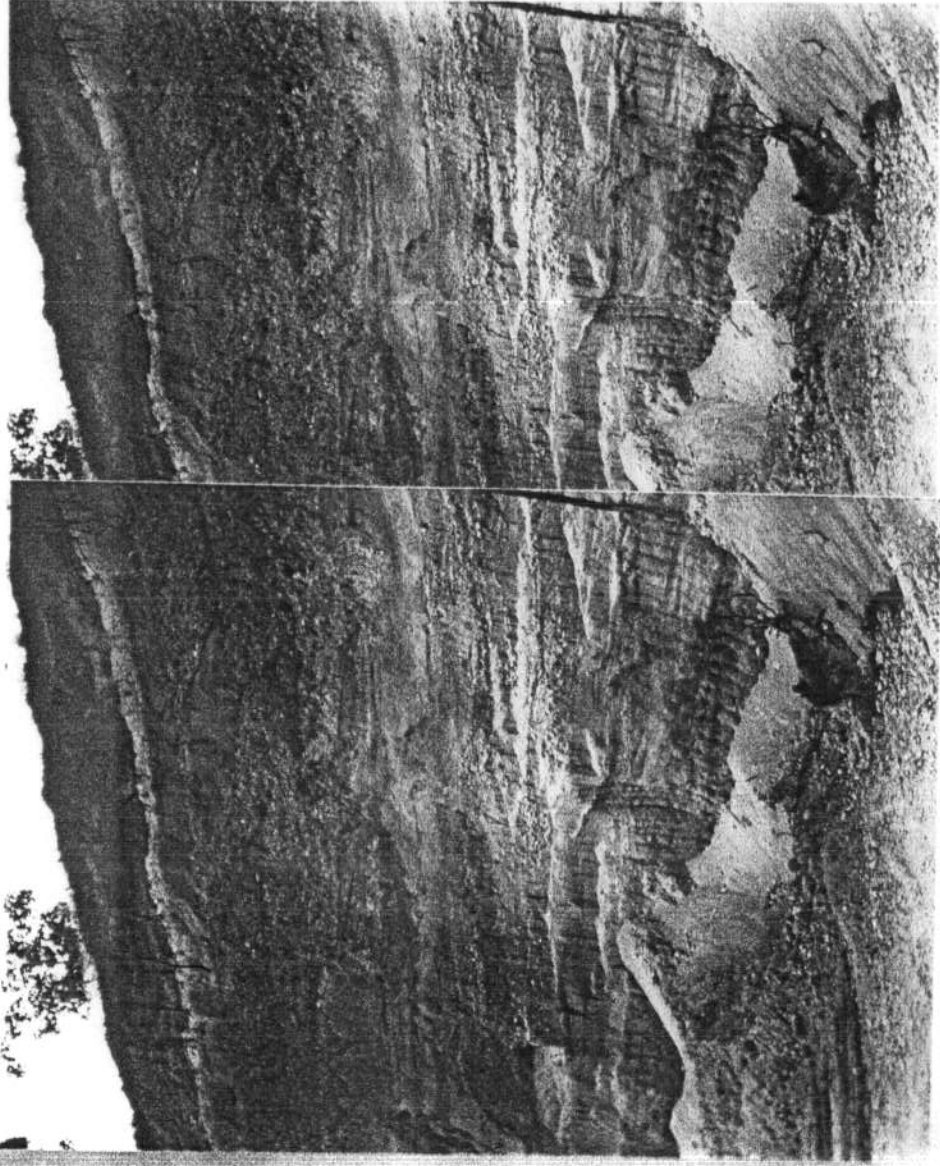




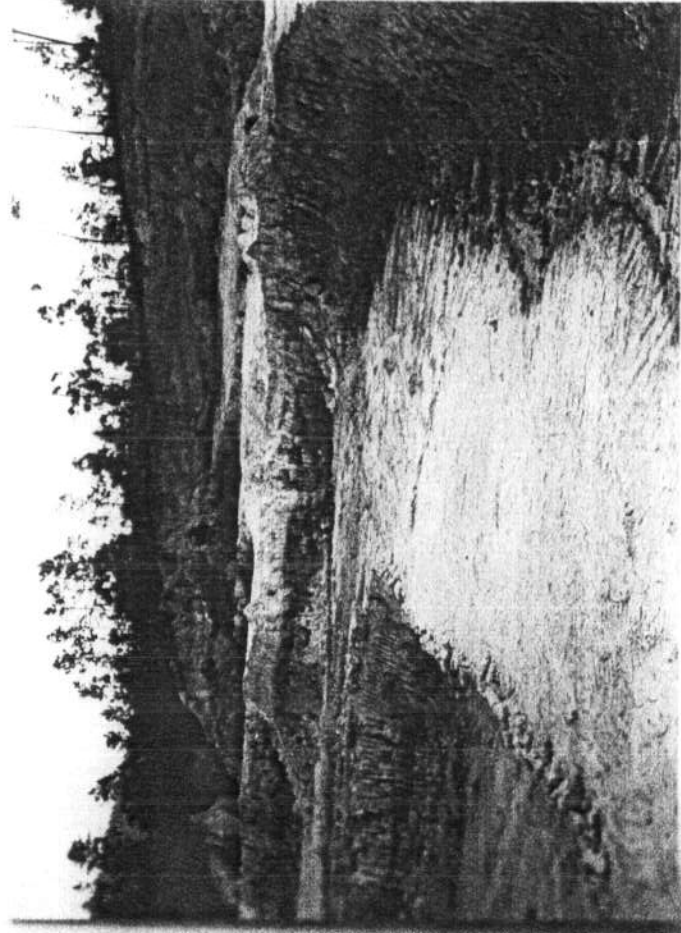
Caserna de la terraza QT2 del valle de Loureza. Tuj. Estación 1-3. AHS



Intrusión granítica granito de dos micas con los metasedimentos de la zona (Blastomylonita). Sur de Vique. Estación 1. V. VII.



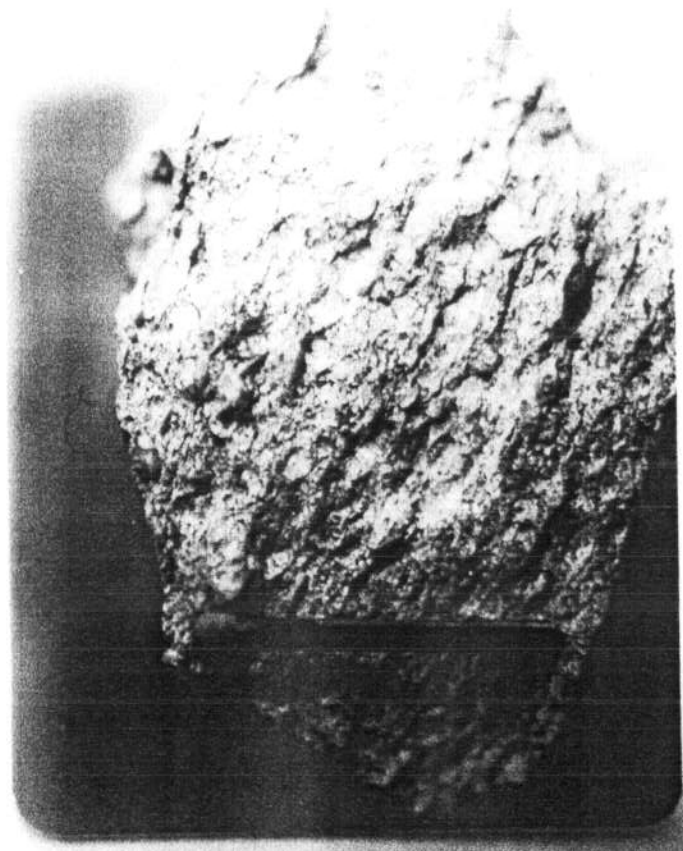
Corte de la terraza QT2 del valle del Louro al N. de Tuy. Estación 1:3 AH-8



Bancos de la explotación de arcillas de la base de la terraza QT2 al Norte de Tuy.  
Estación 1:3 AH-9



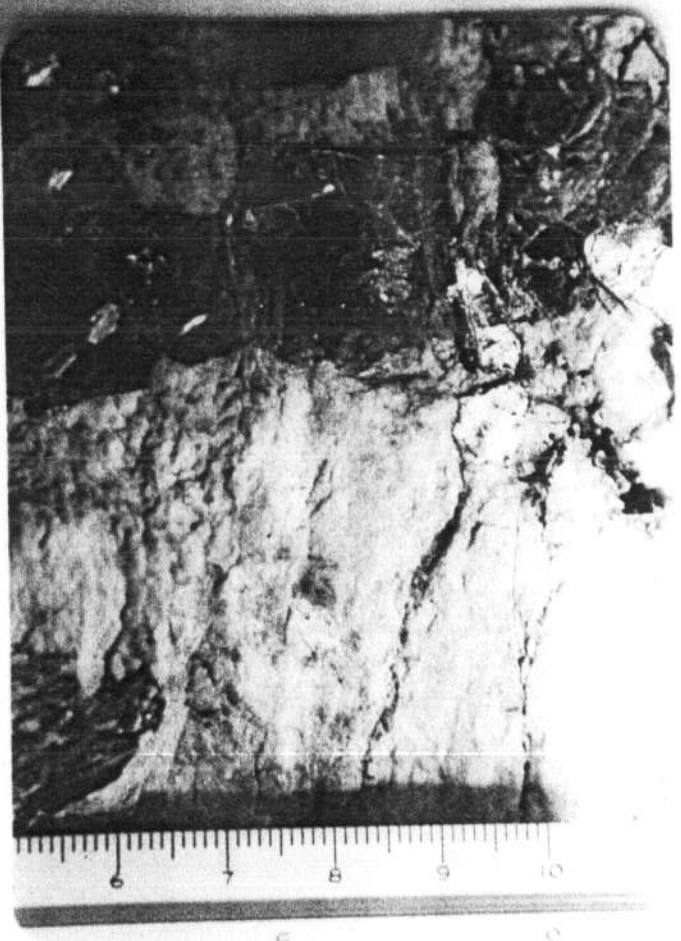
Otro aspecto de los conglomerados cuarcíticos muy deformados del "complejo esquistograuwaquico" de El Rosal (La Guardia - Formación Estación 1-4 AH-1).



Aspecto de la muestra de mano de los conglomerados cuarcíticos de la parte superior del "complejo esquistograuwaquico" de La Guardia - Estación 1-4 AH-1.



Detalle de los micaesquistos con turmalinas del contacto con los granitos de Tomiño.  
Estación 1-4/AH-3.



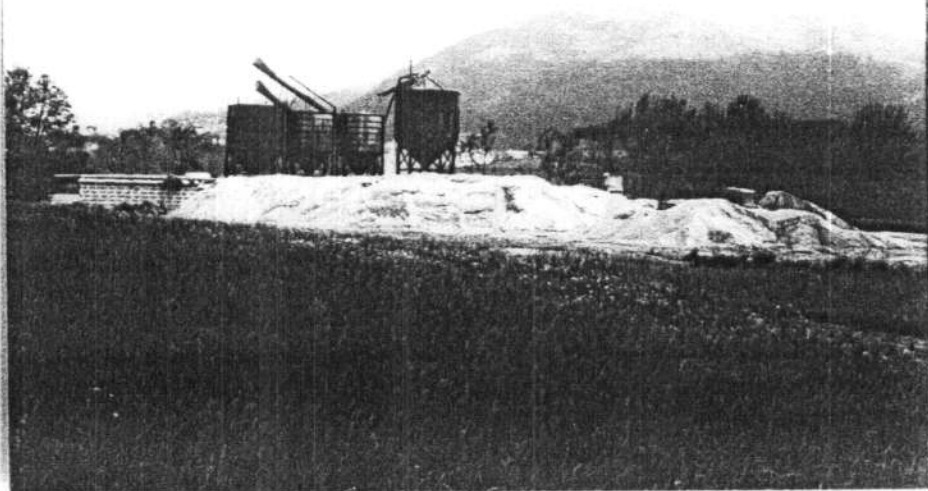
Detalle de un dique pegmatítico en la zona de Tomiño. En la foto feldespatos y moscovita.  
Estación 1-4/AH-2.



Detalle de los esquistos turmalíferos de la sierra de Argallo. Hoja de Tomiño, Estación 1-4 AH-6.



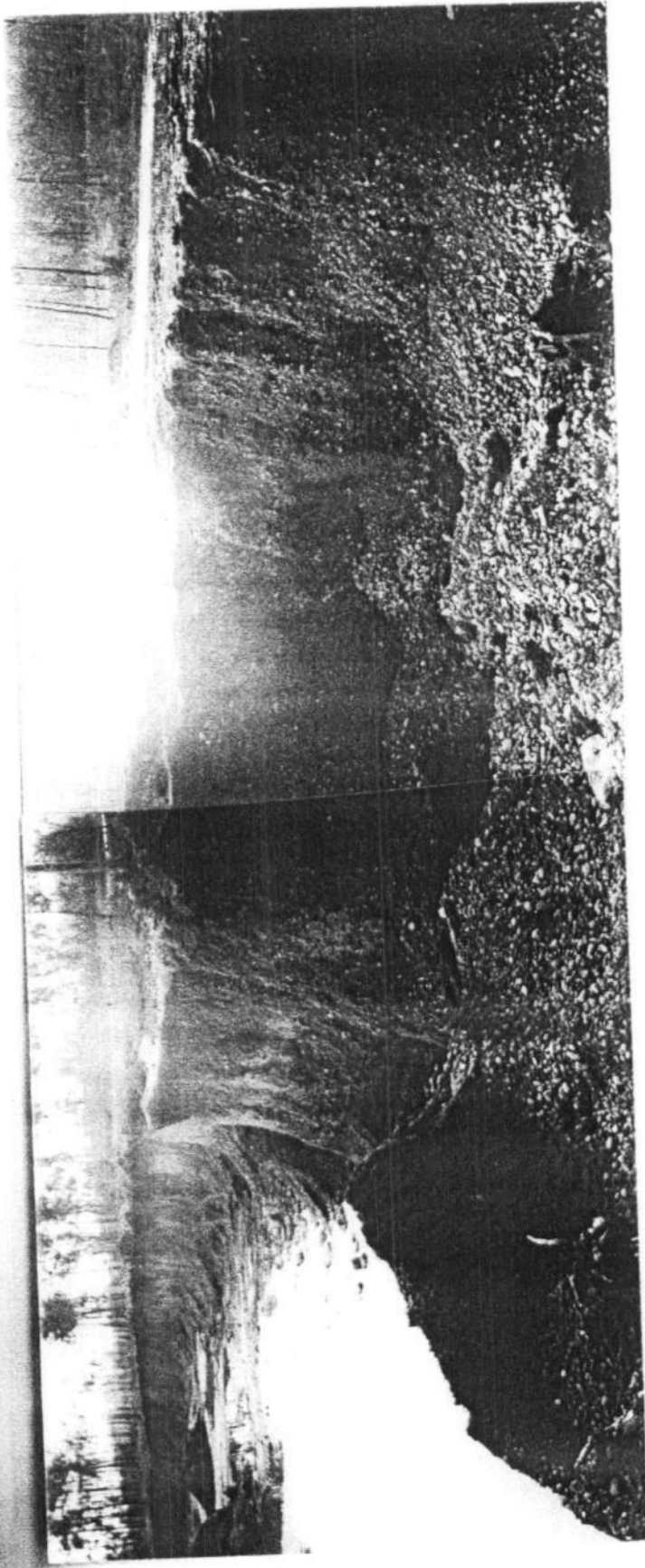
Gruesos cristales de andalucita en los diques ácidos de Tomiño. Estación 1-4/AH-4.



Acopios y tolvas de la explotación de Goyán, en los graveros del Miño. Estación I-4 AH-8

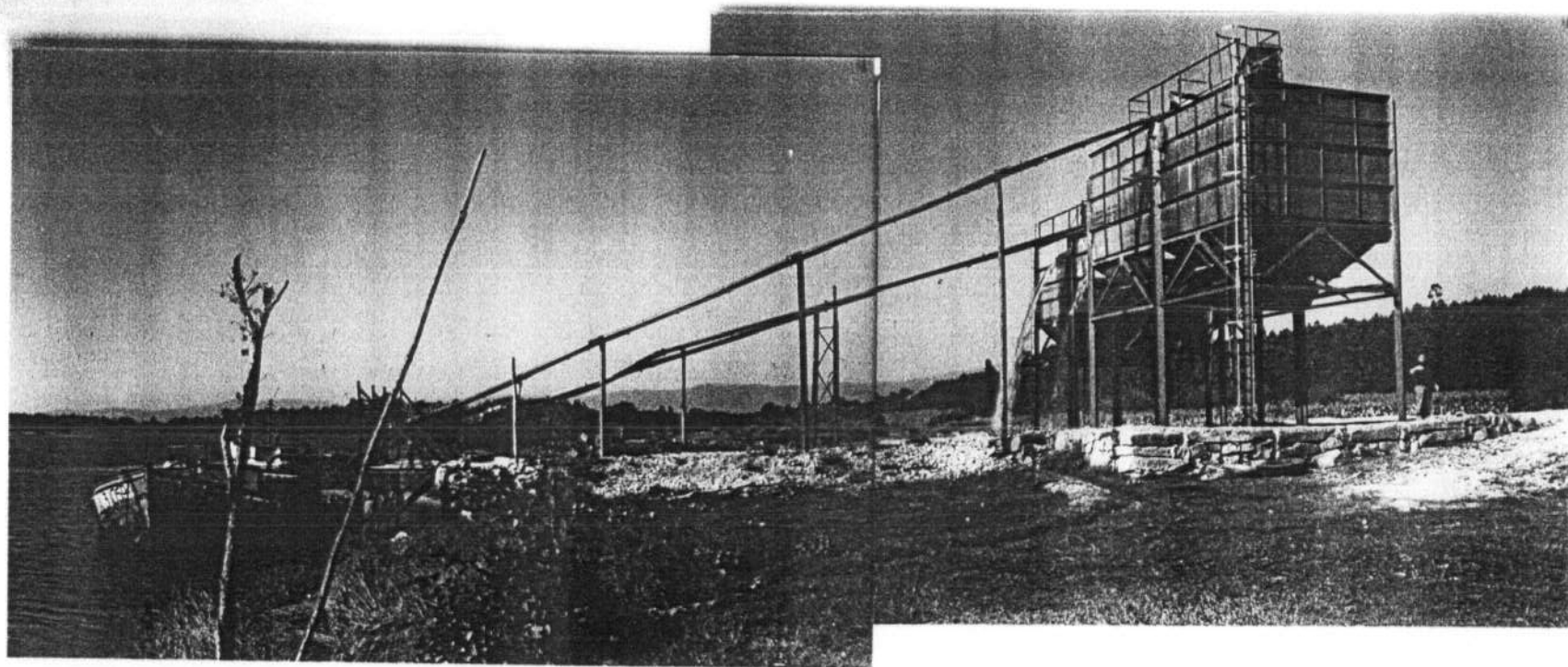


Detalle de un dique ácido en la sierra de Argallo (Tomiño). Estación I-4/AH-5.



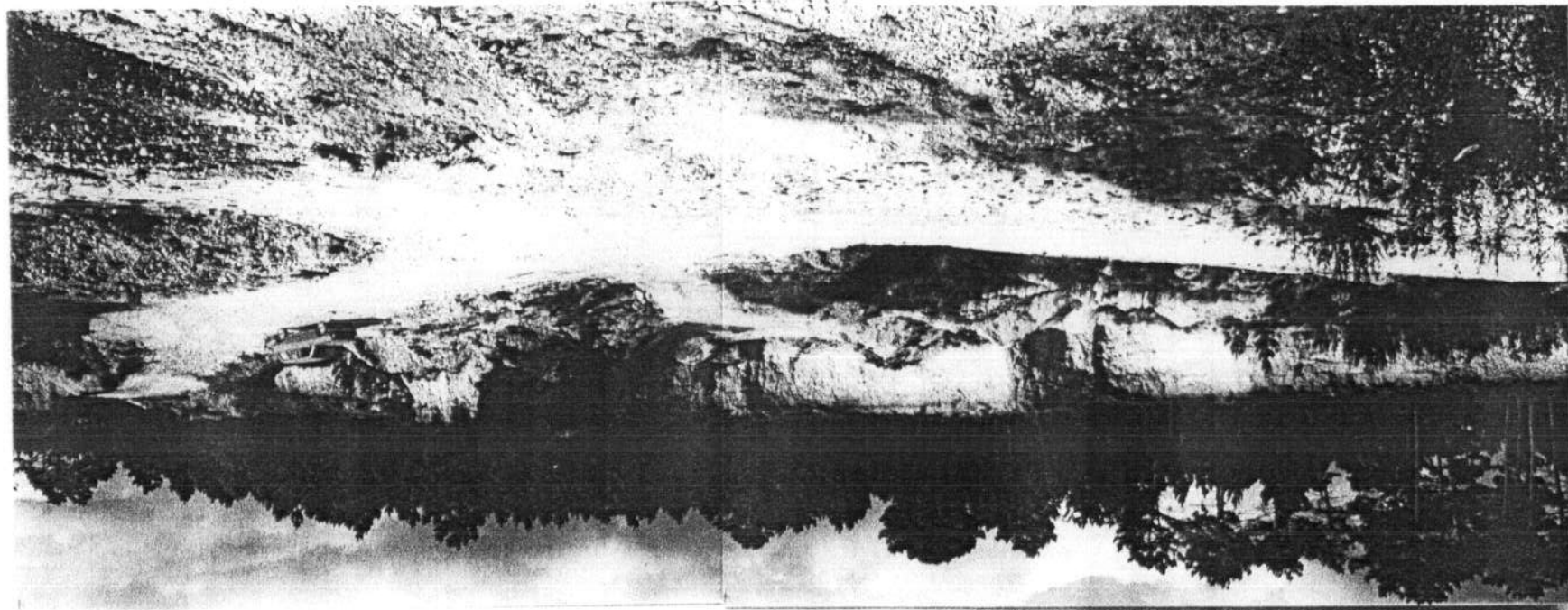
Grazeras de Carregal de Abajo en las terrazas del Miño (Q13). Tomado Estacion 14.





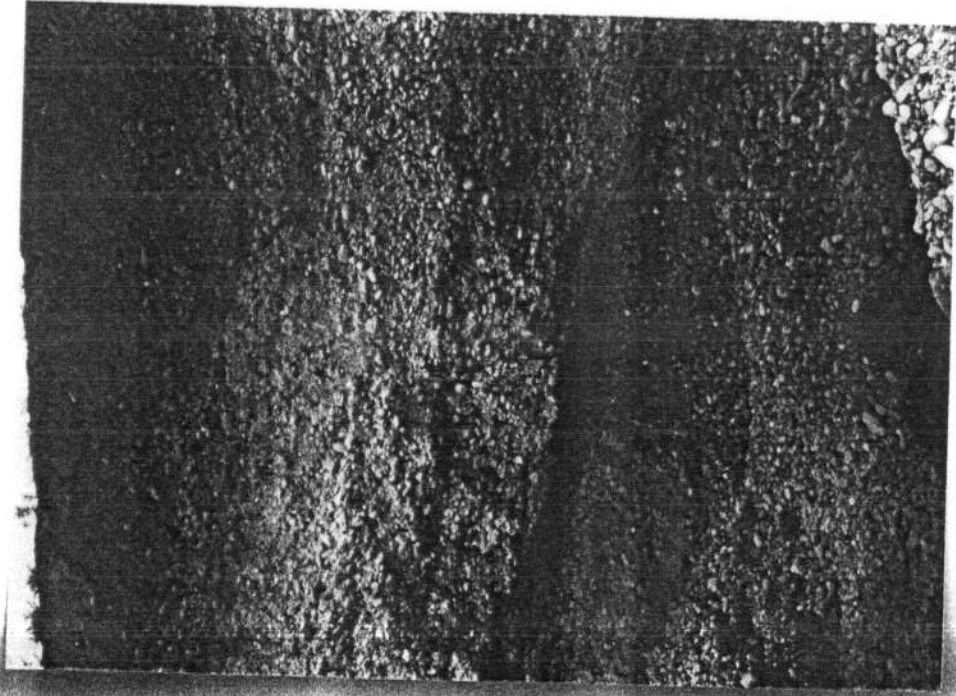
Explotación de las arenas del Miño mediante sistema de "chupona" al N. de S. Pedro de Forcadelle. Estación 14. A119.

Terrazas "colgadas" del Miño en Carregal de Arriba, Hoja de Tombo, Fracción T-4. A.H. 10.

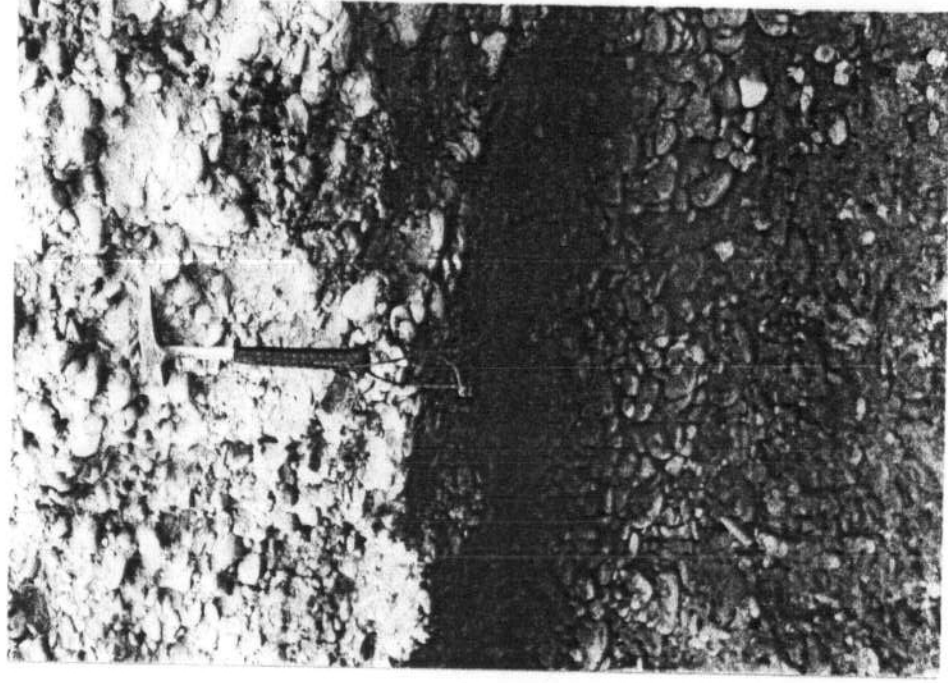




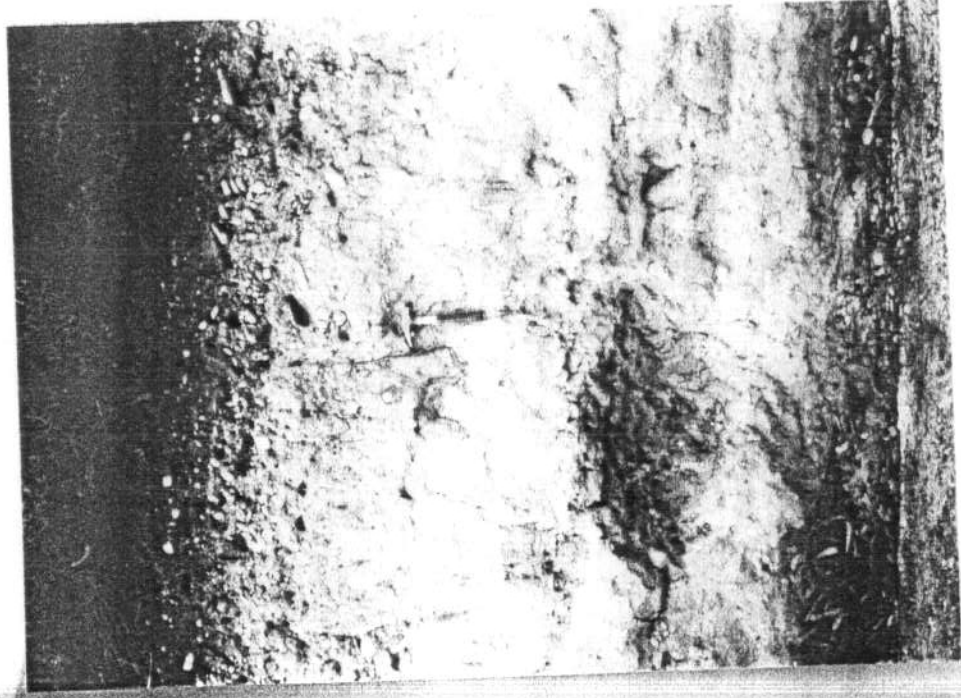
Zahorra de la terraza QT2 del Miño. Zona de Carregal de Arriba. Estación 1-4/AH-11.



Corte conjunto de las gravas que constituyen la parte superior de la terraza QT2 del Miño en la zona de Carregal de Arriba. Estación 1-4/AH-11



Microfotografías de Fe en las gravas de la terraza QT2 del Miño, zona de Carregal de Arriba. Estación 1-4/AH-11.



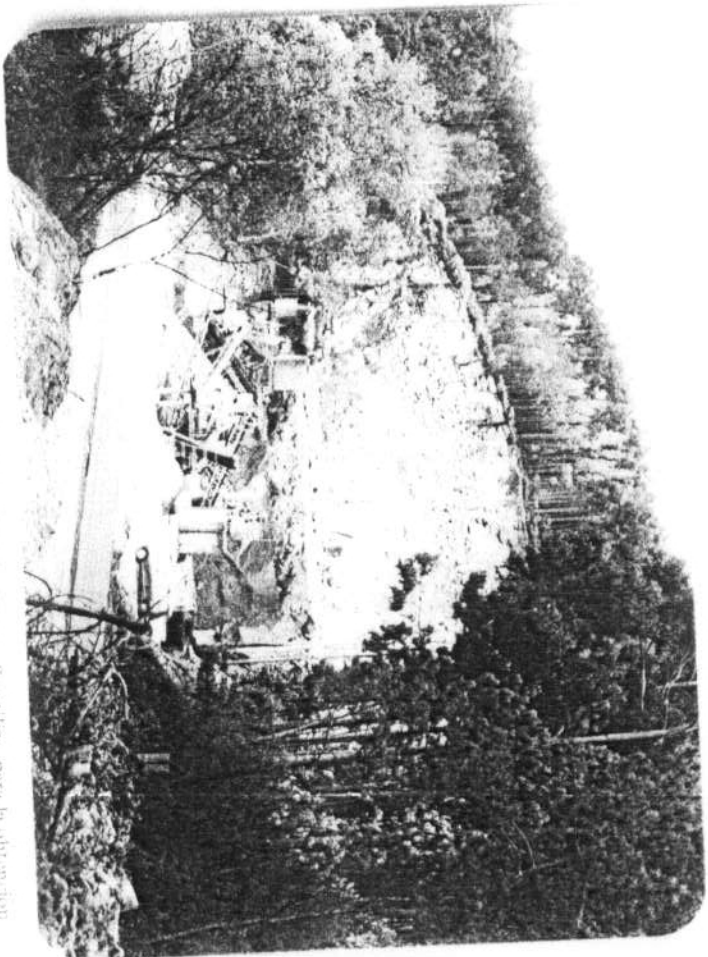
Tramo superior de la terraza QT2 del Miño, en la zona de Tomiño. Estación 1-4 AH-12.



Detalle de las gravas y arenas caoliníferas de la terraza QT3 del Miño. Zona de La Guardia. Estación 1-4 AH-13.



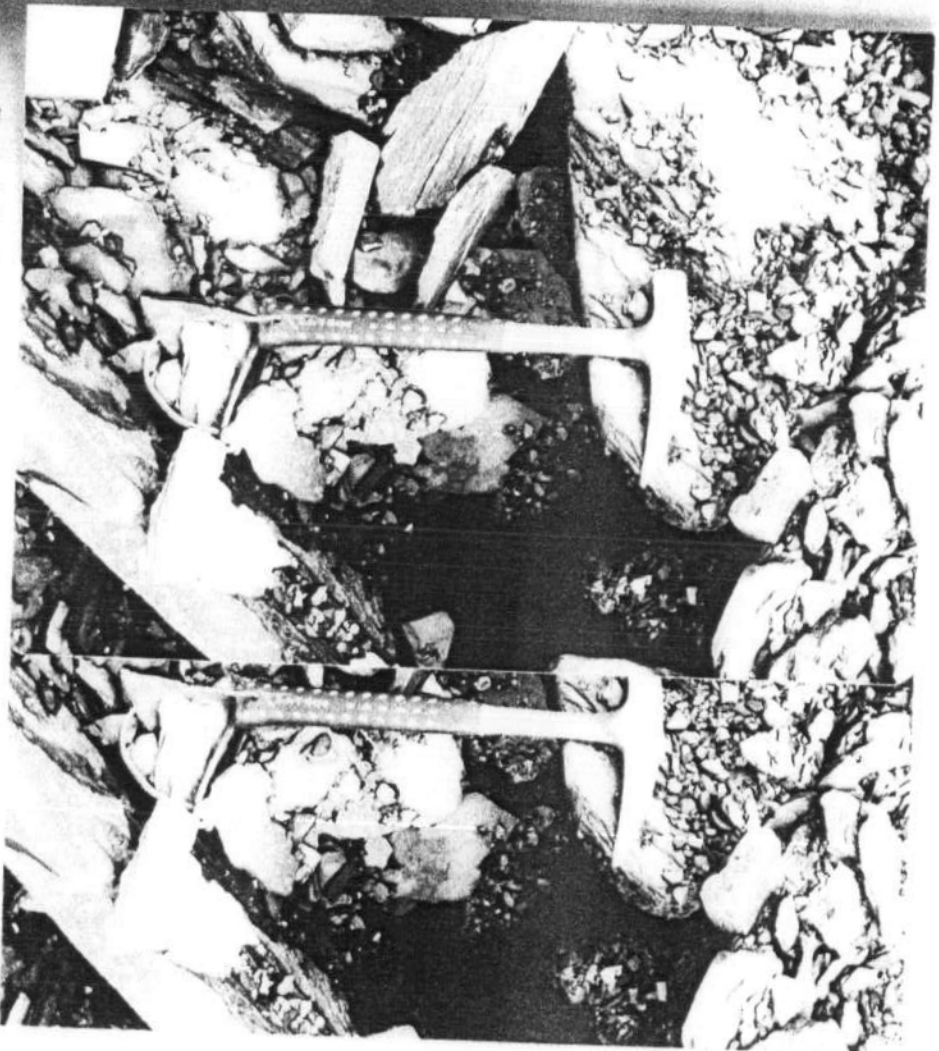
Playa de Arca (I. de Vivero). La formación de dunas penetra considerablemente en tierra, con acúmulos locales de una decena de metros. Estación 21/AH-16



Cantera importante en la granodiorita bioerfiza de Averno. Se utiliza para la obtención de áridos. (Sección 2-1 AH-17)



Deque de cuarzo de la Estaca de Vares. Explotación importante para áridos de trituración y piedras de construcción en general. (Estación 2-1 AH-19)

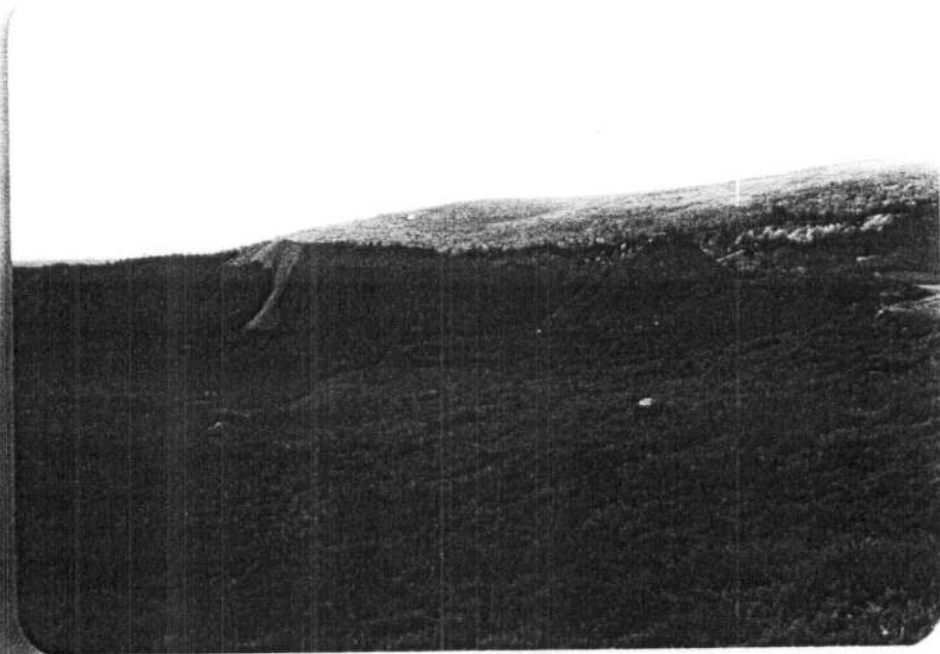


Pizarras de Luarca explotadas intensamente para la cubierta de edificios, en la banda ordo-  
vática de Ortigueira. Estación 21/AH-20.



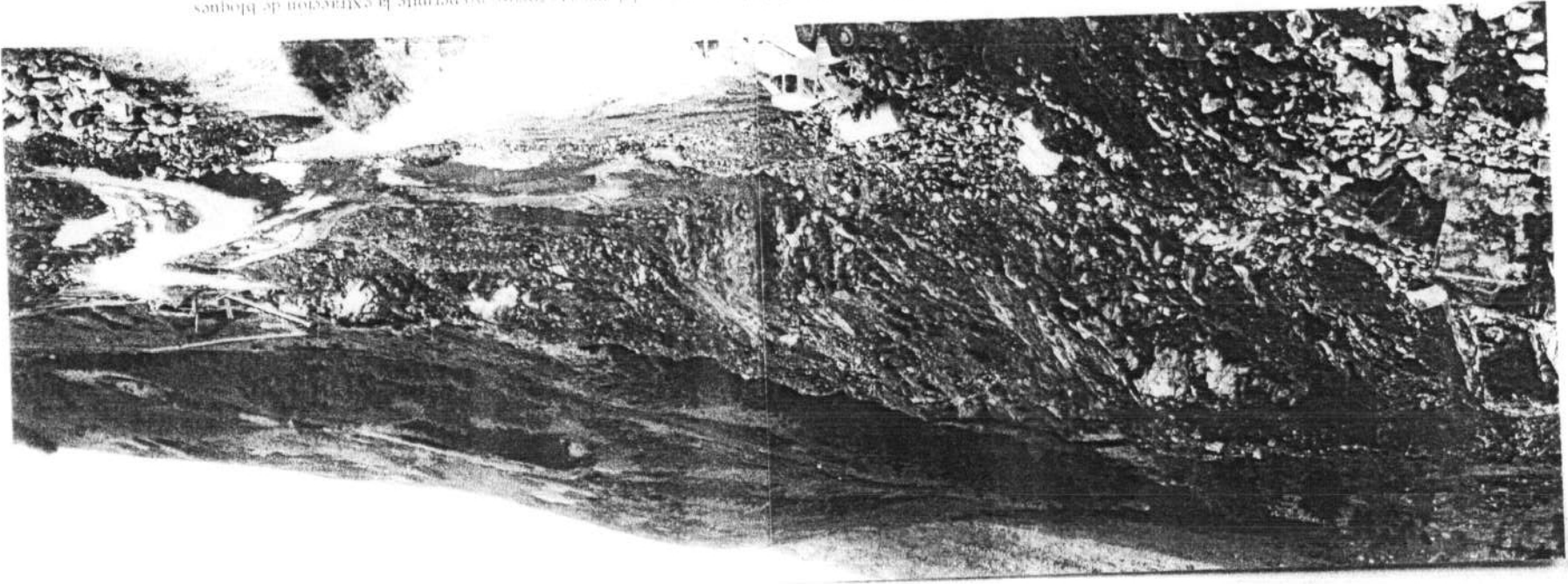


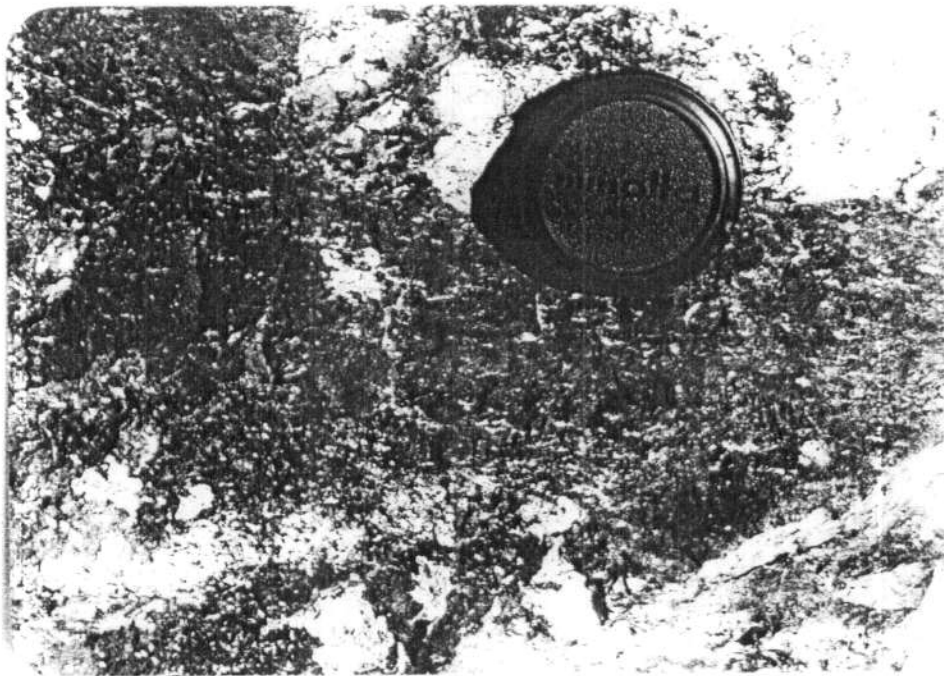
Otro aspecto de las pizarras de techar (formación de pizarras de Luzaca) al Sur de Sta. Marta de Ortiguera. Estación 2-1 AH-20.



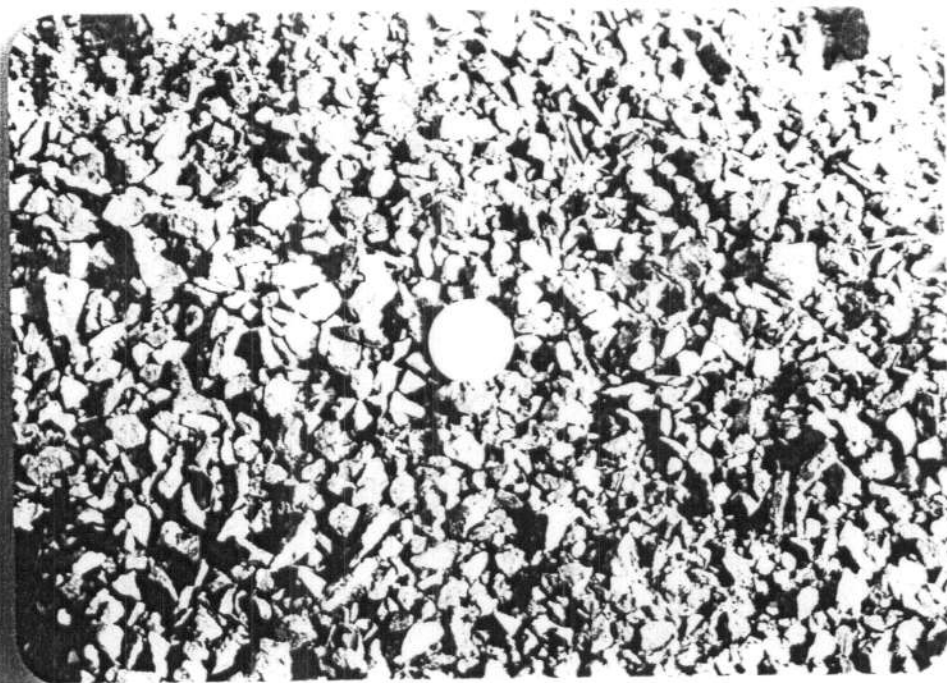
Rocas ultrabásicas de Cabo Ortegale. El macizo está formado por periodotitas, dunitas y anfíbolitas. Está siendo intensamente explotado. Mediante sucesivos pasos de trituración se llega a gravilla de uno o varios cms. la cual es llevada al lugar de consumo por medio de grandes camiones. Estación 2-1 AH-21.

Importante explotación de dunitas en el macizo ultrabásico de Cabo Ortegal. La fragmentación del macizo por fracturas no permite la extracción de bloques grandes para el serrado y pulimentación de planchas ornamentales. Fuente: F. M. M. (1984).

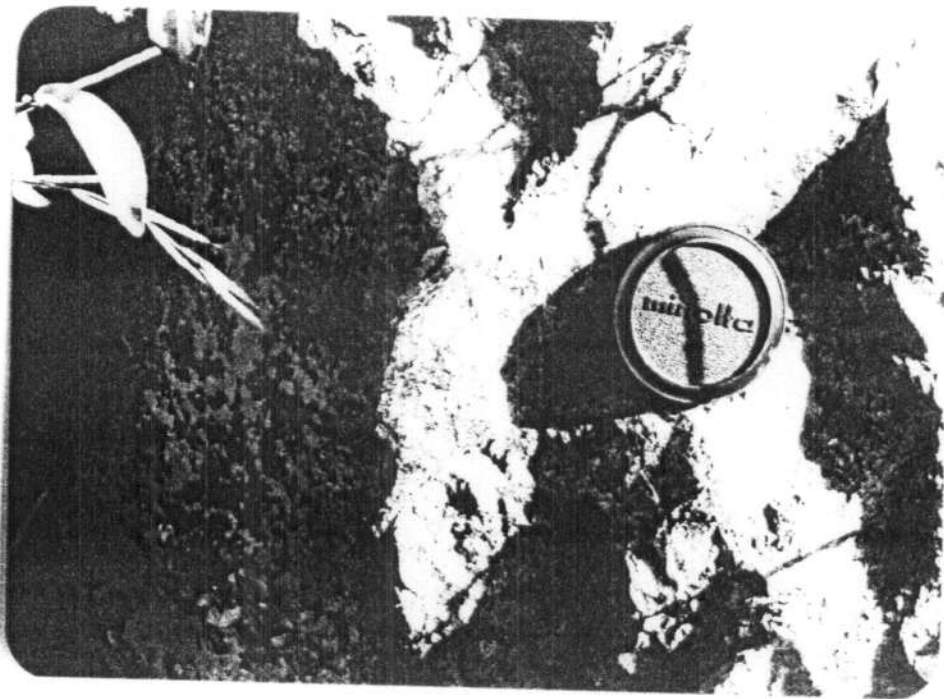




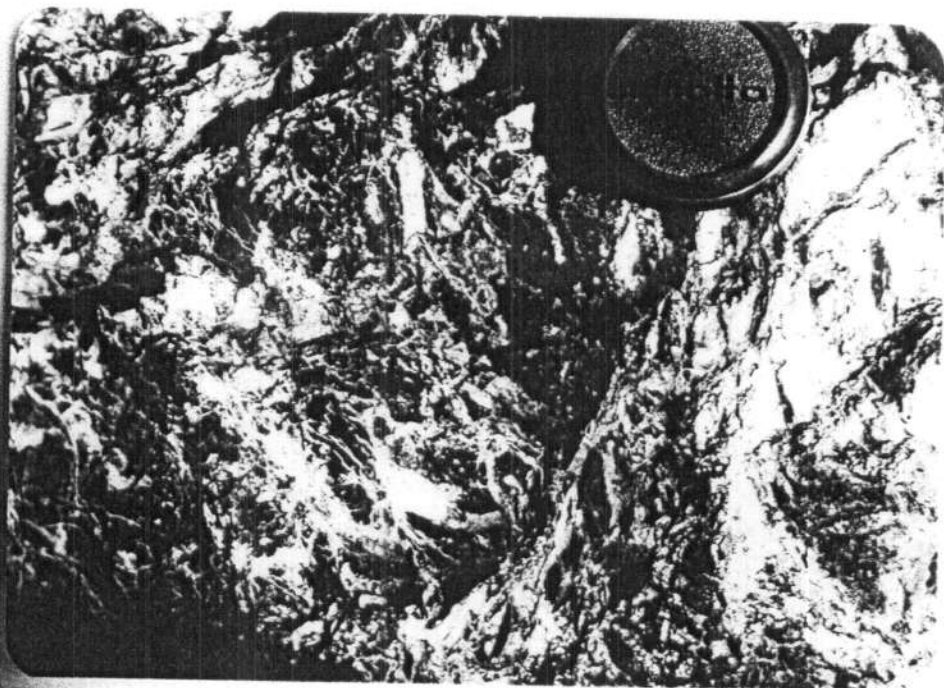
Detalle de las peridotitas y serpentinitas de cabo Ortegai. Estación 2-1/AH-21.



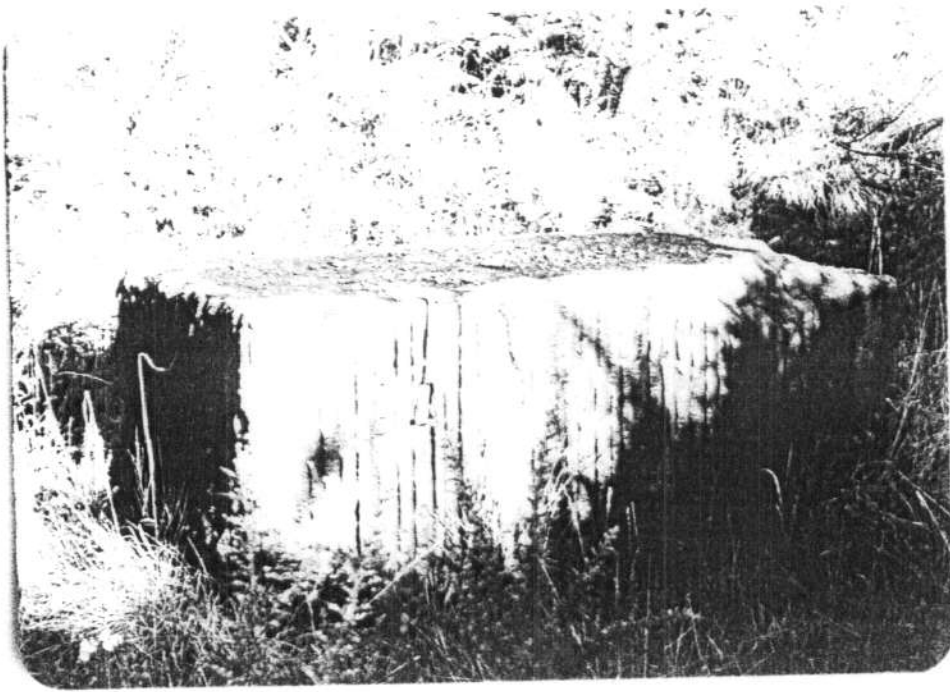
Gravilla obtenida por trituración de las rocas ultrabásicas del macizo de Cabo Ortegai. Estación 2-1/AH-21.



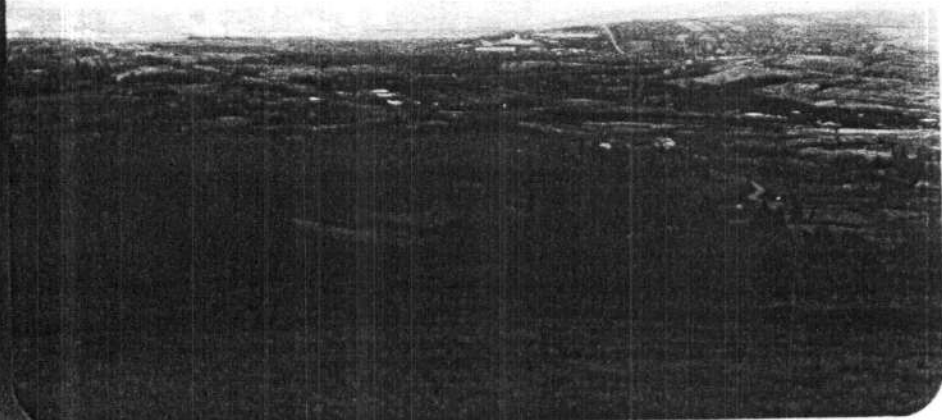
Detalle de las rocas anfíbolíticas del macizo ultrabásico de Somozas. Estación 2-1 / AH-22.



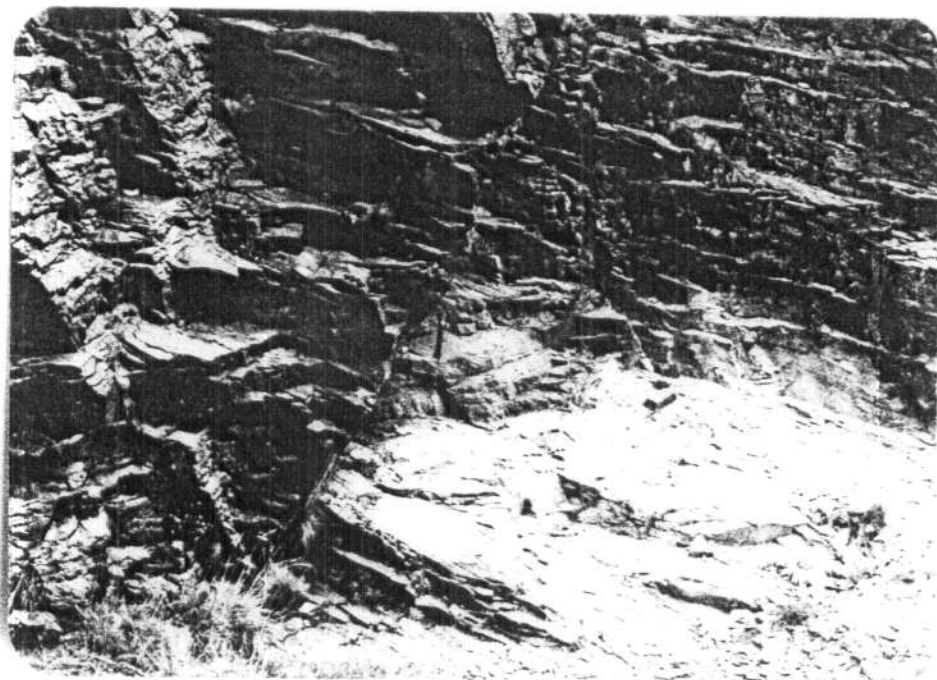
Otro aspecto de detalle de la serpentina con asbestos sedosos, en el macizo ultrabásico de Somozas. Estación 2-1 / AH-22.



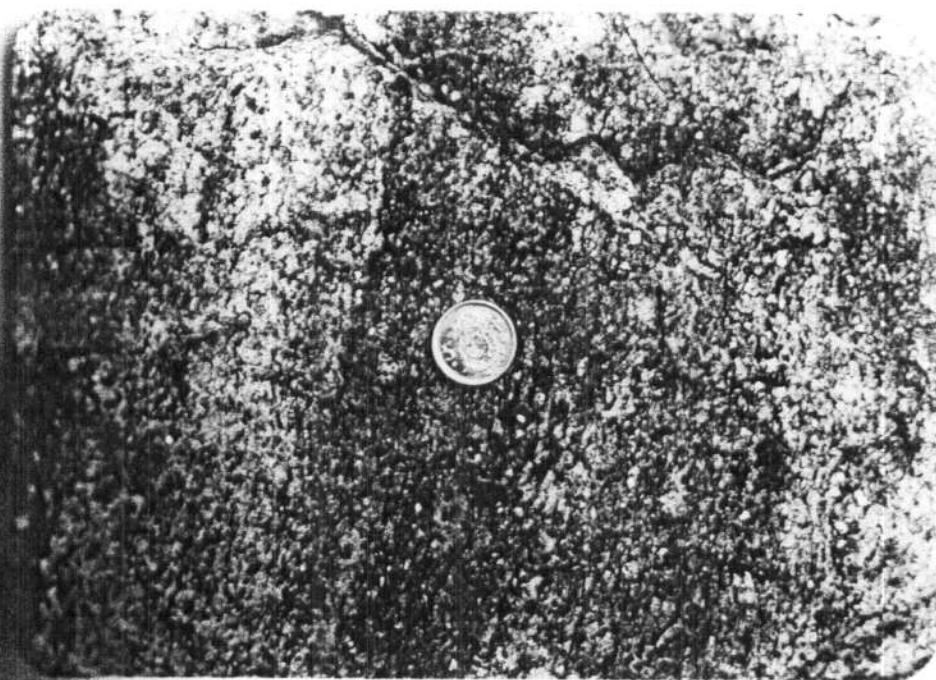
Bloques abandonados de serpentinitas del macizo de Somozas. La cantera tuvo una actividad extractiva bastante limitada. Estación 2-I/AH-22.



Panorámica de la explotación de lignitos de Puentes de García Rodríguez desde el NW. Se trata de una cuenca terciaria, intramontañosa, formada por margas, arcillas, lignitos y horizontes carbonáticos francos. Estación 2-I/AH-23.



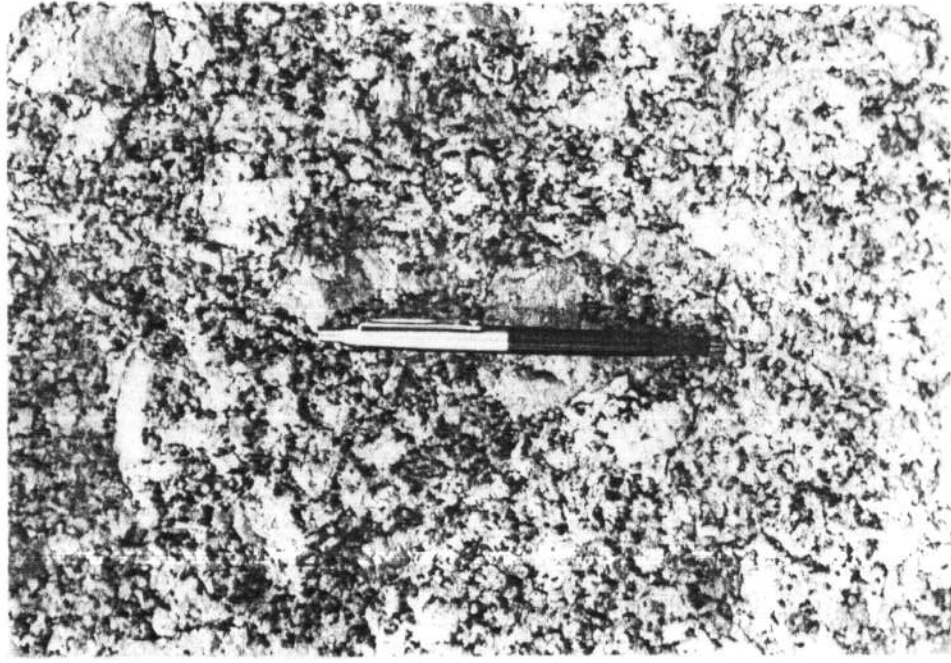
Aspecto de las cuarcitas tableadas silúricas de la Peña dos Ladrós. Han sido explotadas para áridos de trituración de carreteras y grava ó gravilla para hormigones. Estación 2-1 AH-23.



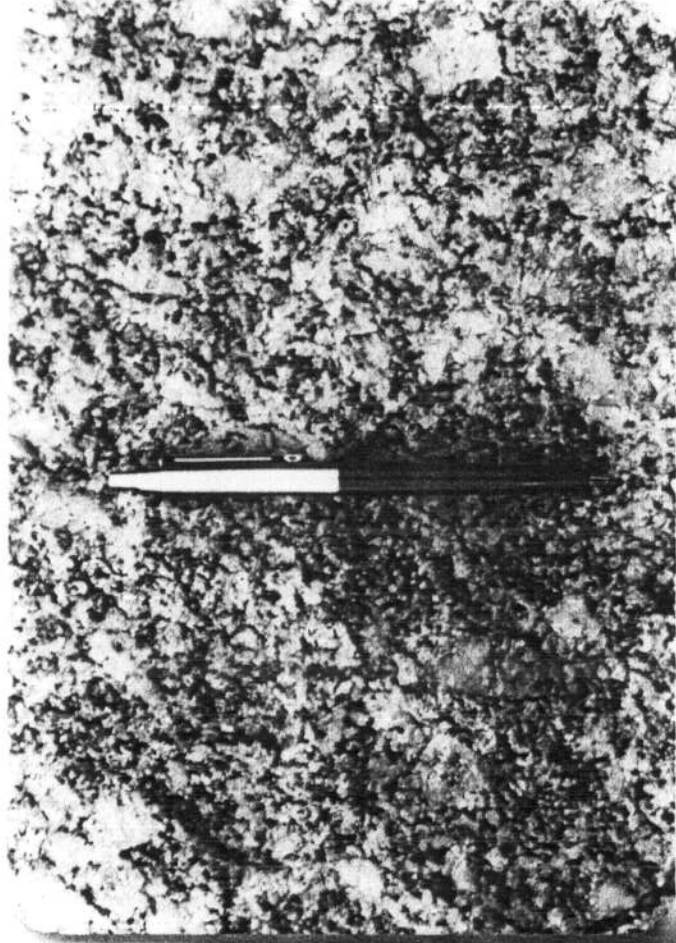
Aspecto de detalle del granito anatóxico del Ferrol. Hay frentes abandonados dispersos y otros importantes. La fracción moscovítica es importante en algunos planos y sobre todo en las superficies de separación entre bloques. Estación 2-1 AH-26.



Pizarras de la formación PC-Pal (Precámbrico-Paleozoico) indiferenciada. Han sido explotadas en diversos puntos de la zona para piedras de construcción en el levantamiento de muros y cercas, y para techumbres rústicas. Estación 2-1-AH.

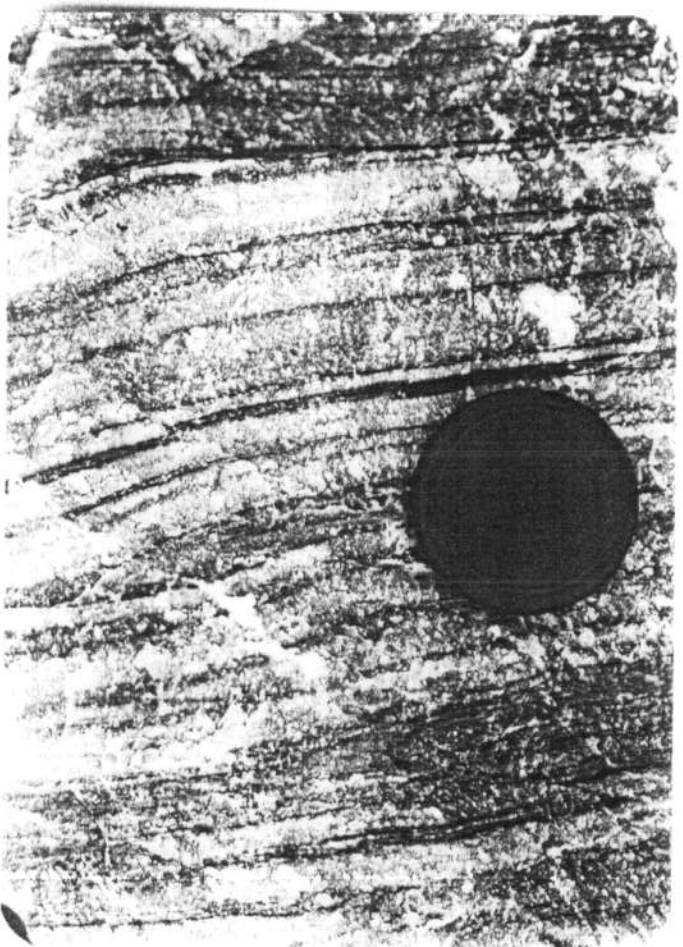


Otro aspecto del granito porfídico de biotita y moscovita de La Coruña. Estación 2-1 / AH-28.

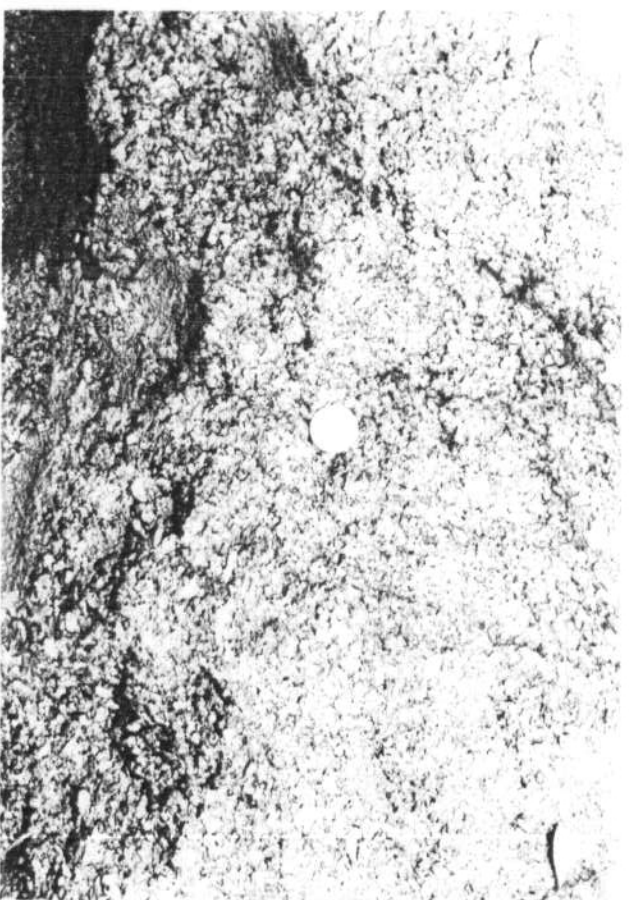


Detalle del granito porfídico, de dos micas, del macizo de La Coruña. La red de diclásas que la afecta es muy abierta. La textura de la roca es granuda y el tono es gris verdoso. Estación 2-1 / AH-28.

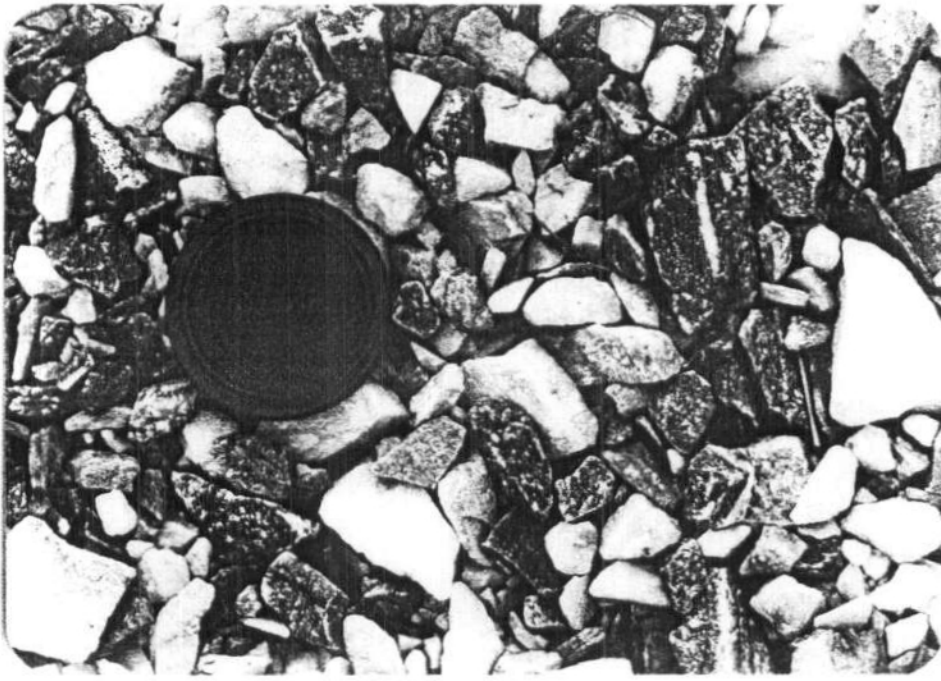




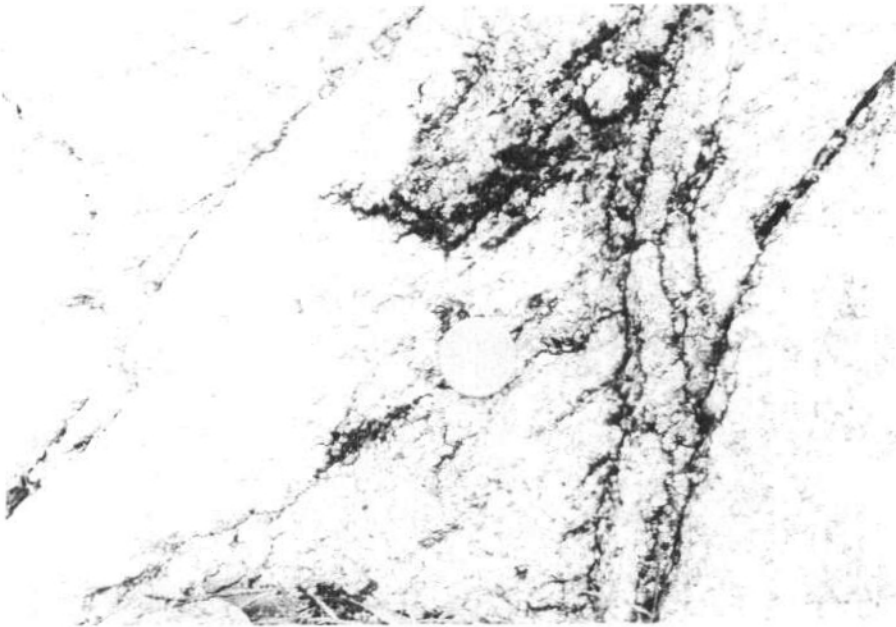
Aspecto de las calizas marmóreas, lapicidas de la formación de Candama, en la zona de Lorenzana. [Estacion 2-I/AH-11].



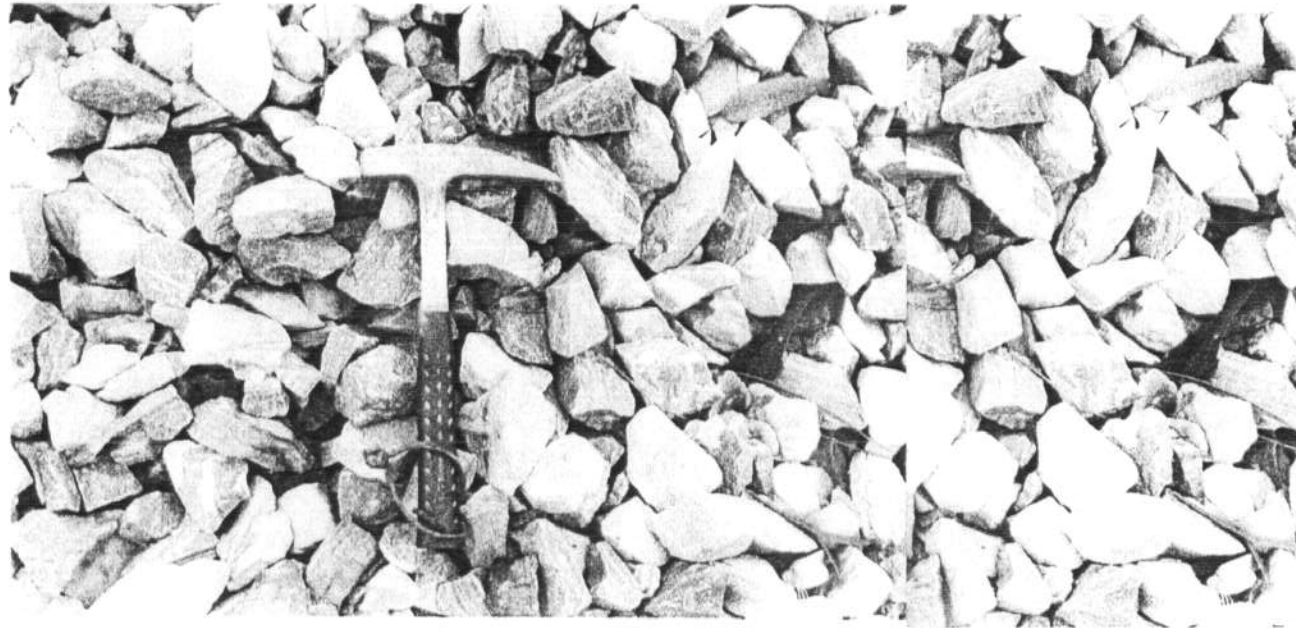
Cenozoona biotítica de Mondoñedo. No se observa en afloramiento una orientación tectónica de los minerales. El diaclasado es abierto en general. Estacion 2-I/AH-10.



Caliza de Cándana en la zona de Lorenzana. Existen aquí canteras muy importantes que explotan para áridos los blancos calizos cámbricos, de potencia entre 0,5 y 2 m. El diaclasado de la formación es abierto en general. Son abundantes los huecos cársticos. La fotografía muestra el aspecto de la grava de machaqueo obtenida de estas rocas.



Mármoles y calizas mármóreas de Cándana en la zona de Lorenzana. Son explotados intensamente en grandes frentes de cantera en esta zona. Estación 2-1/AH-11.



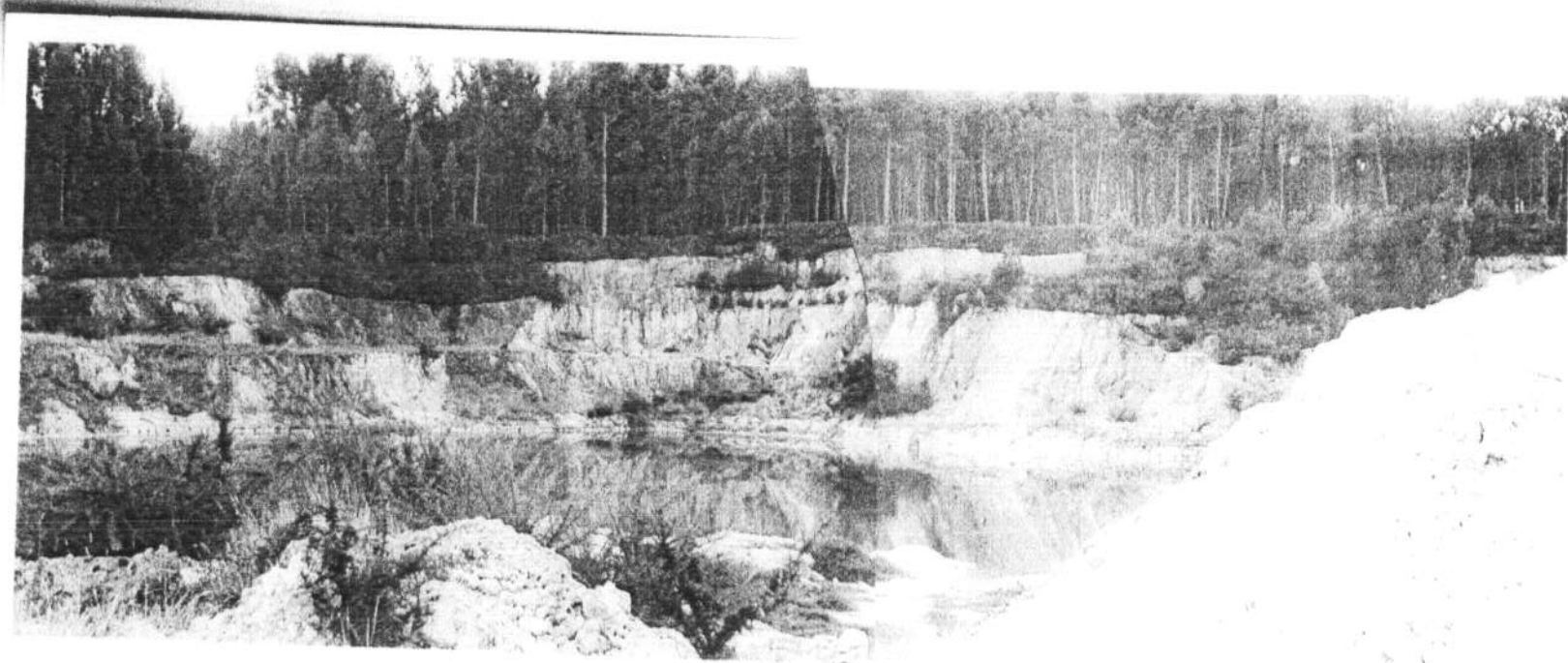
Aspecto estereoscópico de la gravilla de trituración obtenida por machaqueo de los mármoles de Cándana. Cantera de Lorenzana. Estación 2-1/AH-11.



Formas de disyunción de la granodiorita de Mondoñedo-Oirán, en gruesos cuerpos subesféricos.

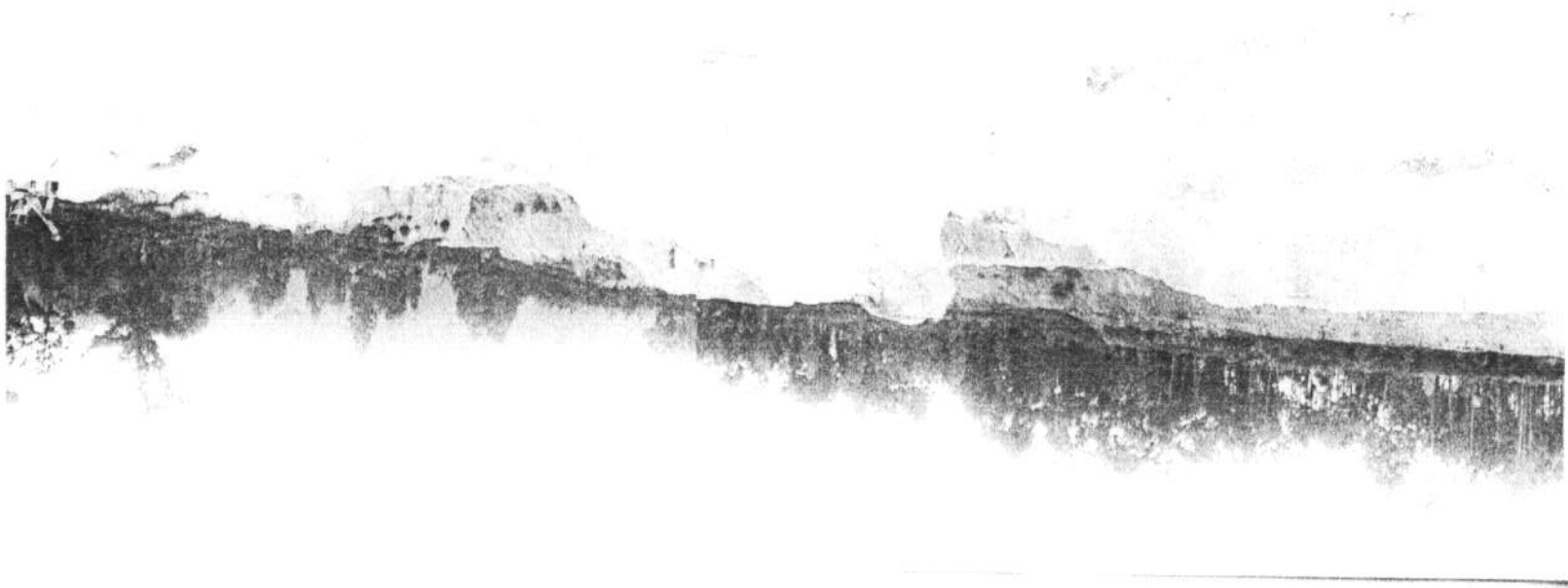


Otro aspecto de la masa granodiorítica de Mondoñedo-Oirán, con frecuencia estas bolas son objeto de explotación, abriéndolas con cuña, para la obtención de bloques.

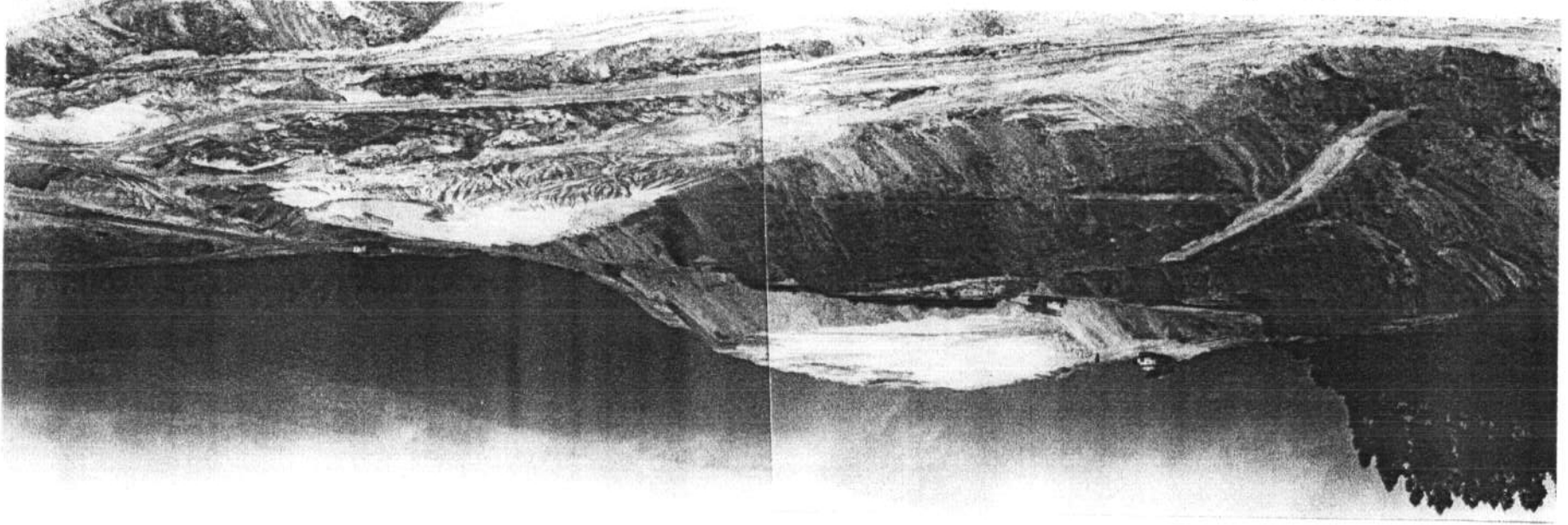


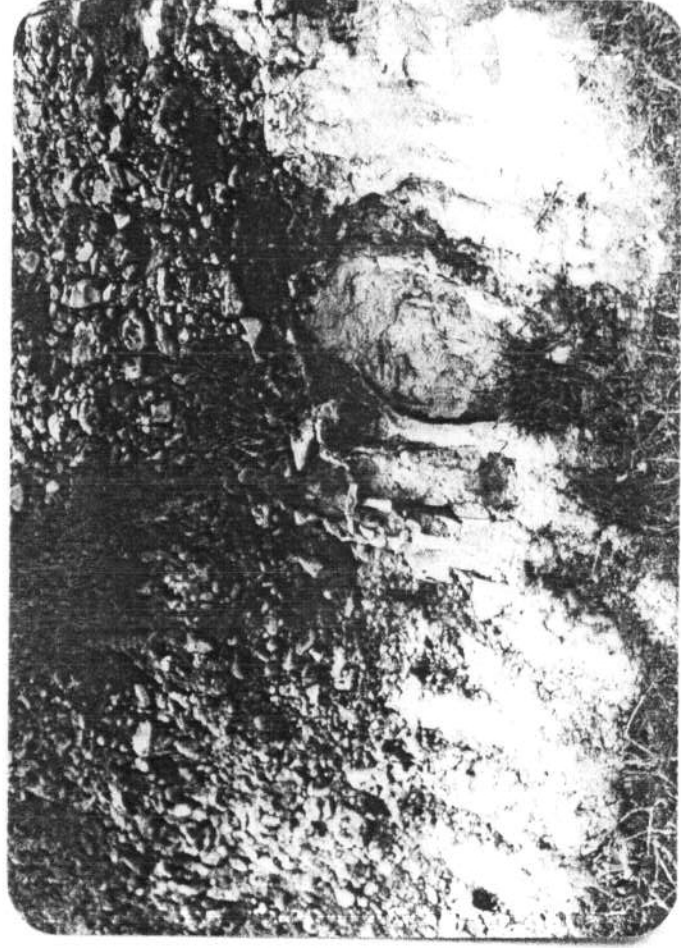
Explotación abandonada de caolín, propiedad de CEDONOSA, en la zona de Vicedo. Aparecen bolos graníticos parcialmente caolinizados, de varios m. de diámetro. Se trata de un granito orientado de dos micas. Estación 2-1/AH-18.

Otro aspecto panorámico de la explotación de caolín de CI DONOSA, en Vieedo, actualmente parada. Estación 24 (A11-18).

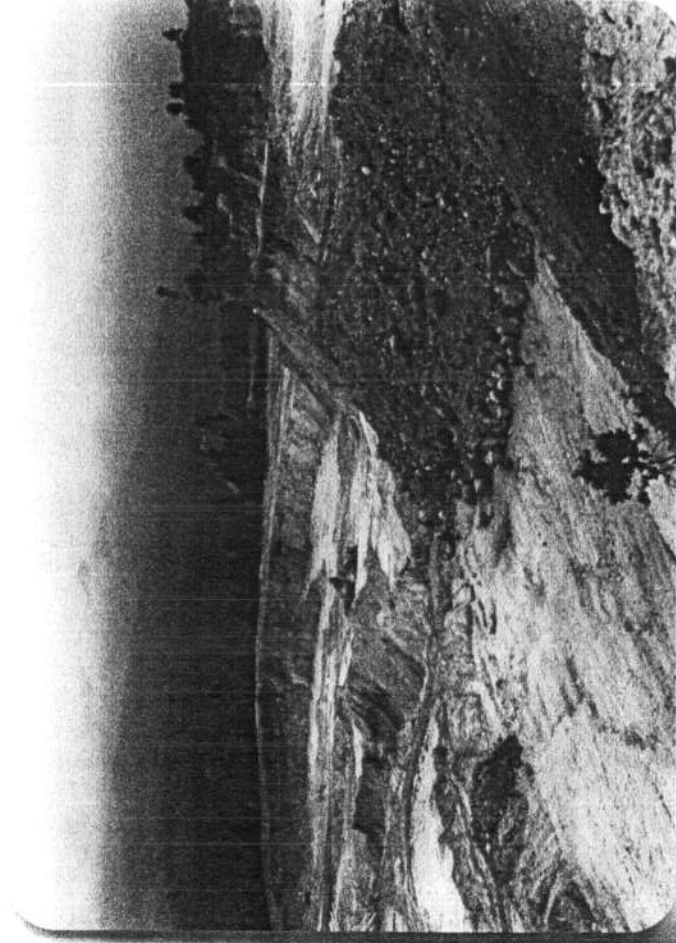


Explotación de caolín en canchales de Los Llagos, propiedad de ECTSA. El yacimiento es una formación arenosa - carbonífera en caolín y constituye uno de los Centros extractivos más importantes de esta región.



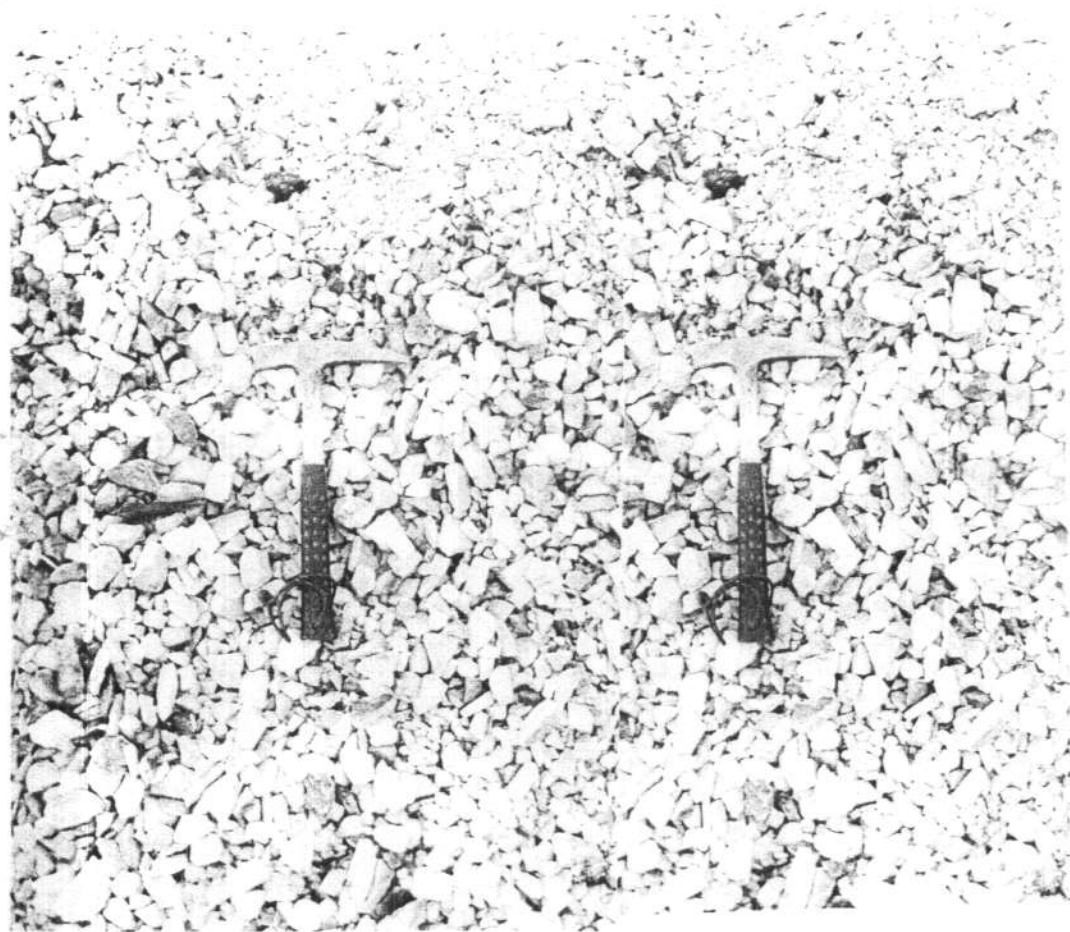


Formación detrítica de la rasa costera de Fos-Cabo Burela. Bajo esta yacen arenas caolinitíferas de grano muy fino.



Otro aspecto panorámico de las explotaciones de caolín de ECESA en Cangas de Fos. (Lugo).





Detalle estereoscópico de la gravilla blanca obtenida por machaqueo en la explotación del dique de cuarzo de la Estaca de Vares. Es una importante explotación, perfectamente mecanizada. Estación 2-1/AH-19.



Aspecto panorámico de la explotación del dique de cuarzo de la Estaca de Vares, destinado a la producción de áridos y piedras de construcción (piedra en rama). Estación 2-1/AH-19.

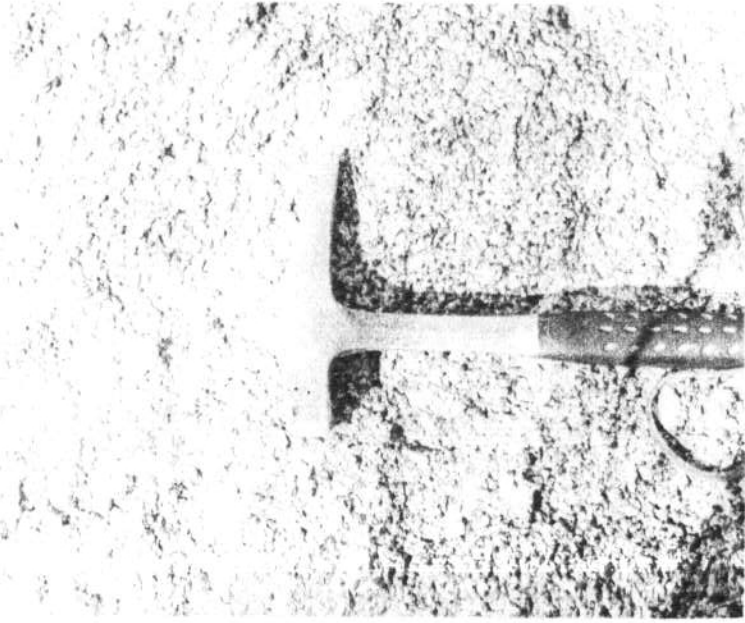


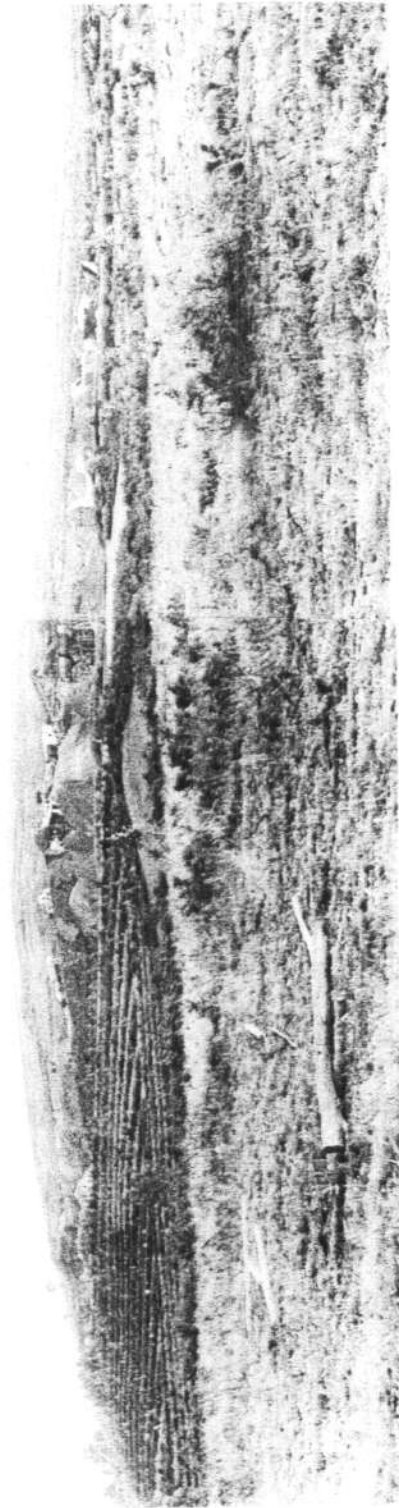
Acopios de grava y gravilla de diversa granulometría, en la explotación de cuarzo para áridos en la Estaca de Vares. Estación 2-1/AH-19.



Otro aspecto detallado del granito porfídico de Racamonde, al W de Puertos de García Rodríguez. Estación 2-I AH24

Detalle del granito porfídico macizo del Monte de Racamonde, al W de Puertos de García Rodríguez. Tiene diámetros típicos en gruesas bolas de varios m. de diámetro. Estación 2-I AH24

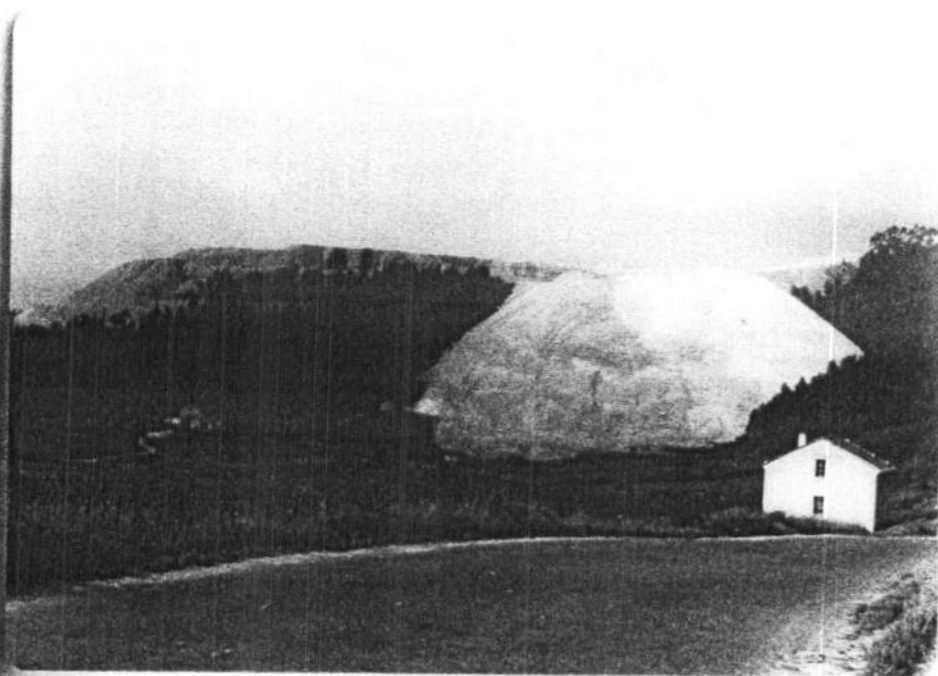




Instalaciones y acopios de material triturado, en la explotación de cuarcita en el sillarío de Estación 2-1/AH-25.



Panorámica de una cantera de caolín de E.C.F.S.A. en Burela, (Lugo). Estación 2-1 AH-143.



Aspecto panorámico de los acopios de la cantera de caolín de E.C.F.S.A. de Burela (Lugo). Estación 2-1/AH-143.



Otro aspecto del cuarzo cristalino del dique de Puentes de García Rodríguez. Estación 2-1/AH-15.



Cuarzo hialino filoniano en el dique de Puentes de García Rodríguez. Se explota como árido de machaqueo. Estación 2-1/AH-15.



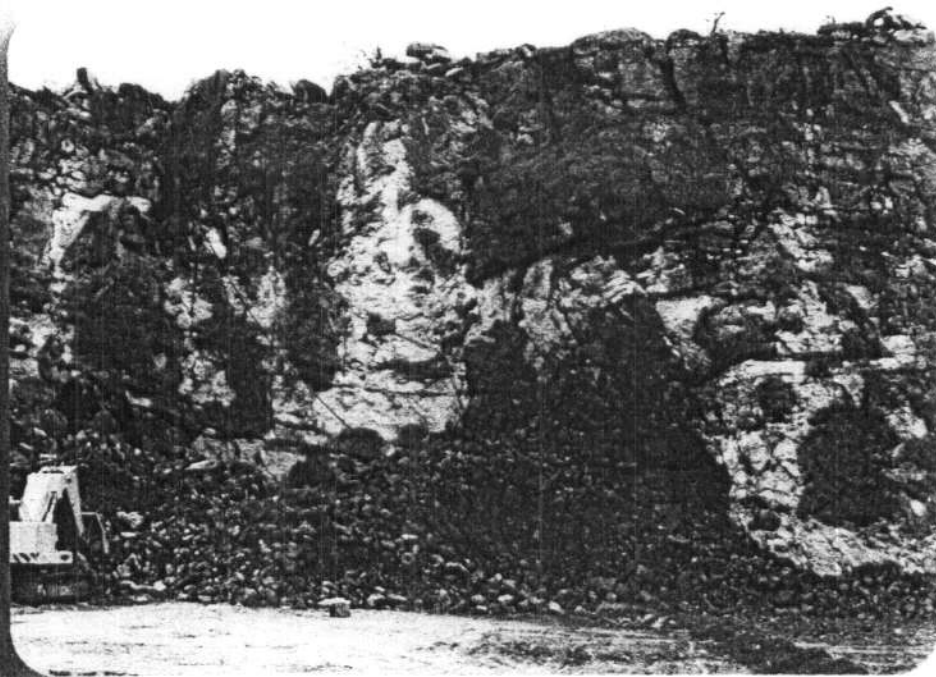
SIERRA DE OUTFIRO (LUGO). Granodiorita de Rozas. Roca granuda, con gruesos cristales de plagioclasa blancos, que le confieren un cierto matiz porfiroide. La zona está cubierta por un gruesa capa de alteración. La disyunción de esta granodiorita es en gruesas bolas. 2-2/AH-1.



Caliza de Cándana. Cantera caliza situada al NW de Meira. Es una caliza gris, marmórea, con vetado de calcita blanca y fajeado gris centimétrico en algunos tramos. La cantera cuenta con una importante instalación para el machaqueo y clasificación del material. 2-2/AH-2.



Otro aspecto del frente de extracción en la cantera de la caliza de Cándana, al NW de Meira. Alternan capas tableadas, con otras de potencia métrica o superior. 2-2/AH-2.



Estructuras visibles en el frente de extracción de la cantera caliza de Meira. Se trata de un pliegue cilíndrico, fallado y en dispositivo cabalgante. La fracturación de la serie dificulta la obtención de bloques adecuados para el serrado y pulido de planchas. 2-2/AH-2.



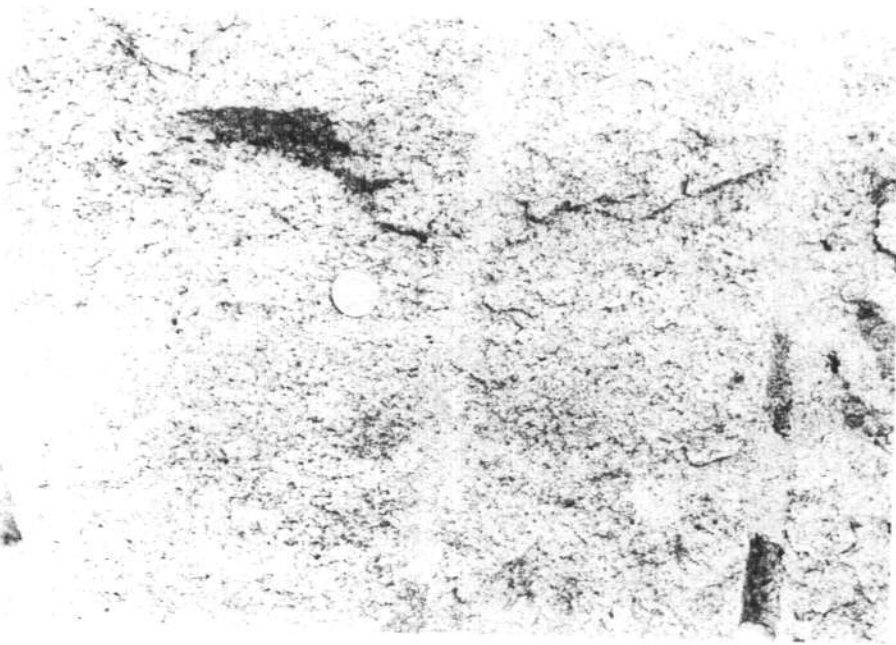


Detalle estereoscópico de un bloque del granito de dos micas dentro del macizo leucogranodiorítico de Friol. Estación 2-2/AH-7.

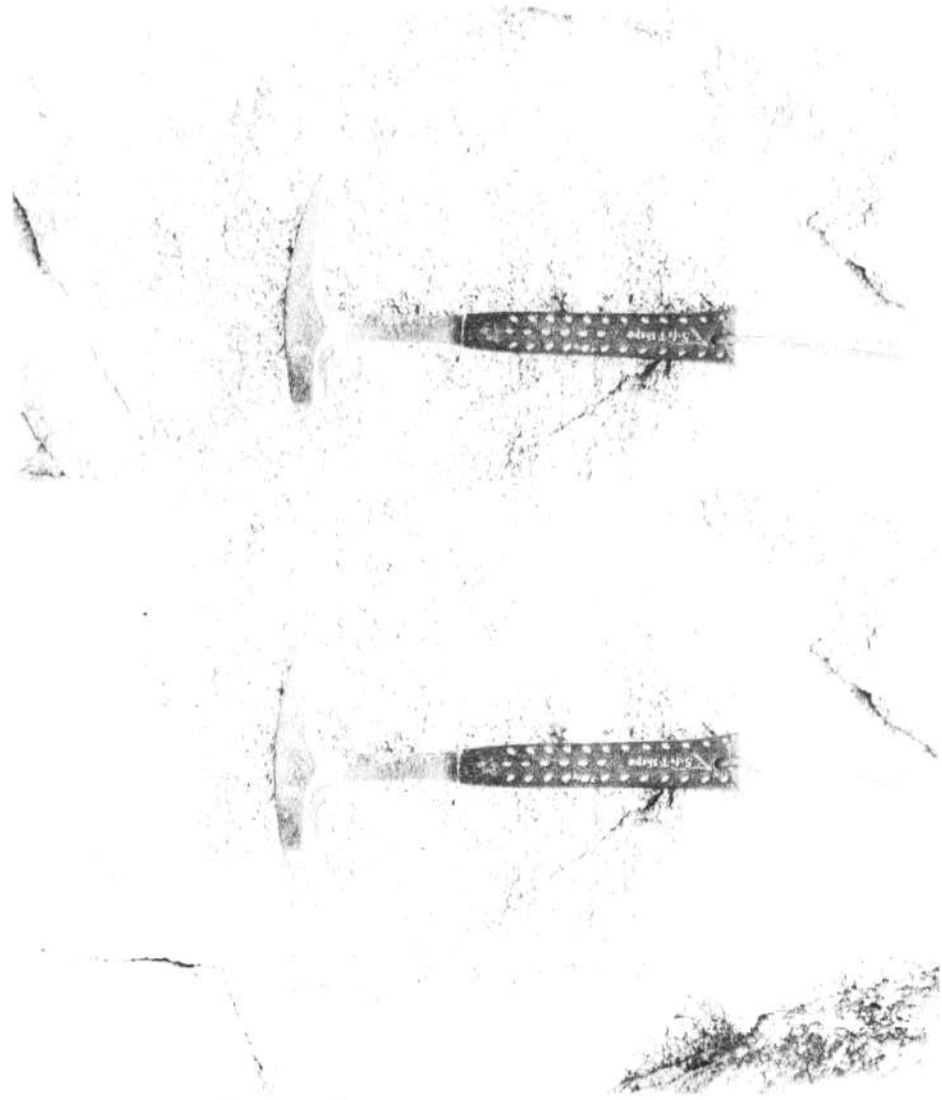




Granito de 2 micas utilizado para la talla de figuras. En el entorno de este afloramiento aparece la leucogranodiorita de Enol, Estación 2-2 AH-7.



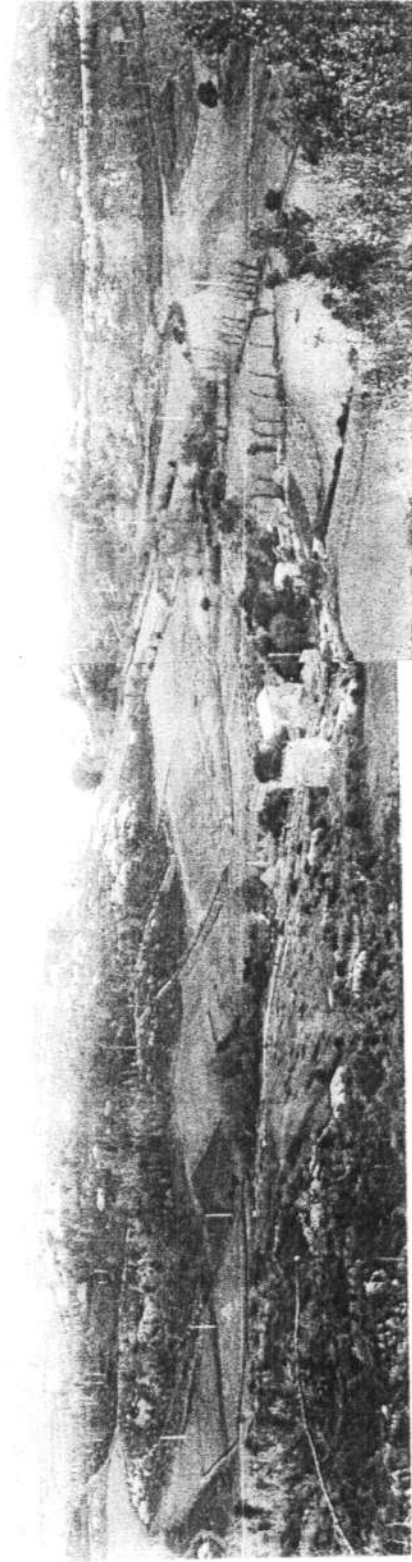
Granito biotítico de grano grueso o medio, bastante homogéneo. Hay moscovitas grandes aisladas. La fracturación de esta roca es relativamente importante. Estación 2-2 Ah-9.



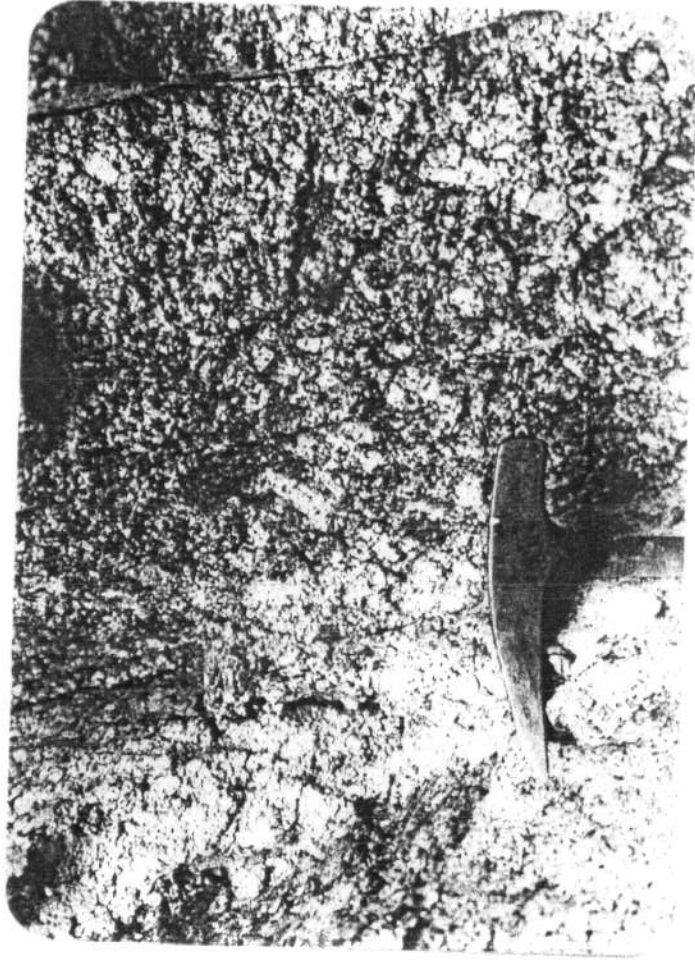
Detalle del granito porfídico de dos micas explotado en la zona de Artejo (S de La Coruña). En esta zona es menos ostensible el carácter porfídico de esta roca. Estación 2-2, AH-11.



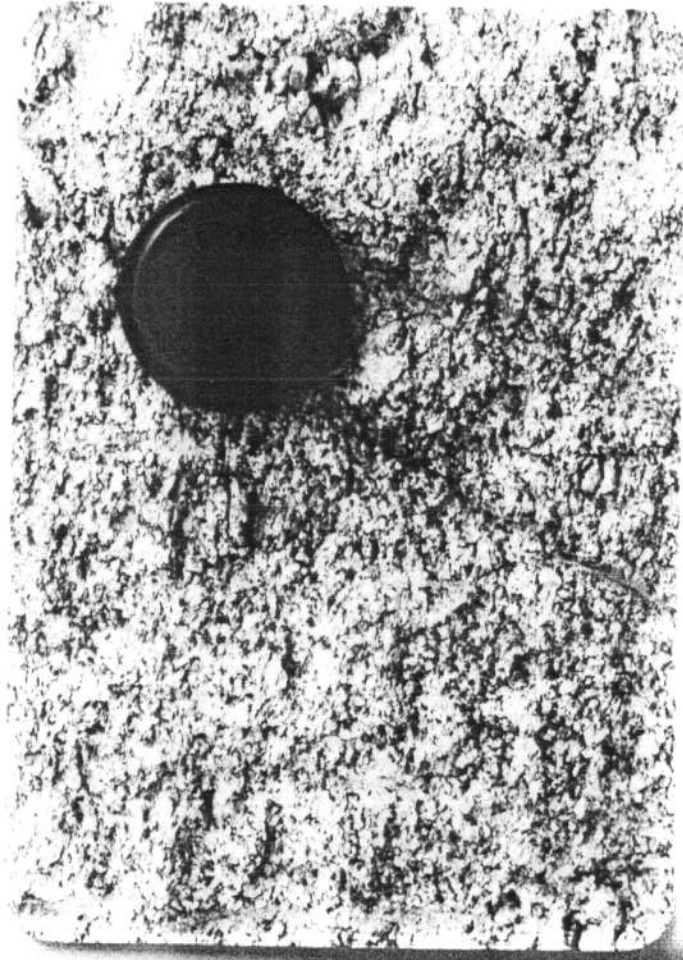
Aspecto panorámico de las instalaciones y frente de explotación de una cantera de granito en la zona de Artejo (S de La Coruña). Estación 2-2, AH-11.



Otro aspecto panorámico de los numerosos frentes de canchales abiertos en el granito de La Corona, algunos de ellos parados o con explotación intermitente. Estación 2, AH-10



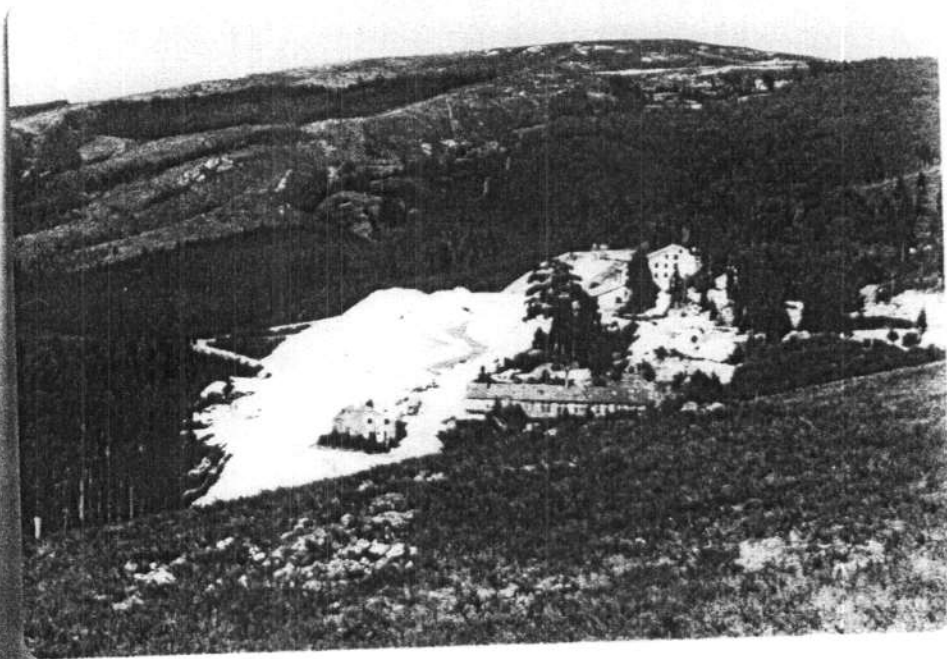
Granito porfídico biotítico de Palas de Rey. La alteración de la biotita y minerales férricos, típicos de pardo-amarillento las superficies expuestas a la meteorización. Estación 2-2/AH-8.



Granito de 2 micas de Palas de Rey. Rocas de grano fino y medio, muy alteradas en su capa vertical. A escala decamétrica presenta cierta inhomogeneidad textural. Estación 2-2/AH-6.



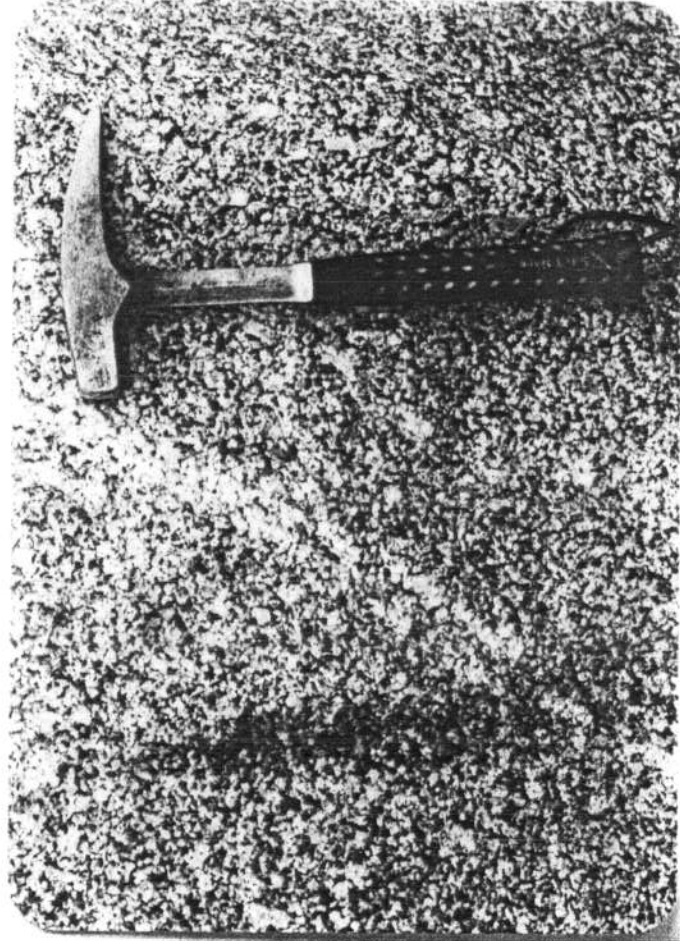
Panorámica de las escombreras de las gravas cuarcíticas en las minas de San Finx (Pontevedra) aprovechadas como áridos. Estación 02402/GT-22.



Otro aspecto de las escombreras aprovechadas como áridos en las minas de San Finx (Pontevedra). Estación 2-2/AH-22.



Granodiorita precóz de Parga. Cristales grandes de feldespatos calcosídrico y micas confieren a la roca una marcada orientación anisotrópica. La abundancia de biotita es manifiesta. 22. AH-8.

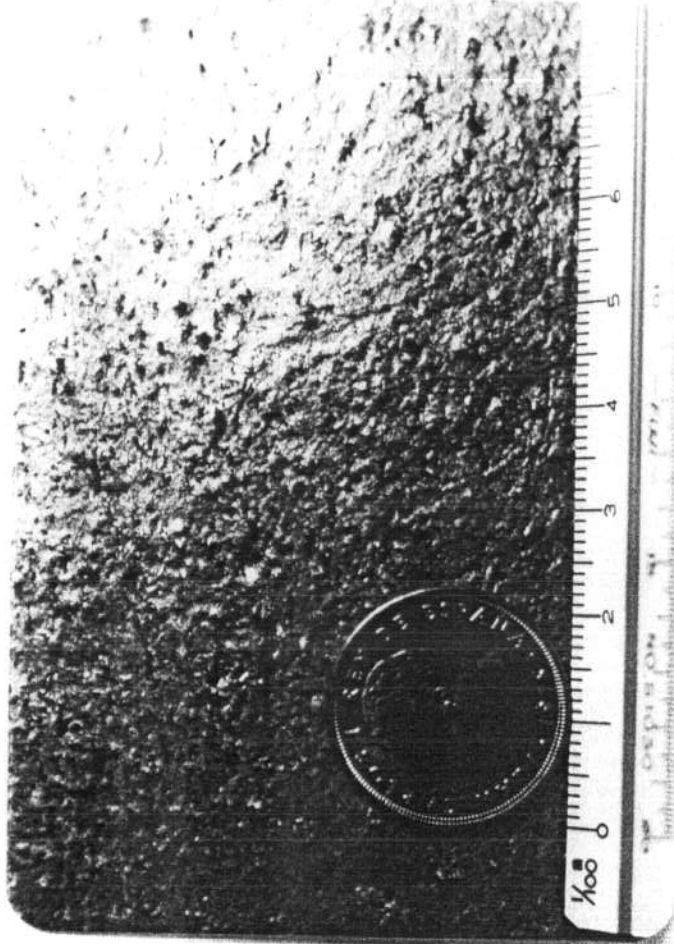


Otro aspecto de la granodiorita precóz de Parga. Destacan cristales grandes de feldespatos calcosídrico, y la extraordinaria abundancia de biotita. Su alteración tiñe de color pardo-amarillento las superficies meteorizadas.

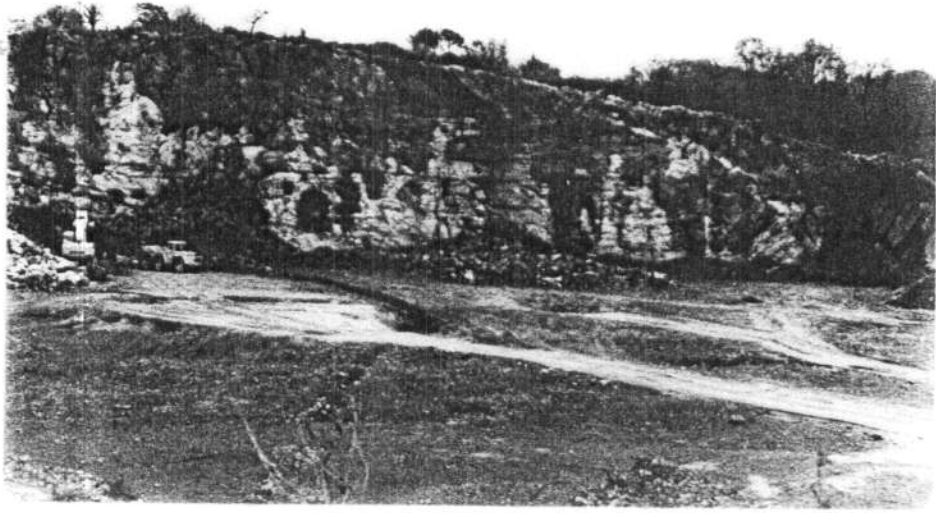




Exposición de arcillas en la Cuenca de Villalba. Cerámica de Roas (Lugo). Estación 02.02. G1-38



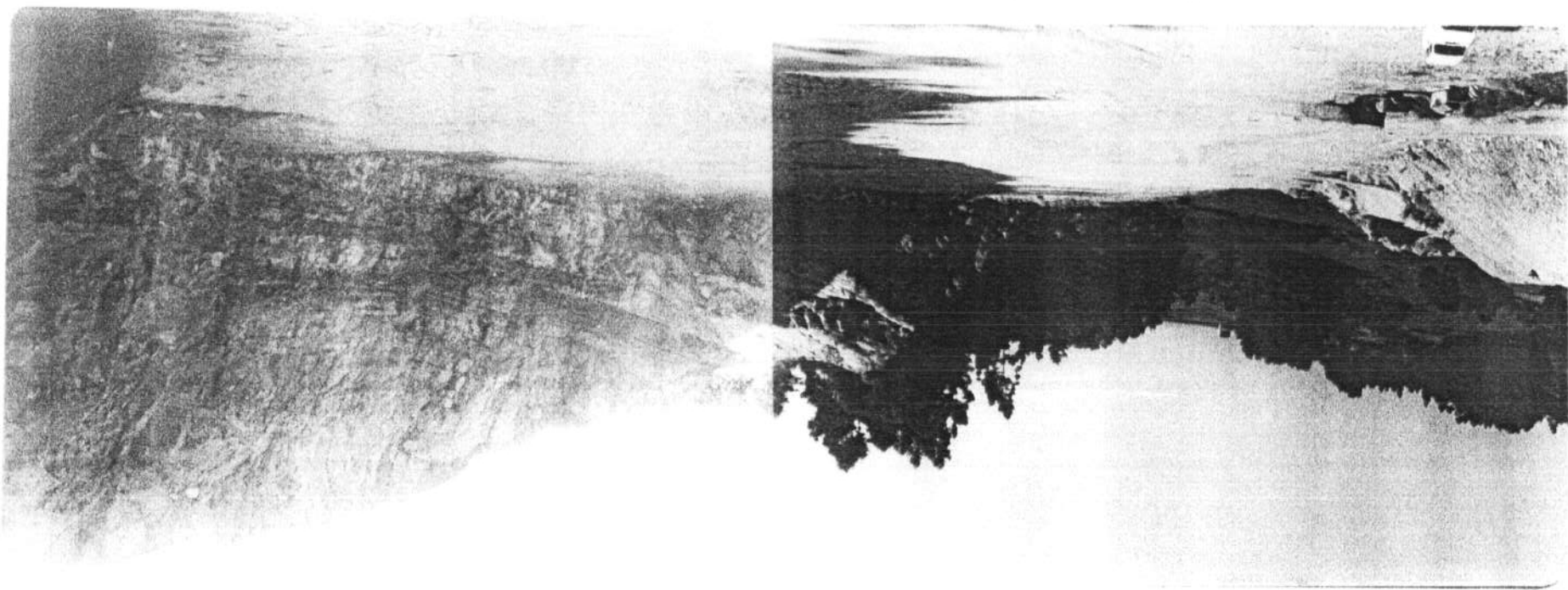
Detalle de las pizarras pelíticas del PC de Lugo (Serie de Villalba). Obsérvense los metablastos de biotita. Estación 2.2/AH-195b.



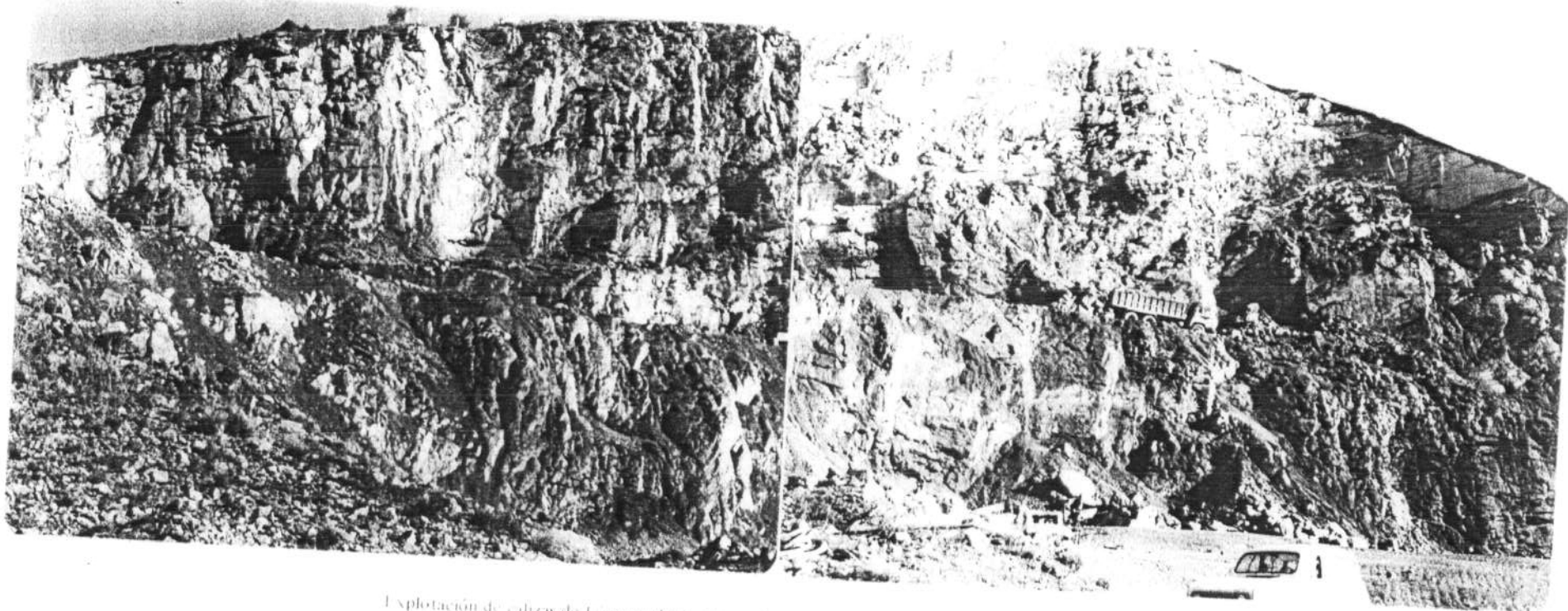
Frente de explotación de calizas en la zona de Meira (Lugo). Estación 2-2 / AH-43



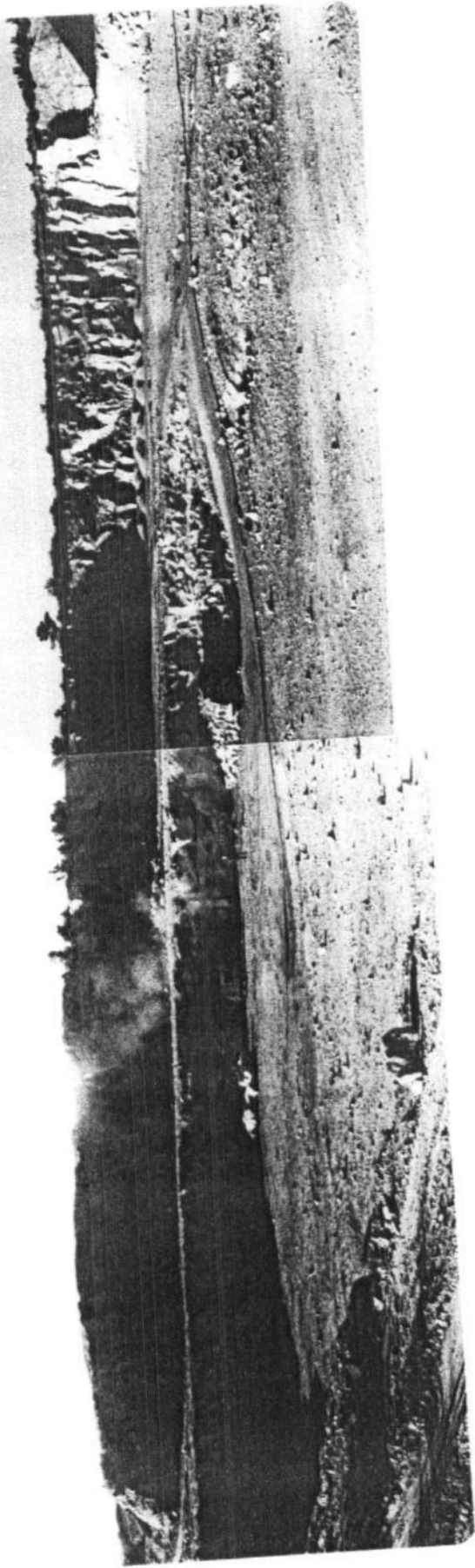
Cantera de granito y parte de las instalaciones. (La Coruña). Estación 2-2 / AH-4.



Fronte de cantera de calizas en el sector de Villanueva de Lorenzana (I.º m.º), Estación 2-2/AH-604



Explotación de calizas de Lencera (Lugo) Estación 2.2 VII 604



Cantiera de gramoio, Montesalguero (La Comuna), Estación 2, A.H. 600



Frente de explotación de granito en las canchales de La Corona, Estación 72. M.H. 169.



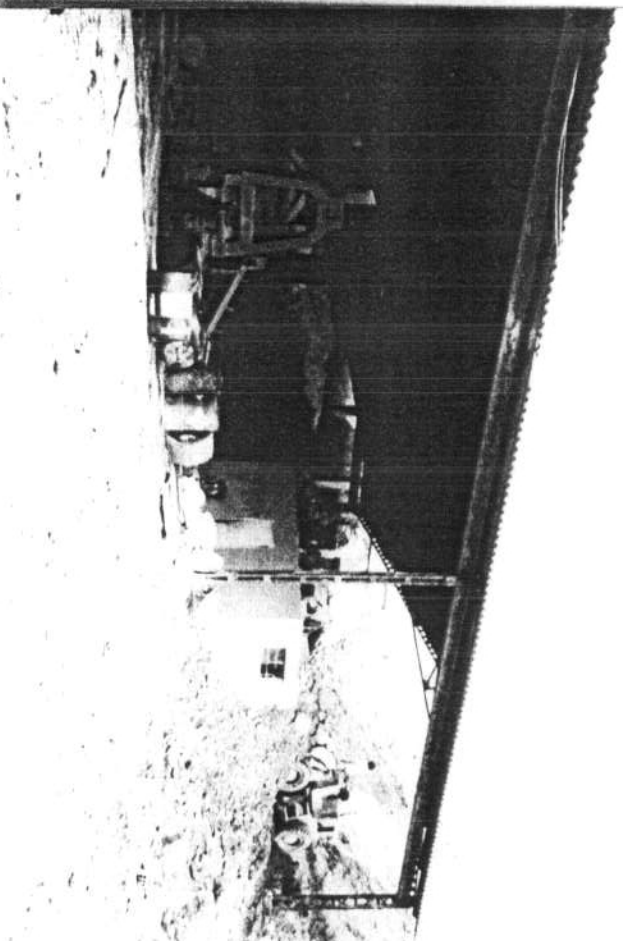
Vista actual de la explotación, en total abandono. Durante su funcionamiento, la producción se destinó a áridos de trituración para obras de infraestructura. (Cercanías de Forja). Estación 2-3 RN-136.



Detalle de la textura y diaclasado de la roca; se trata de un granito leucocrato de dos micas de grano fino a medio. Estación 2-3 RN-136.



Aspecto del frente de explotación de niveles arcillosos pertenecientes a las terrazas cuaternarias del R. Miño, al E. de Salsarriera de Miño. Tiene una cobertura de gravas de aluvios continentales. Estación 2-3, R.N-460.

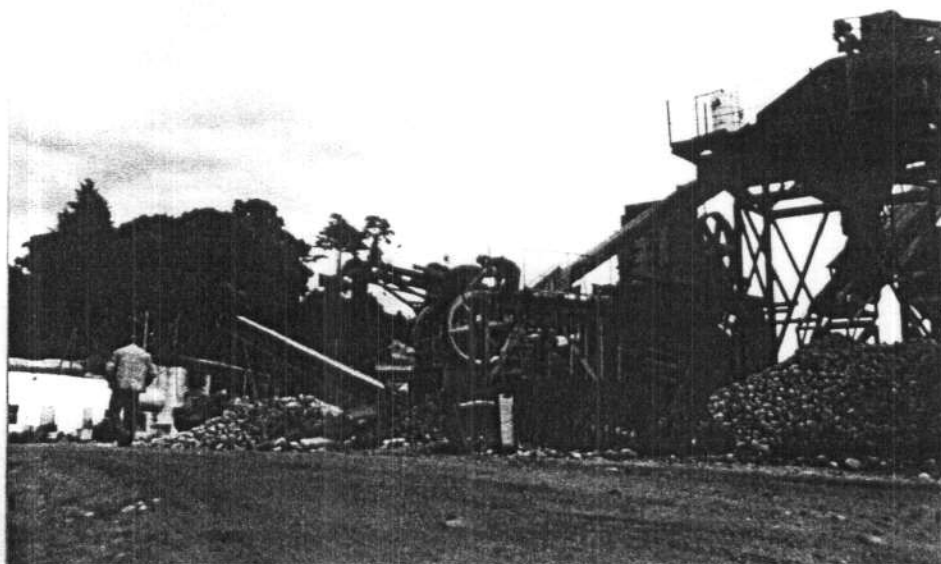


Vista parcial de las instalaciones, próximas a la cantera, donde se elaboran exclusivamente ladrillos. La planta tiene un grado de mecanización avanzado y la distribución de la producción es de ámbito regional. Estación 2-3, R.N-460.





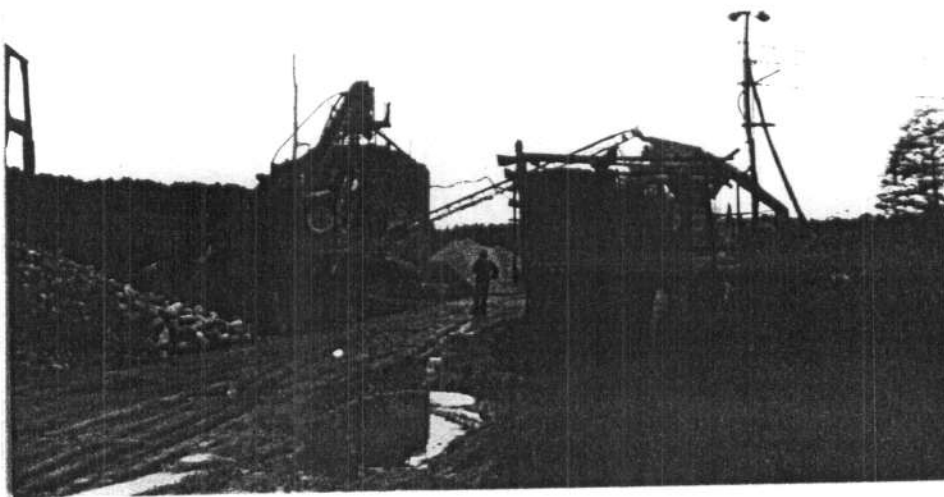
Panorama de la zona de aluvial dragado para la obtención de arenas y gravas. (Río Miño, al E. de Salvatierra de Miño, Estación 2+3 RN-459).



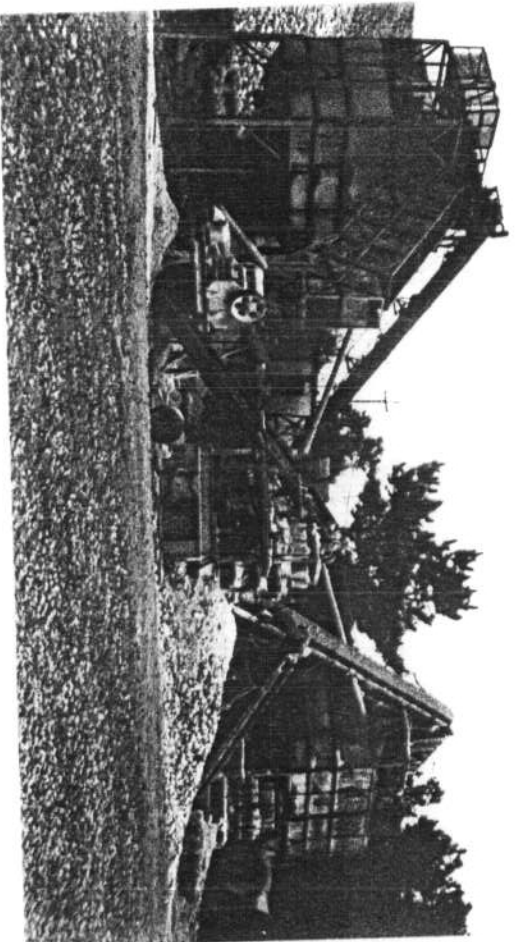
Instalaciones de clasificado de las distintas granulometrías comerciales. Estos materiales son aplicados tanto en la preparación de mezclas asfálticas (en frío y en caliente) como en hormigones. Estación 2+3/RN-459.



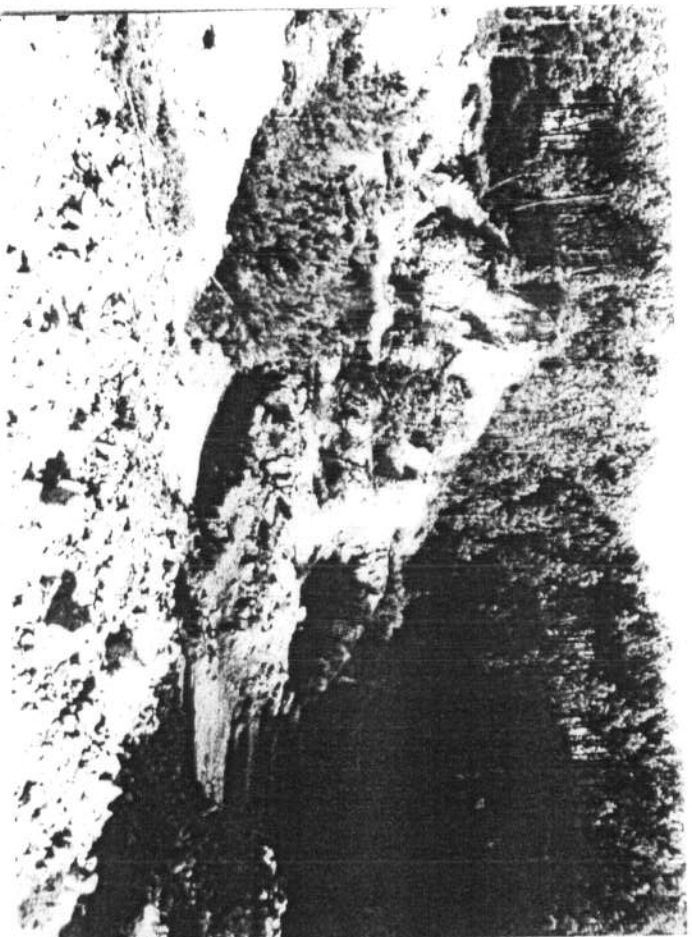
Aspecto de una explotación de gravas y arenas en el aluvial del Río Miño. El material se extrae del mismo cauce del río por dragado con una pala excavadora (Gravera Oleiros, junto a Salvatierra de Miño). Estación 2-3/RN-458.



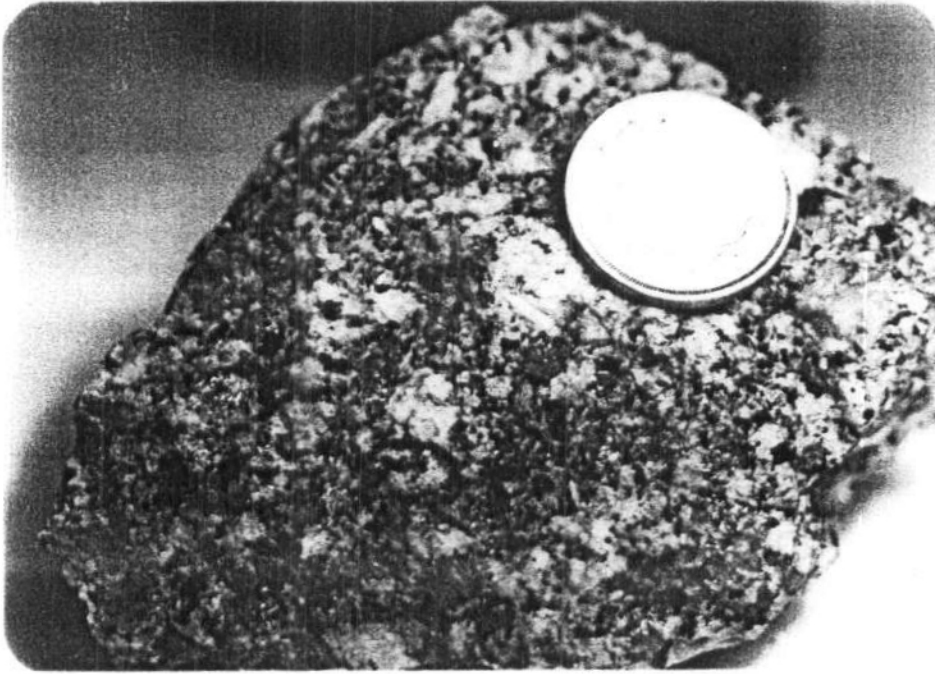
Vista de conjunto de las instalaciones de trituración y clasificación de áridos, instalada junto al mismo río. Estación 2-3/RN-458.



Instalaciones de muelinación y clasificación de aridos correspondientes a una de las gravas en activo en la zona de Minas y Aridos del Miño, al E. de Salvatierra de Miño. Estación 2-3/RN-461.



Explotación abandonada de arenas y caolín procedente de alteración meteorítica de granitos de los micas, al N. de Puenteiras. Las reservas están prácticamente agotadas. Estación 2-3/RN-327.



Detalle textural del granito porfídico-biotítico del Faro de Avión (Sierra del Suido), Estación 2-3/AL-14.



Vista panorámica del entorno de una cantera abandonada en las proximidades de Sejido. La roca explotada como árido de trituración era granito de dos micas de grano medio, Estación 2-3/RN-157.

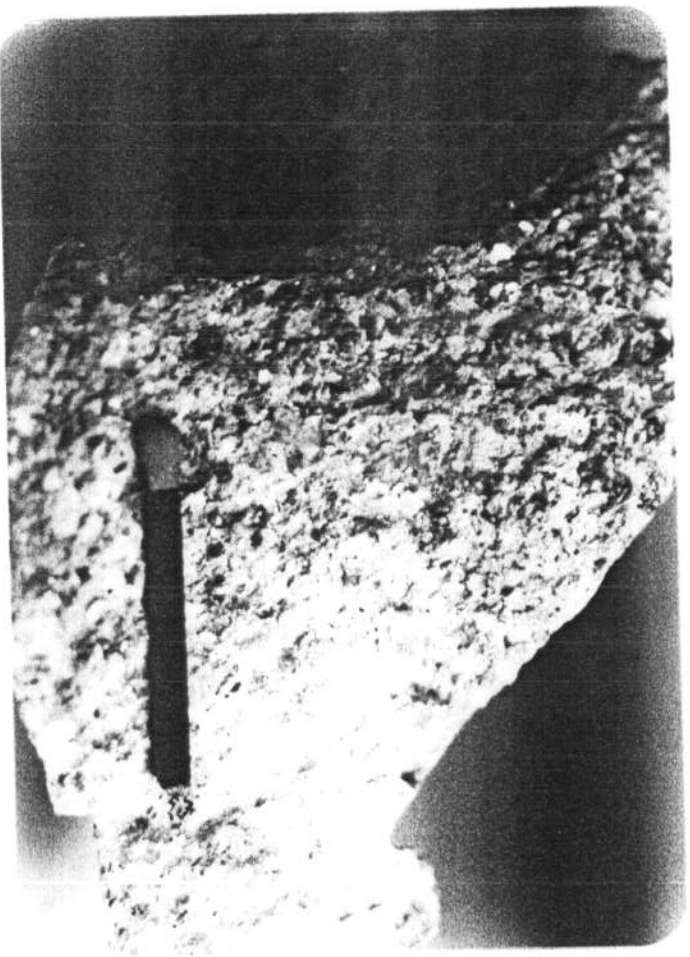
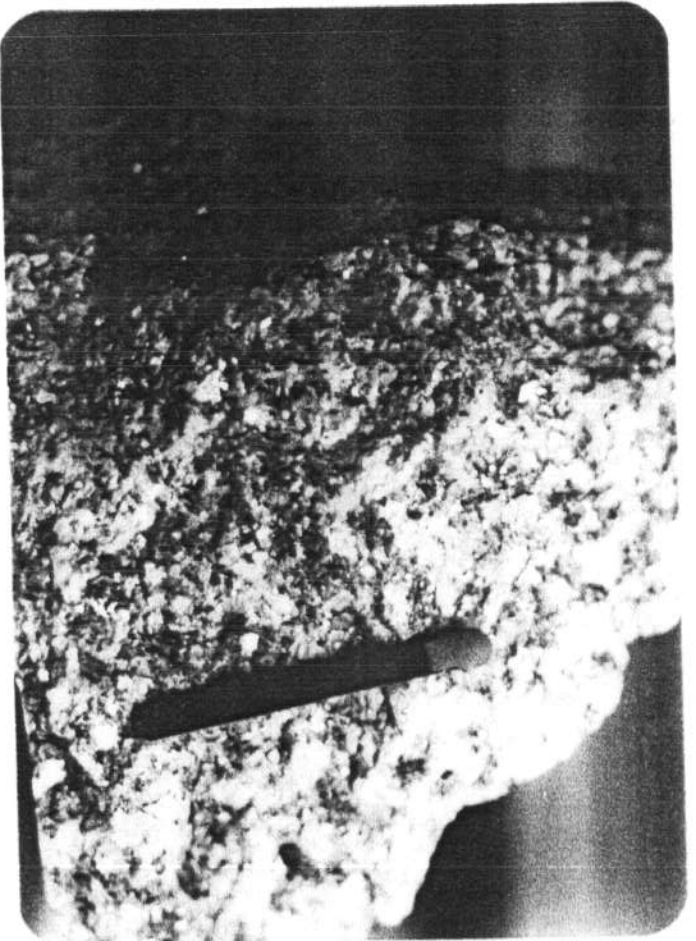
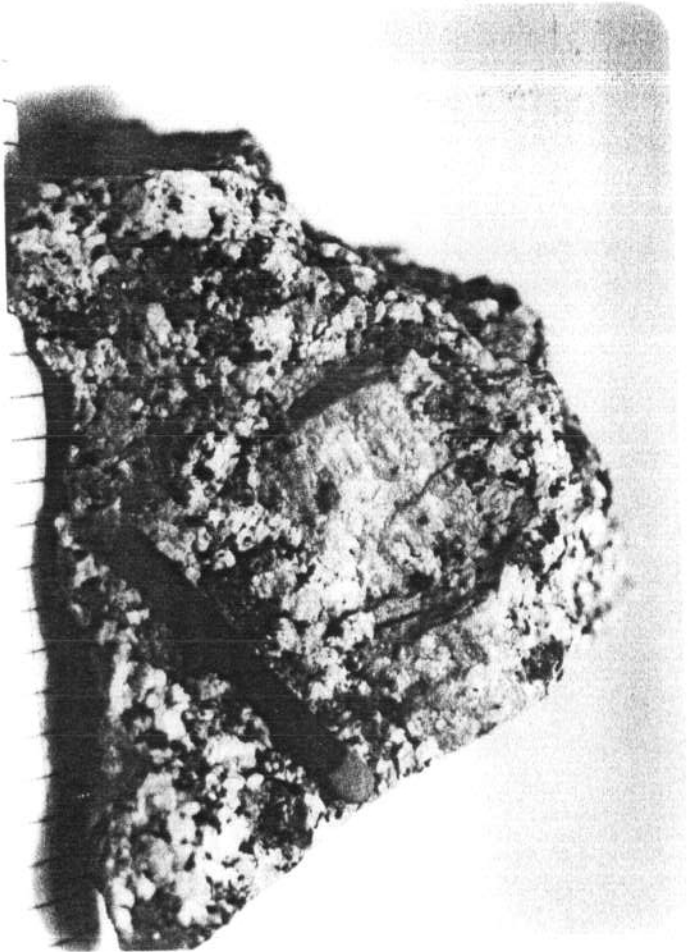


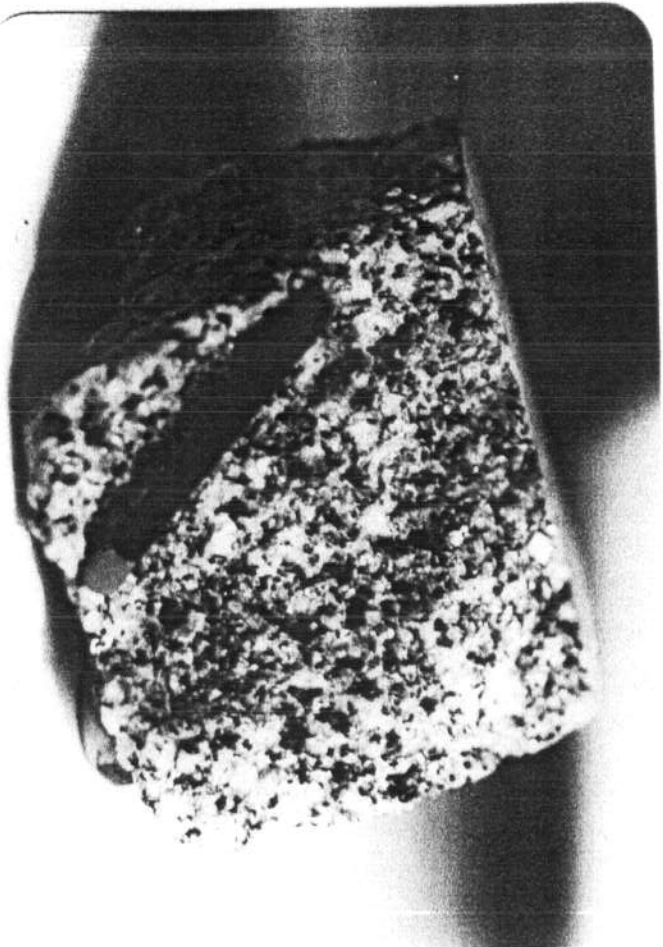
Fig. 1. - Fotografía microscópica de mica orientada. La orientación de las micas no es siempre visible.  
E. A. 7.1. AH.13.



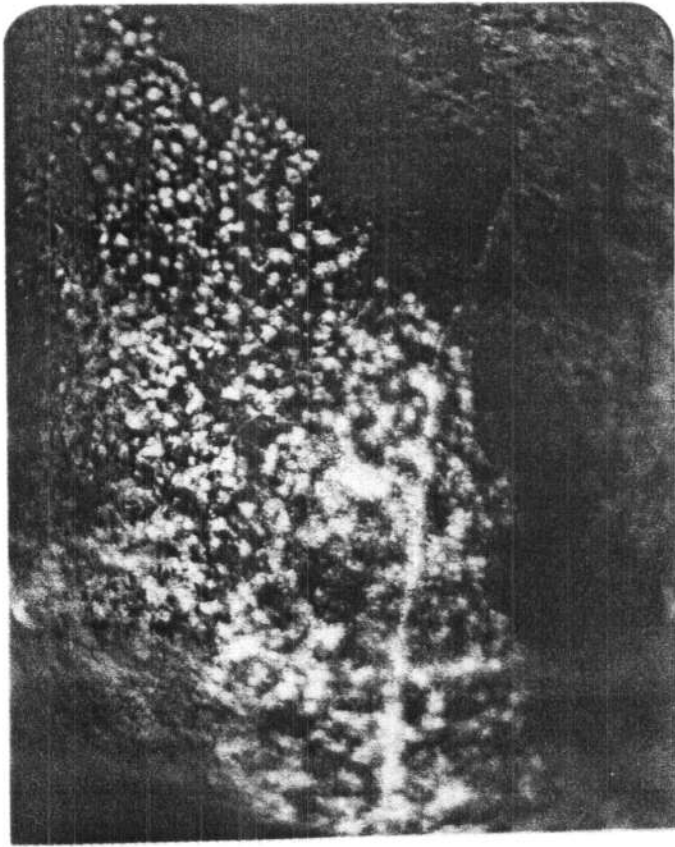
Granito de dos micas, a veces orientado, en las proximidades del Embalse de Frieria. Color  
virado a sepia. Estación 2.3. AH.13.



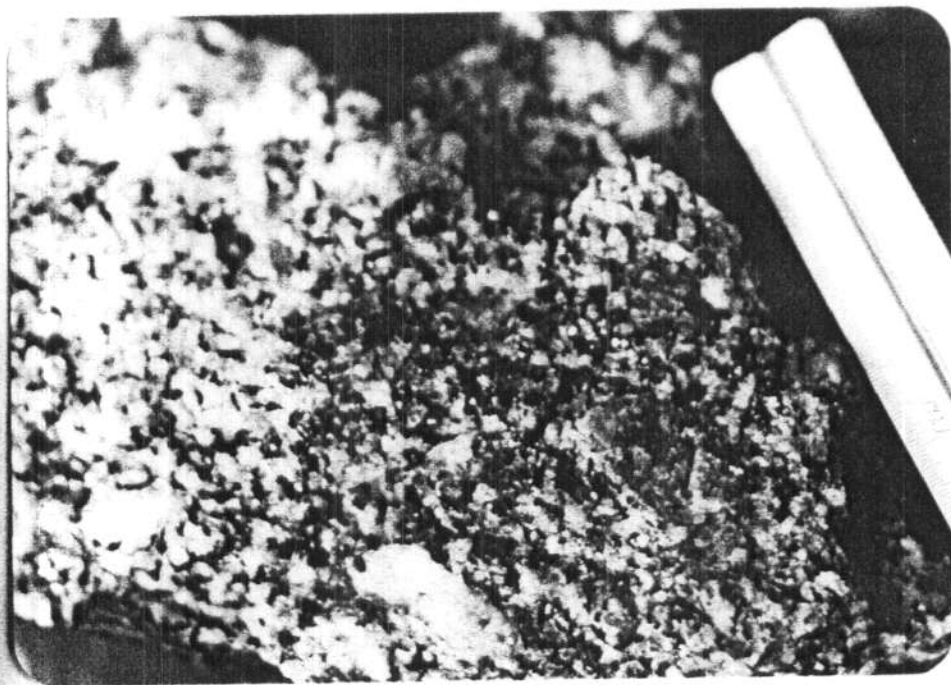
Fotomicrografía de feldespato en el llamado "granito de Ferrinho". Color virado. Estación 2.3/AH-10.



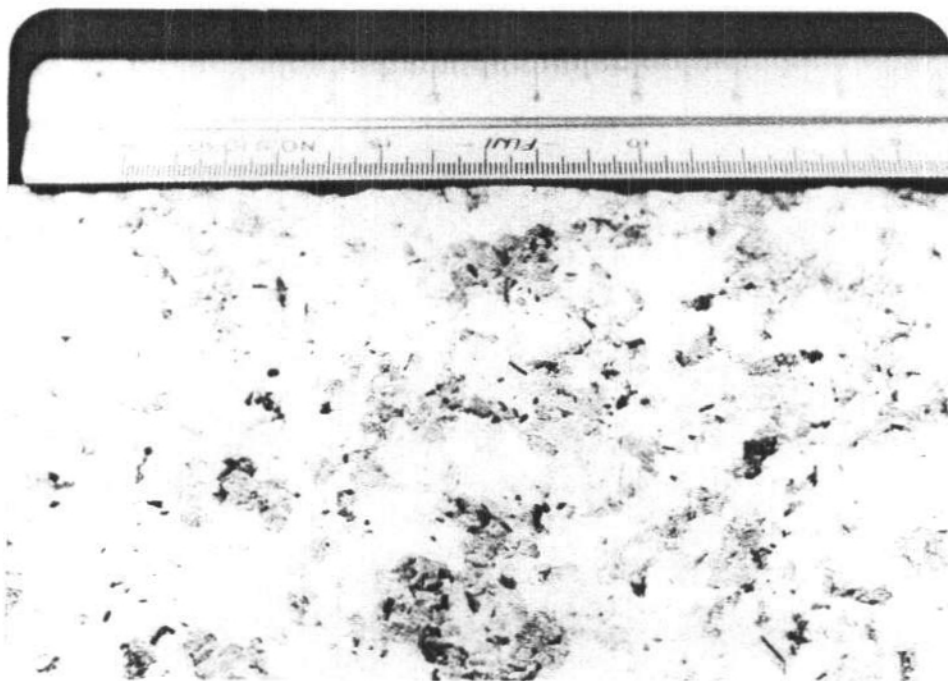
Aspecto textural (color virado) del granito de Arbo, a poca distancia del cauce del río Miño. Estación 2.3/AH-11.



Anfibolitas del río Asneiro (N de los Montes del Testeiro). Estación 2-3/AH-6.



Textura y aspecto del granito biotítico de Cerdedo. Estación 2-3/AH-7.

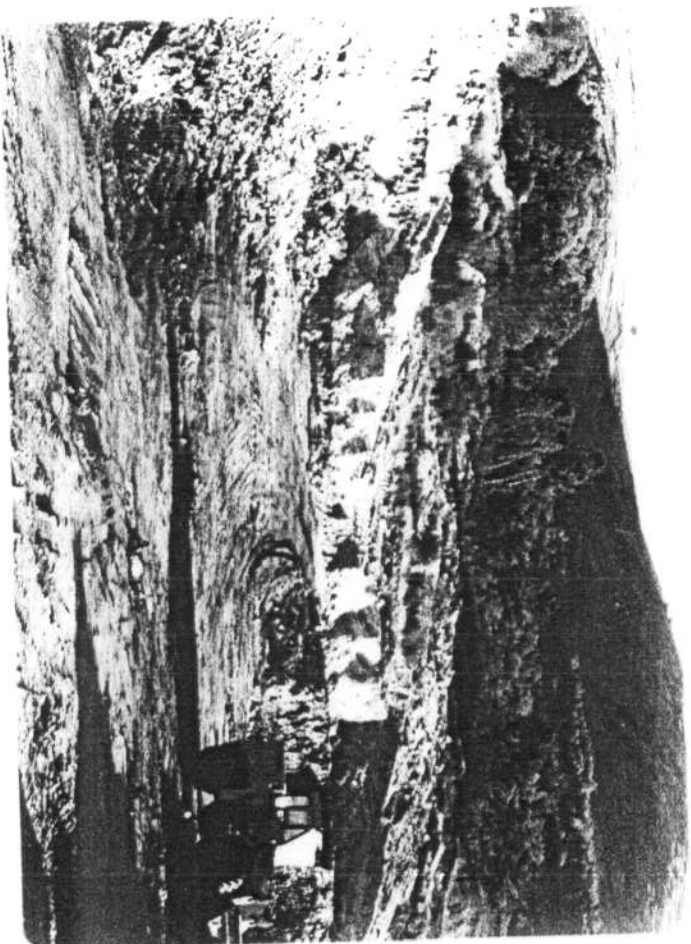


Detalle del granito de dos micas de Nogueira de Ramuin. Estación 2-3/AH-3.

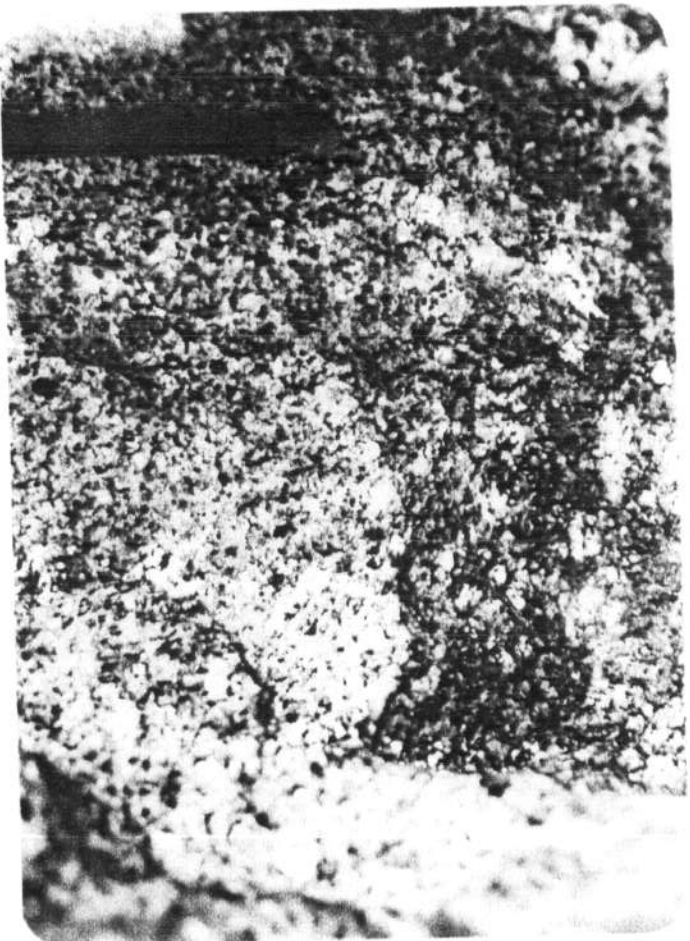


Otro aspecto de detalle del granito de dos micas de Nogueira de Ramuin. Estación 2-3/AH-3.

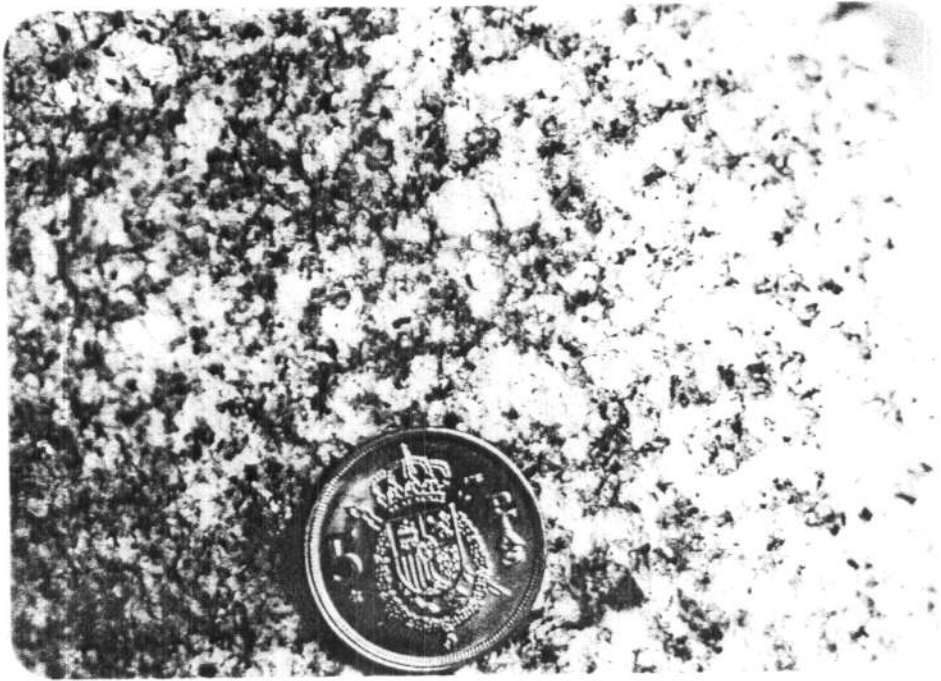




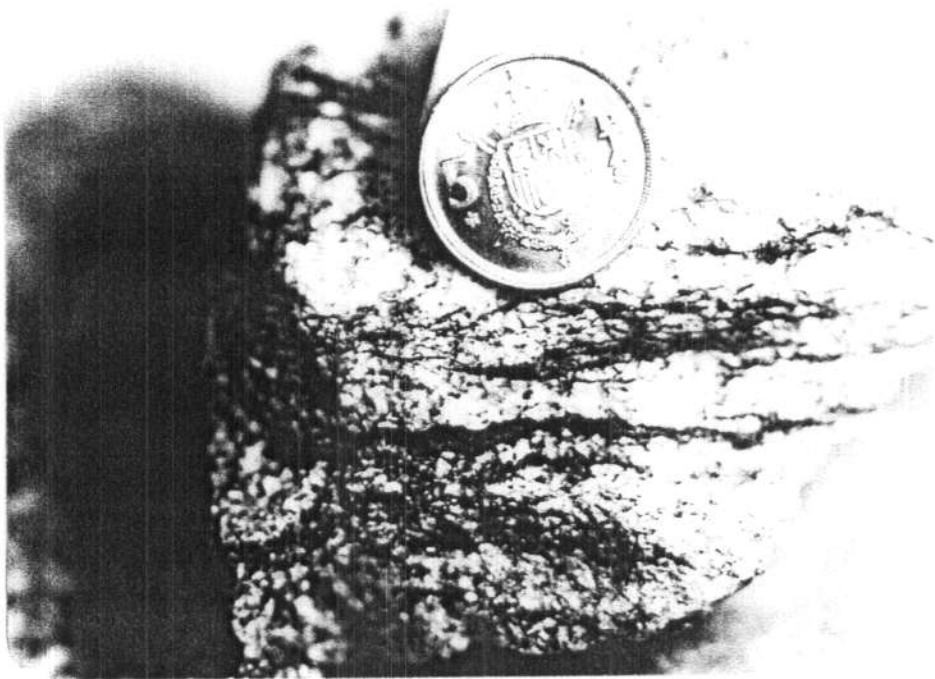
Aspecto parcial del frente de cantera de arcilla en la zona de Masada - Junquera de Espadanedo (Orense)



Aspecto detallado de las migramitas del borde S del macizo granítico de Manzameda. Estación 2-3/AH-15.



Asps. 2. - en muestra de mano del granito de dos micas de Manzaneda. Estación 2-3/AH-16.



Otro aspecto de las rocas migmatíticas del SW de Manzaneda. Estación 2-3/AH-17.



Fig. 1. Aspecto de detalle de la granodiorita del borde de S.W. del macizo granítico de Manzaneda. Escala: 2-3. AH-18.

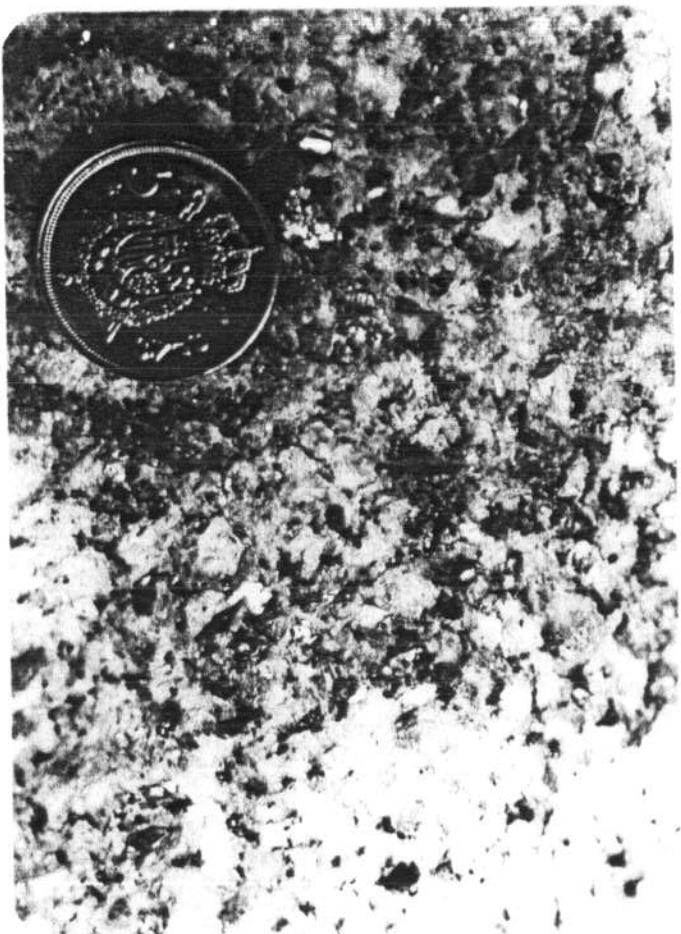
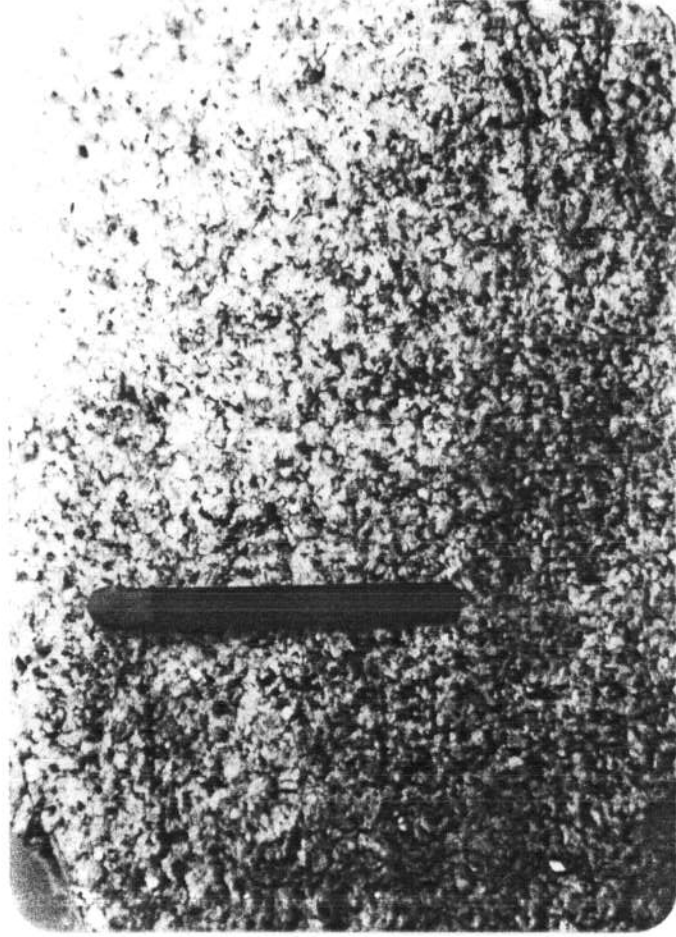


Fig. 2. Aspecto del granito de dos micas del macizo de Manzaneda, en la zona de Cabeza de Manzaneda. Escala: 2-3. AH-19.



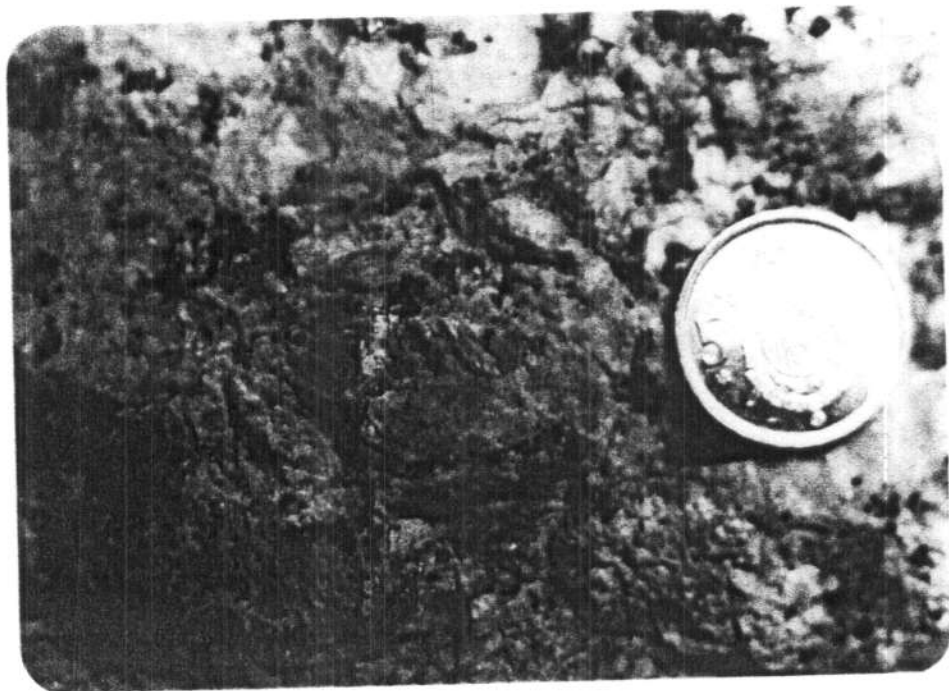
Otro aspecto de las granodioritas precoces de Majada Cerweira (Marzamedia). Estación 2-3 AH-11.



Detalle del granito de dos micas de Salvatierra de Miño. Estación 2-3 AH-22.



Folios dentro de los granitos de dos micas de Salvatierra de Miño. Estación 2-3/AH-23.

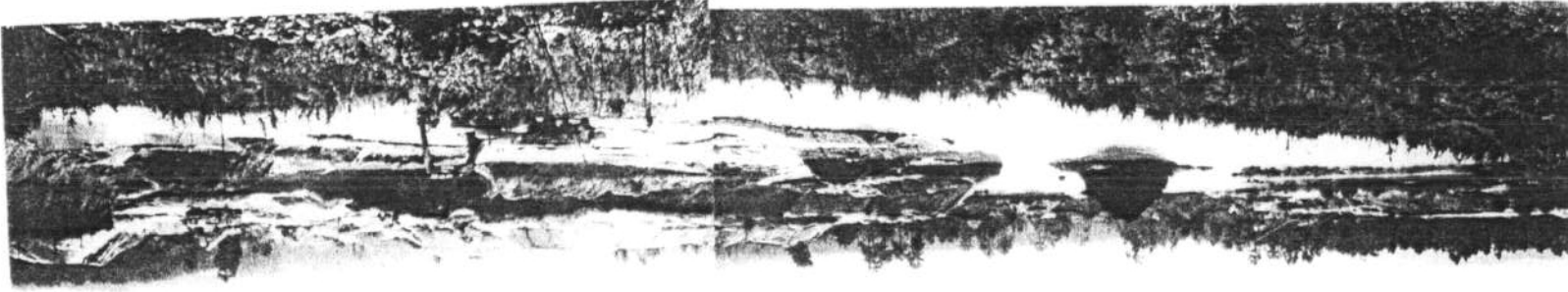


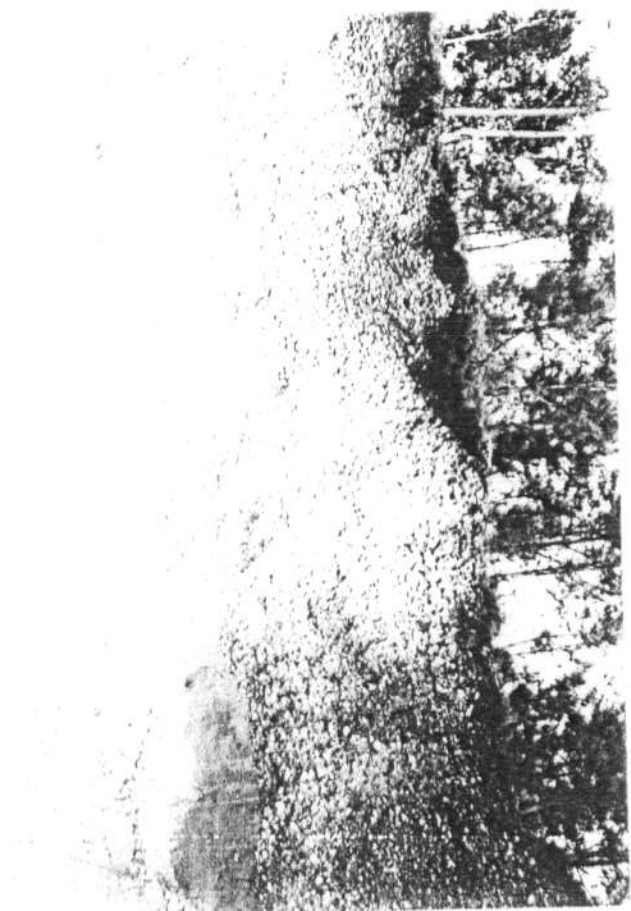
Detalle de la muestra de mano de la granodiorita de Porriño. Estación 2-3/AH-1.



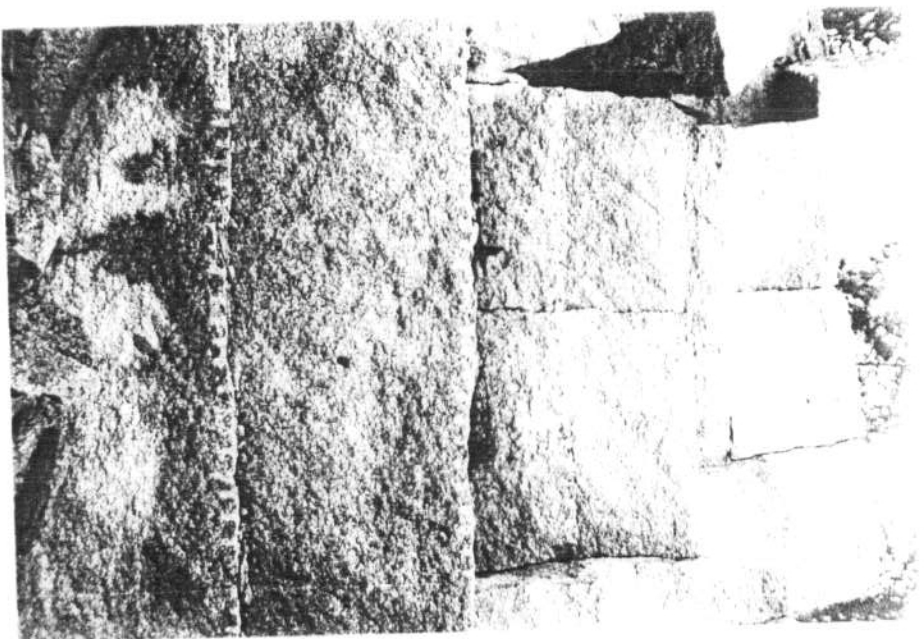
Oroo aspecto de la granodiorita de Porrño ("granito de Porrño") que está siendo intrensamente explorado. Estacion 23 AH-2.

Explotación de arenas y gravas en el cauce del Río Mingo en la zona de Salvasterra. Sta. María de Larrés. Estación 2,3/AH.24



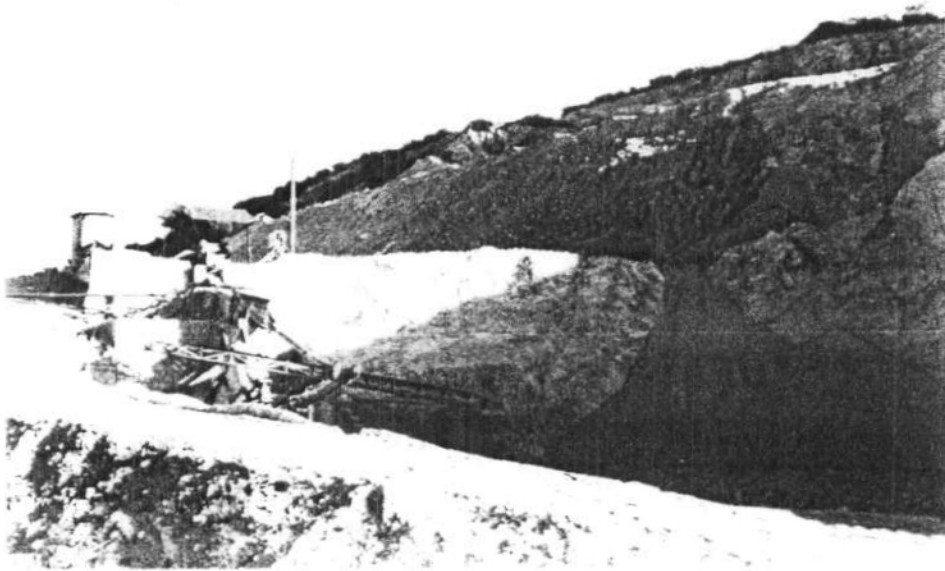


Epistilas del Mino, con episodios herqueanos, micenos, linosos, frente de seculares conlombrianos porfiricos.  
Puentearrens, Estación 23. AH-26.

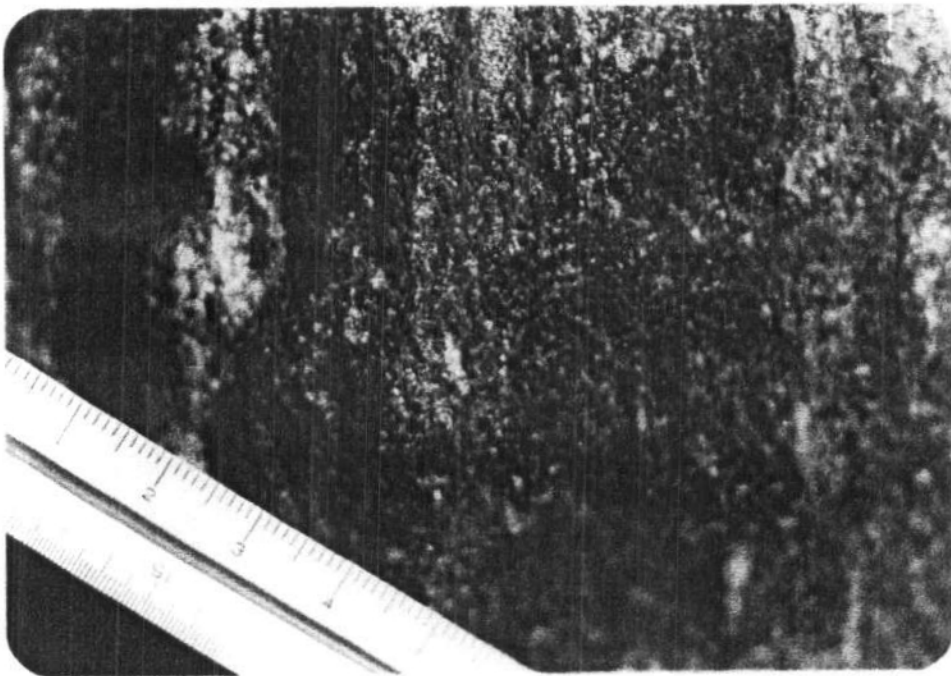


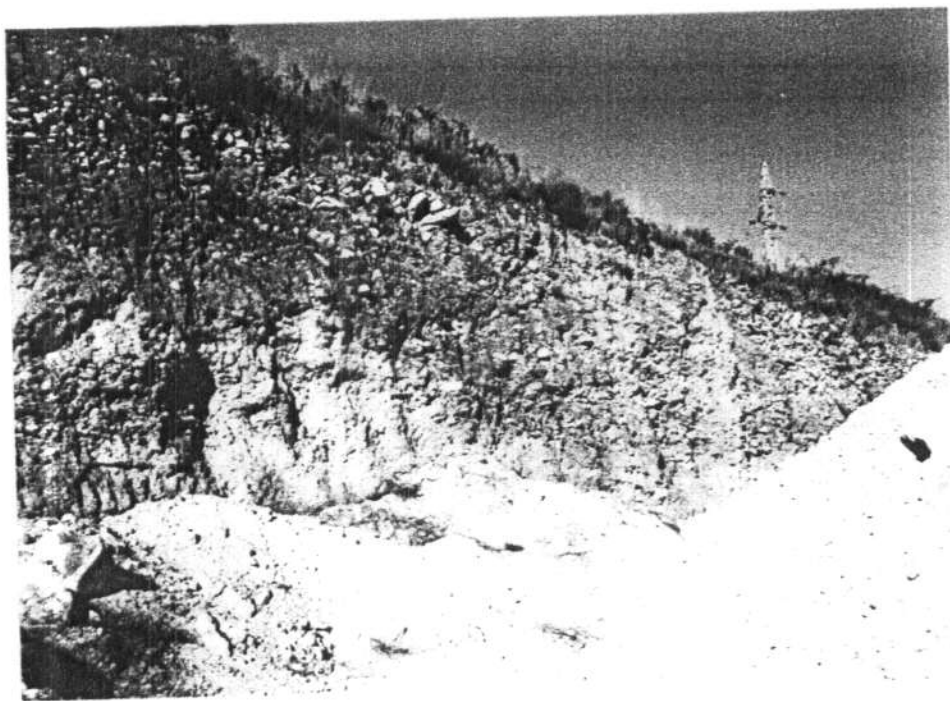
Frente de explotación de una granodiorita porfirica, biotitico-anfibolica,  
cerca de S. Mateo de Oliveira, al Sur de Puentearrens.  
Estación 2-3. AH-25.





Aspecto general del frente de explotación e instalación de machaqueo, en un yacimiento de cuarzo (lechoso) próximo a Viana del Bollo. El material actualmente beneficiado es triturado y destinado a fabricación de pretensados, bobedillas y bloques huecos hormigonados. (Cra. de Viana del Bollo a La Gudiña). Estación 3-3/RN-293.

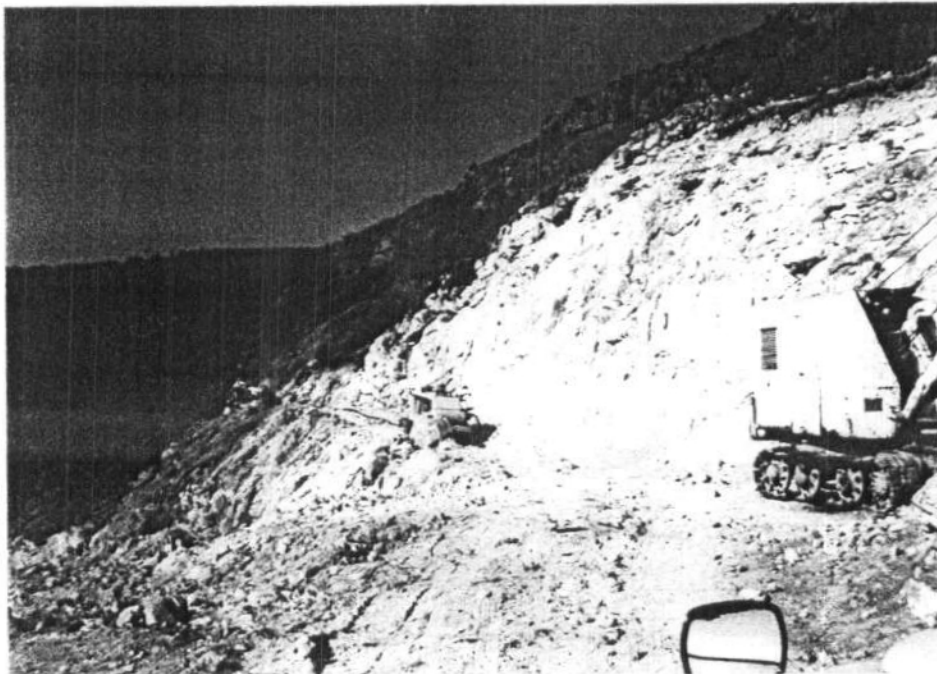




Detalle de la cobertera (de 1 a 2 m. máximo) de gravas poligénicas que recubre el yacimiento de arcillas explotado en las cercanías de El Barco de Valdeorras. Estación 3-3/RN-112.

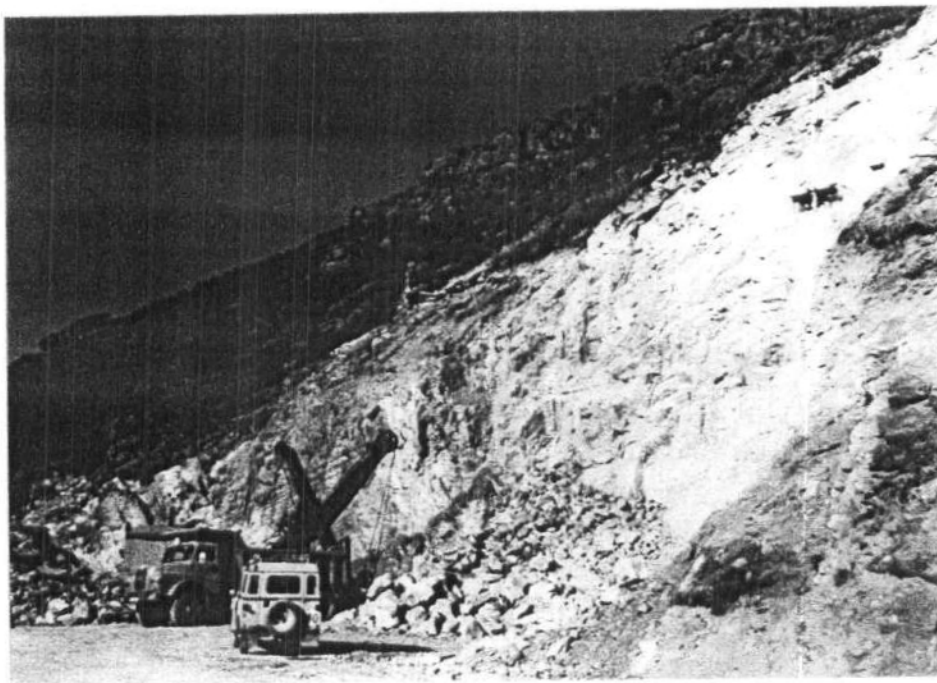


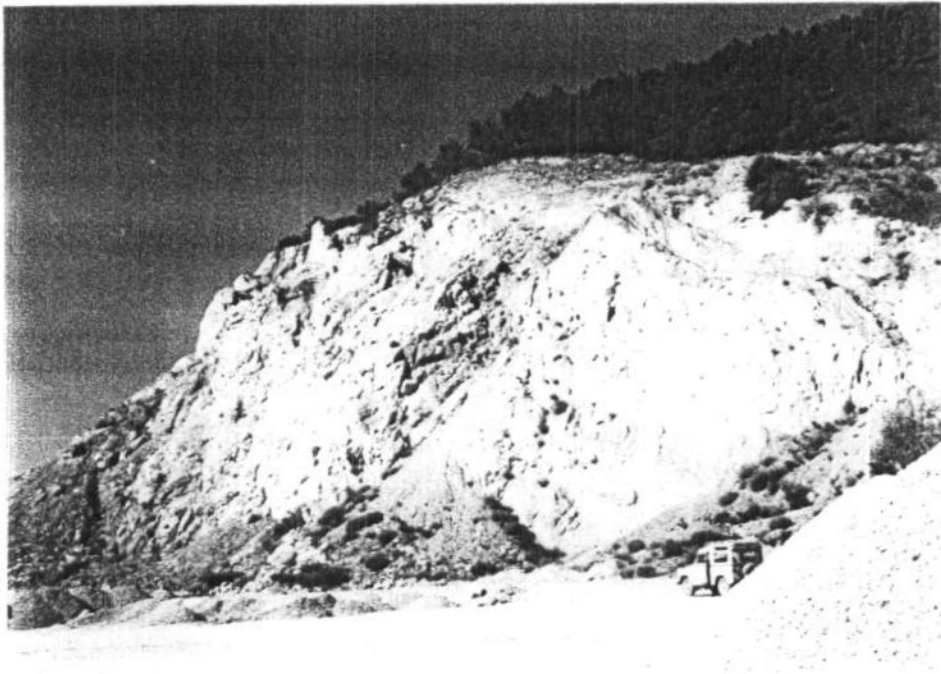
Panorama general de la explotación de arcillas para cerámica situada al SW de La Rúa. La explotación presenta ciertas dificultades por la potencia de la cobertera y las intercalaciones arenosas. Estación 3-3/RN-125.



Arriba: Bancado superior en el frente de explotación de una cantera de granito de dos micas, destinada a la producción de áridos de trituración con consumo local, en el sector de la construcción. Estación 3-3/RN-600.

Abajo: Estado actual de la explotación citada situada en la carretera de La Rúa a Quiroga, cerca de Roblido. Estación 3-3/RN-600.



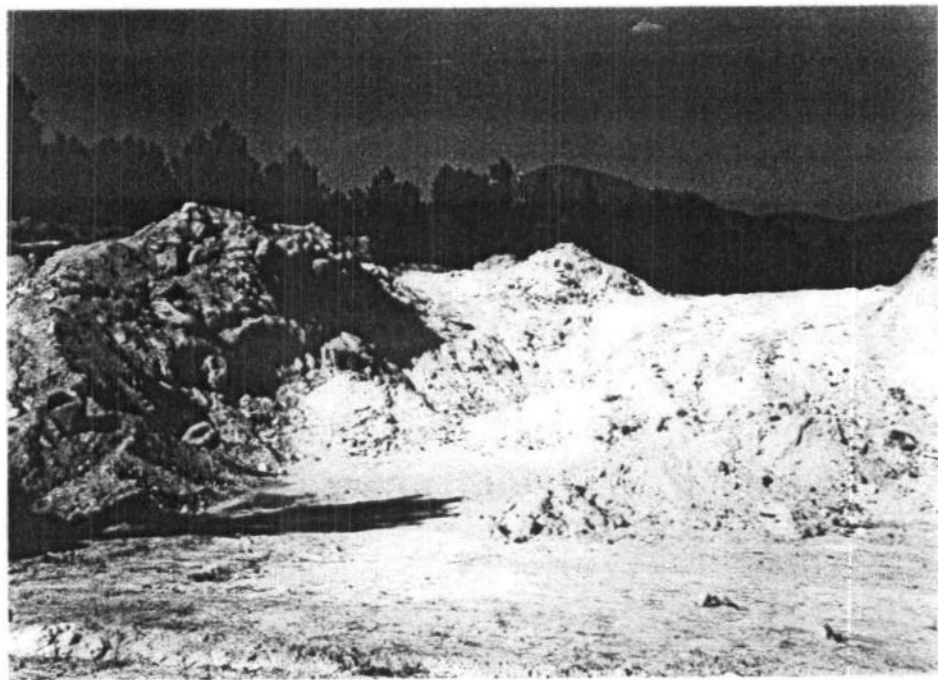


Vista del frente antiguo (foto superior) y del actualmente en explotación (foto superior) de una cantera situada al N de El Barco de Valdeorras, donde se explotan calizas del Ordovícico. El material es triturado a pie de cantera y destinado a la fabricación de cal, utilizada posteriormente en la producción de carburo cálcico. Estación 3-3/RN-110.





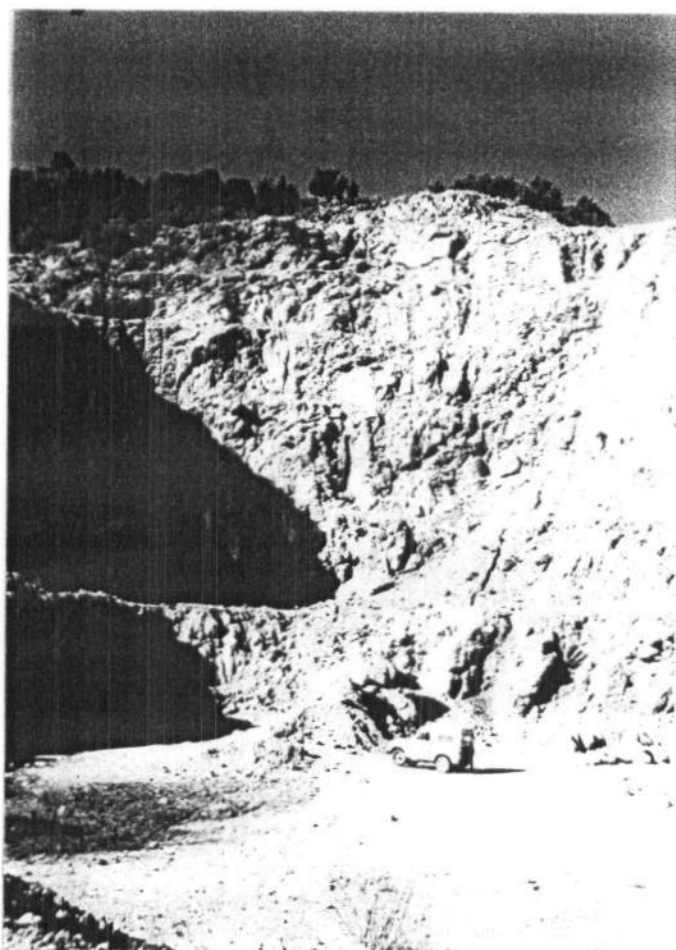
Estado actual de graveras abandonadas en el cauce del río Sil a su paso por las proximidades de Silas de la Ribera. (Cra. de Ponferrada a Orense). Estación 3-3/RN-172.



Explotación abandonada, de pequeñas dimensiones, en granitos de dos micas; el material beneficiado comprendía tanto roca fresca como granito alterado por meteorización, siendo utilizado como préstamo en obras locales (Cra. de La Rua a Roblido). Estación 3-3/RN-116.



Explotación abandonada de gravas y arenas utilizables como árido natural. El yacimiento tiene matriz arcillosa que dificulta la limpieza del material granular. (Cra. de Viana del Bollo a La Cadiña), Estación 3-3/RN-381.



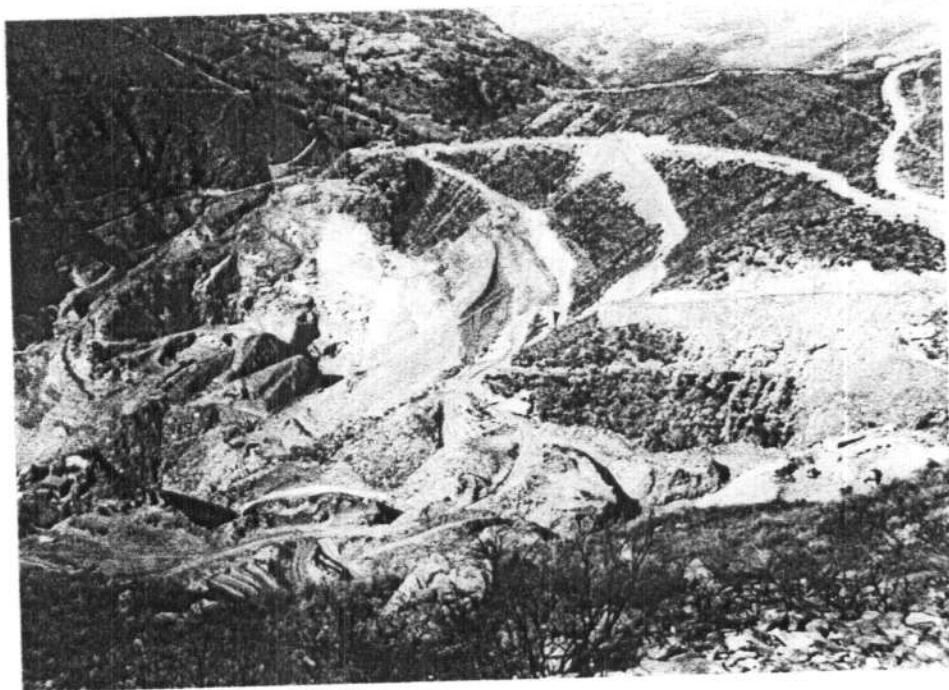
Frente de explotación de una cantera en calizas del Ordovícico, situada en la zona de Seoane, al SE de Viana del Bollo. La roca explotada se destinó, como árido de trituración, a las obras de construcción del Embalse de Las Portas. Estación 3-3/RN-382.



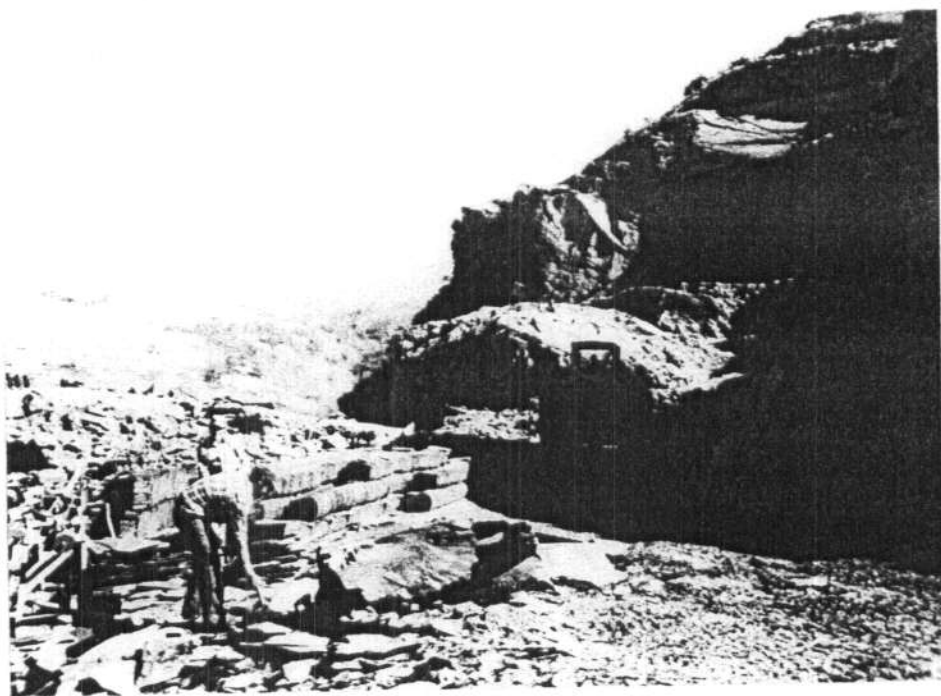
Panorámica general desde la Cra. local de Sobradelo a Casayo, de algunas de las explotaciones activas de pizarras de techar situadas en la margen izquierda del río Casayo. Estación 3-3/RN 141-144.



Aspecto actual de una explotación abandonada de pizarras ordovícicas, y de su escombrera en las laderas de la margen izquierda del río Casayo. Estación 3-3/RN-134.

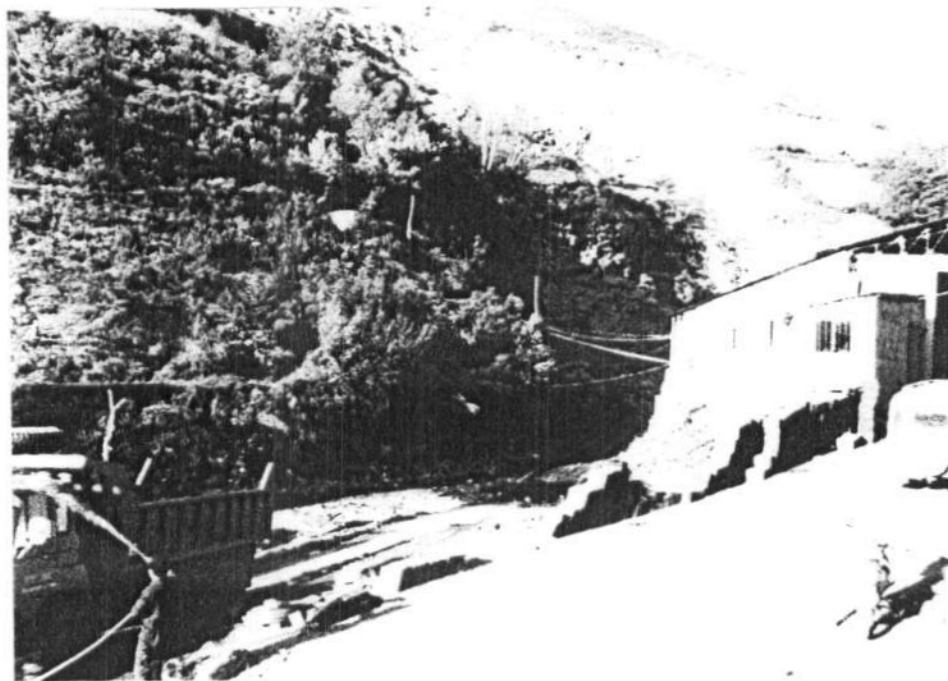


Aspecto panorámico, desde la Cra. local de Casayo, de algunas explotaciones de pizarra de techar de la margen derecha del Río Casayo. Estaciones 3-3/RN-193 y 196.



Explotación de pizarras en plena actividad en la ladera oriental del valle del río Casayo. La preparación de la pizarra se lleva a cabo en parte a pie de cantera. Estación 3-3/RN-206.





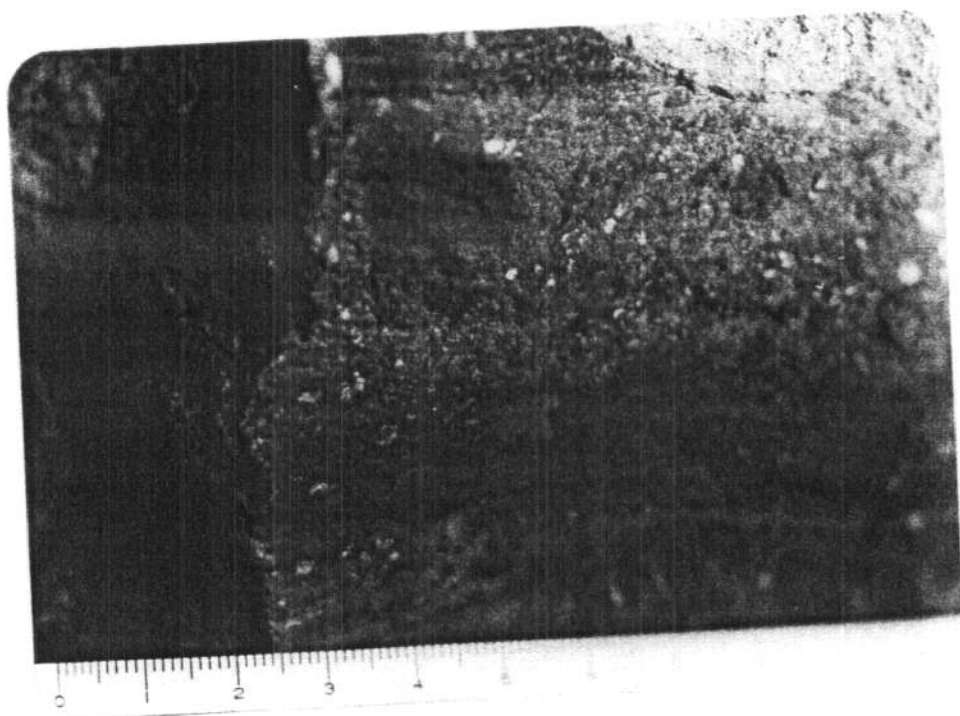
Cantera de pizarras de edad ordovícica, utilizables para techados actualmente activa, e instalaciones de preparación de la roca (S. Vicente de Leira). Estación 3-3/RN-100.



Explotación activa de pizarra de techar, al N de San Vicente de Leira. La explotación presenta como dificultad una importante cobertera de material pizarroso no aprovechable. Estación 3-3/RN-98.



Aspecto en detalle de la disyunción laminar cóncavo-convexa de las pizarras ordovícicas en la Sierra de Eje (S de Puente de Domingo Flórez). Estación 3-3/AH-5.



Mármol y caliza marmórea del Ordovícico terminal (Ashgill), de la zona de Sobrado (NW de Puentes de Domingo Flórez). Estación 3-3/AH-6.



Brecha ferruginosa empleada en la obtención de "ocre", como tierra especial para la fabricación de pintura. Base de la Serie Silúrica, Hoja de Silván. Estación 3-3/AH-3.



Otro aspecto del ocre explotado como "mina de pintura" del hard-ground de la base del Silúrico. Hoja de El Barco de Valdeorras. Estación 3-3/AH-4.